

รายงานวิจัยฉบับสมบูรณ์

โครงการ การศึกษา clonidine-displacing substance และออกฤทธิ์ที่ alpha2-adrenoceptor และที่ imidazoline receptor

โดย ผศ.ดร. ดาราวรรณ ปิ่นทอง

31 กรกฎาคม 2544

รายงานวิจัยฉบับสมบูรณ์

โครงการ การศึกษาสาร clonidine-displacing substance และการออกฤทธิ์ที่ alpha2-adrenoceptor และที่ imidazoline receptor

ผศ.ดร. ดาราวรรณ ปิ่นทอง ภาควิชาเภสัชวิทยา คณะวิทยาศาสตร์ มหาวิทยาลัยมหิดล

สนับสนุนโดยสำนักงานกองทุนสนับสนุนการวิจัย

สารบัญ

กิตติกรรมประกาศ					
	TJ211.14	4 5			
Abstract					
บทคัดย่อ					
บทนำ		9			
วัตถุประสง	วัตถุประสงค์				
วิธีการทด	ลอง	14			
1	การสกัดสาร clonidine-displacing substance จากสมองของหมู	14			
2	การเตรียม porcine cerebral cortex membranes				
3	การทดสอบคุณสมบัติของ CDS ใน extract	14			
4.	การเตรียม renal cortex membrane จากไตของหมู	15			
5.	a second second				
6.	6. ศึกษาและตรวจสอบความสามารถของสารสกัด CDS ในการกระตุ้น $lpha_{ ext{ iny 2} ext{-}}$				
	adrenoceptors	16			
	6.1 Model ของการกระตุ้นการจับตัวของเกร็ดเลือด	16			
	6.2 Model ของการกระตุ้น prejunctional α₂-adrenoceptors ที่				
	rat vas deferens	17			
7.	ศึกษาการออกฤทธิ์ของสารสกัด CDS ที่ imidazoline receptor	17			
8.	วัสดุวิทยาศาสตร์				
9.	. การคำนวณข้อมูล				
10	. แผนการดำเนินการตลอดโครงการ 3 ปี	20			
ผลการทดเ	ลอง	22			
1.	คุณสมบัติของสารสกัด CDS	บัติของสารสกัด CDS 22			
2.	2. ผลของสารสกัด CDS ในการกระตุ้น α₂-adrenoceptors				
	2.1 Model ของการจับตัวของเกร็ดเลือดที่ถูกกระตุ้นด้วย ADP				
	2.1.1 ผลของ alpha ₂ -adrenoceptor agonist, clonidine	24			
	2.1.2 ผลของสารสกัด CDS	27			
	2.1.3 ผลของ agmatine	30			
	2.2 Model prejuncional $lpha_2$ -adrenpceptor ที่ rat vas deferens	31			
	2.2.1 ผลของ alpha ₂ -adrenoceptor agonist, clonidine	31			
	2.2.2 ผลของสารสกัด CDS	31			

สารบัญ (ต่อ)

		2.2.3 ผล	ของสารสกัด CDS ต่อ การยับยั้งการหดตัวของ	
		ท่อ	นำน้ำเชื้อของ clonidine	31
;	3.	ผลของสารสกัด	CDS ในการกระตุ้น imidazoline receptor	36
	3.	1 ผลของimid	azoline agents and non-imidazoline α-adrenergic	
		agents ต่อก	าารจับกันของเกร็ดเลือดที่ถูกกระตุ้นด้วย noradrenaline	36
	3.2	2 ผลของ clor	nidine-displacing substance (CDS) ต่อการจับกันของ	
		เกร็ดเลือดที่	ถูกกระตุ้นด้วย noradrenaline	38
	3.3	3 ผลของ imic	lazoline agents and non-imidazoline $lpha$ -adrenergic	
		agents ต่อก	กรจับกันของเกร็ดเลือดที่ถูกกระตุ้นด้วย ADP	40
บทวิจาร	ณ์			42
หนังสืออ้	้างอิ	J		46
Output ৰ	ากโ	ครงการวิจัยที่ไ	กั รั บทุนจากสกว.	51
กาคผนว	ก		•	52
1	1. 🖠	เปสูตรโครงสร้าง	งทางเคมีของสารและ trace record	
	1	.1 สูตรโครงสรั	างทางเคมีของสารที่เป็น imidazoline และ imidazoline	
		derivatives		52
	1	.2 สูตรโครงสร้า	างทางเคมีของสารที่เป็น imidazoline derivatives,	
	а	drenergic non-	-imidazoline และ agmatine	53
	1	.3 ตัวอย่าง trad	ce record ของการจับกันของเกร็ดเลือด	54
2	2. F	เลงานตีพิมพ์ใน	วารสารวิชาการนานาชาติ : Manuscript	56
3	3. ß	เลงานตีพิมพ์ใน	วารสารวิชาการในประเทศ : Reprint	89

กิตติกรรมประกาศ

งานวิจัยนี้คงไม่สำเร็จลงได้หากไม่ได้รับทุนพัฒนานักวิจัยจากสำนักงานกองทุน สนับสนุนการวิจัย (สกว) และทุนสนับสนุนจากคณะวิทยาศาสตร์ มหาวิทยาลัยมหิดล ทำให้ สามารถซื้อสารเคมีที่ใช้ในงานวิจัยโดยเฉพาะสารกัมมันตรังสี และวัสดุวิทยาศาสตร์บางชิ้นที่มี ราคาค่อนข้างแพง จึงใคร่ขอขอบคุณมา ณ ที่นี้

ผู้วิจัยขอขอบคุณภาควิชาเภสัชวิทยา คณะวิทยาศาสตร์ มหาวิทยาลัยมหิดล ที่เอื้อเฟื้อ สถานที่ ห้องปฏิบัติการ และเครื่องมือเครื่องใช้ในการทำวิจัย และงานนี้สำเร็จลงได้ด้วยความ ร่วมมือของคณะผู้ช่วยวิจัยได้แก่ น.ส. ราณี สัจจเดว์ น.ส. ปิยะดา ส่งเสริมสกุล นักศึกษา ปริญญาโทสาขาเภสัชวิทยา น.ส. นิดดา ภูแล่นกี่ นายชาญณรงค์ พูนเพิ่ม และนางปิยานี รัตน ชำนอง ซึ่งได้ร่วมกันฟันฝ่าอุปสรรคมาตลอดช่วงเวลาของงานวิจัยนี้ และท้ายสุดขอขอบคุณ Professor David Kendall, School of Biomedical Science, Nottingham University, UK ที่ให้ คำปรึกษาเมื่อมีปัญหาเกี่ยวกับ model ที่ใช้ในงานวิจัย และขอขอบคุณทุกๆท่านที่มิได้เอ่ยนาม ผู้ซึ่งมีส่วนช่วยเหลือ มา ณ ที่นี้

Abstract

Project code: RSA/10/2540

Project Title: The study of the presence of clonidine-displacing substance and its

interaction at alpha2-adrenoceptor and imidazoline receptor

Investigator: Darawan Pinthong, Ph.D., Department of Pharmacology, Faculty of

Science, Mahidol University

E-mail Address: scdpt@mahidol.ac.th

The aims of this study are to examine the properties and functions of clonidinedisplacing substance (CDS), and to determine whether it could be an endogenous ligand at α_2 -adrenoceptors and non-adrenoceptor imidazoline binding sites. Agmatine, a candidate for CDS was also studied in comparison to CDS extract.

In this study CDS was prepared from porcine cerebral cortex using methanolic extract. CDS activity was determined by the amount of the extract that displaces 50% of 1 nM $[^3H]$ -clonidine binding from α_2 -adrenoceptors on porcine cerebral cortex membranes. CDS activity in porcine brain extract was 20 μl/unit or 7.71 ± 1.96 unit/g tissue (n=5batch). Based on radioligand binding assay, CDS extract recognized both α₂-adrenoceptors and imidazoline receptor with 2.7 fold more potent at imidazoline receptor on porcine renal cortex membranes labelled by [3H]-idazoxan than at α₂adrenoceptors CDS activity was examined in unit by radioligand binding technique. Functional activities of CDS extract were examined in the 2 model of α_2 -adrenoceptor. First, platelet aggregation model, clonidine an α_2 -adrenoceptor agonist, was found to potentiate ADP-induced platelet aggregation in a concentration-dependent manner and the effect was inhibited by an α_2 -adrenoceptor antagonist, yohimbine. On the contrary, CDS inhibited ADP -induced platelet aggregation in a concentration-dependent manner and the effect was not reversed by yohimbine. The inhibitory effect of CDS may act

5

through the non-adrenoceptor site. Agmatine showed only slightly potentiated effect on ADP-induced platelet aggregation even at the concentration as high as 10⁻⁴ M. Second, model of prejunctional O2-adrenoceptor of the rat vas deferens, CDS extract showed biphasic effects on electrically-evoked contraction of the rat vas deferens. Lower concentration showed inhibitory effect like clonidine whereas higher concentration enhanced the contractile response. The effect was not due to \$\alpha_2\$-adrenoceptor activation since idazoxan, an α_2 -adrenoceptor antagonist, did not modify the effect of CDS extract. Functional activity of CDS at imdazoline receptor was examined in platelet aggregation model compared to other imidazoline compounds, with or without α_2 adrenoceptor activity. CDS extract and all imidazoline compounds were found to inhibit adrenaline-induced platelet aggregation mediated by non-adrenoceptor imidazoline sites. The inhibitory effect was more sensitive to catecholamine than ADP- stimulation. Nearly the end of the project, harmane was reported to be another candidate for CDS, however, this study did not found any significant effect of harmane in platelet aggregation model. In conclusion, CDS extract was not found to display any biological effects at α_2 -adrenoceptor, however, it may be an endogenous substance that regulates platelet hyperreactivity to adrenaline and imidazoline compound may be useful to prevent this condition. The exact chemical structure of CDS in the extract remained to be clarified.

Key words: clonidine-displacing substance (CDS), endogenous ligand, alpha2-adrenoceptor, imidazoline receptor

บทคัดย่อ

ระหัสโครงการ : RSA/10/2540

ชื่อโครงการ : การศึกษา clonidine-displacing substance และการออกฤทธิ์ที่ alpha2adrenoceptor และที่ imidazoline receptor

ชื่อนักวิจัย : ผศ.ดร. ดาราวรรณ ปิ่นทอง ภาควิชาเภสัชวิทยา คณะวิทยาศาสตร์ มหาวิทยาลัยมหิดล

E-mail Address: scdpt@mahidol.ac.th

ระยะเวลาโครงการ : ์ธันวาคม 2540 – กรกฎาคม 2544

โครงการนี้มีวัตถุประสงค์เพื่อสกัดสาร 'clonidine-displacing substance'(CDS) และ ศึกษาคุณสมบัติการออกฤทธิ์ของสารนี้ที่ alpha₂-adrenoceptors และที่ imidazoline receptors สารCDS คาดว่าเป็นสารที่มีอยู่ในร่างกาย (endogenous substance) และออกฤทธิ์ที่ receptors ทั้งสอง โดยเปรียบกับ agmatine ซึ่งมีรายงานว่าเป็นสารสำคัญของ CDS งานวิจัยนี้ ได้ทำการสกัด clonidine-displacing substance จากสมองหมูด้วย methanol และวิเคราะห์ CDS activity ของสารที่สกัดได้ในหน่วยเป็น unit โดยใช้เทคนิคทาง radioligand binding โดย 1 unit หมายถึงปริมาณสารสกัดที่สามารถแย่งที่ [³H]-clonidine (1 nM) จับที่ตัวรับ alpha₂adrenoceptor ที่ porcine cerebral cortex membrane ได้50% ผลการศึกษาพบว่าสารสกัด CDS จากสมองหมู มีactivity 20 ไมโครลิตร/1 unit. หรือ 7.71 ± 1.96 unit/g tissue (n=5) นอกจากนี้สารสกัด CDS ยังสามารถจับกับตัวรับอิมมิดาโซลืนด้วย affinity สูงกว่า ที่ $lpha_{ extstyle 2}$ adrenoceptor ประมาณ 2.7 เท่า คุณสมบัติของสารสกัด CDS ในการออกฤทธิ์ที่ alpha₂adrenoceptor ได้ศึกษาโดยใช้ 2 model 1)การกระตุ้นการเกาะกันของเกร็ดเลือด (platelet aggregation) เปรียบเทียบกับ clonidine ซึ่งเป็น alpha₂-adrenoceptor agonist และเปรียบ เทียบผลการออกฤทธิ์กับ agmatine ซึ่งยังไม่มีการศึกษาการออกฤทธิ์ในระบบนี้ ผลการศึกษา พบว่า clonidine สามารถส่งเสริมฤทธิ์ ของ adenosine diphosphate (ADP) ในการกระตุ้นการ จับตัวของเกร็ดเลือด ซึ่งผลนี้ถูกยับยั้งได้โดย alpha₂-adrenoceptor antagonist เช่น yohimbine แสดงว่าเป็นการออกฤทธิ์ผ่าน alpha₂-adrenoceptors ส่วนสารสกัด CDS ให้ผล

yohimbine แสดงว่าเป็นการออกฤทธิ์ผ่าน alpha2-adrenoceptors ส่วนสารสกัด CDS ให้ผล ตรงข้าม โดยยับยั้งการเกาะกันของเกร็ดเลือดที่ถูกกระตุ้นด้วย ADP ซึ่งผลนี้มาจากการกระตุ้น ที่ non-adrenoceptor ส่วน agmatine แม้ที่ความเข้มข้นสูงถึง 0.1 mM ไม่มีผลต่อการเกาะกัน ของเกร็ดเลือด 2) model การกระตุ้นที่ prejunctional α_2 -adrenoceptor ที่ rat vas deferens พบว่า clonidine ยับยั้ง twitch contractile response และผลนี้ถูกยับยั้งได้ด้วย idaxozan ส่วน สารสกัด CDS นั้นพบว่าการออกฤทธิ์เป็นแบบ biphasic คือที่ความเข้มข้นต่ำ CDS ยับยั้ง twitch contractile response แต่ที่ความเข้มข้นสูงขึ้นกลับมีผลกระตุ้น contractile response ซึ่ง ผลนี้มาจากการกระตุ้นที่ non-adrenoceptor เช่นกัน การวิจัยนี้ไม่พบการออกฤทธิ์ของสารสกัด CDS ที่ α_2 -adrenoceptor

คุณสมบัติของสารสกัด CDS ในการออกฤทธิ์ที่ตัวรับอิมมิดาโซลีนที่เกร็ดเลือดได้ทำการศึกษาและเปรียบเทียบกับสารที่มีสูตรโครงสร้างเป็น imidazoline พบว่าสารสกัด CDS และ สารที่มีสูตรโครงสร้างเป็น imidazoline ยับยั้งการจับกันของเกร็ดเลือดเมื่อถูกกระตุ้นด้วย adrenaline สารสกัด CDS มีความไวต่อการยับยั้งการจับกันของเกร็ดเลือดเมื่อถูกกระตุ้นด้วย adrenaline มากกว่าเมื่อกระตุ้นด้วย ADP ดังนั้น CDS อาจเป็นสารที่มีในร่างกายและมีบทบาท ป้องกันการตอบสนองของเกร็ดเลือดมากเกิน (platelet hyperreactivity) ส่วนสารที่มีสูตรโครง สร้างเป็น imidazoline อาจมีประโยชน์ในการนำมาใช้ป้องกันภาวะดังกล่าว ในช่วงปลายของ การวิจัยมีรายงานถึงสารสำคัญของ CDS อีกตัวคือ Harmane ซึ่งได้ทำการศึกษาต่อและพบว่า Harmane ไม่มีผลในการกระตุ้นเกร็ดเลือดเช่นเดียวกับ agmatine ซึ่งให้ผลแตกต่างจากสารสกัด ดังนั้นการค้นหาสูตรโครงสร้างของสารสำคัญในสารสกัดCDS ยังคงต้องศึกษาต่อไป

คำหลัก : clonidine-displacing substance (CDS), การออกฤทธิ์ของสารนี้ในร่างกาย ตัวรับ แอลฟา2-อดรีเนอจิก, ตัวรับอิมมิดาโซลีน

บทน้ำ

เป็นยาลดความดันเลือดอยู่ในกลุ่มที่มีสูตรโครงสร้างโมเลกลเป็น imidazoline ring กลไกการออกฤทธิ์ในการลดความดันโลหิตของ Clonidine ใชื่อว่าเกี่ยวข้อง กับการกระตุ้น alpha₂-adrenoceptors ที่สมอง ทำให้ลดการส่งสัญญาณ sympathetic จาก สมอง, กระตุ้น postsynaptic $lpha_2$ -adrenoceptors ทำให้เกิด vasoconstriction และยังอาจ กระตุ้น presynaptic $lpha_2$ -adrenoceptors ทำให้ลดการปล่อย noradrenaline กลไกการออกฤทธิ์ ที่แน่นอนของ Clonidine ยังไม่ทราบแน่ชัด ต่อมาพบว่านอกจาก Clonidine จะสามารถ ออกฤทธิ์โดยจับกับ $lpha_2$ -adrenoceptors แล้วยังสามารถจับกับ non-adrenoceptor imidazoline binding sites (NAIBS หรือ imidazoline receptor, IR) ที่สมอง^{2,3} มีรายงานในระยะต่อมาพบว่า กลไกในการลดความดันเลือดเกี่ยวข้องกับการจับกับ receptor นี้ โดยเฉพาะที่อย่ภายในสมอง ส่วน rostral ventrolateral medulla ซึ่ง clonidine และสารที่มีโครงสร้างเป็น imidazoline เท่า นั้นที่ออกฤทธิ์ ในขณะที่ catecholamines ซึ่งจับเฉพาะ adrenoceptor sites ไม่มีผลที่สมอง ส่วนนี้^{2,4} งานวิจัยต่อมาสนับสนุนว่า imidazoline receptor เป็น receptor กลุ่มใหม่ซึ่งสารพวก imidazol(e)ine เช่น clonidine สามารถจับและออกฤทธิ์ได้นอกเหนือจากที่ $lpha_2$ -adrenoceptors นอกจากพบ imidazoline receptor ที่สมองแล้วต่อมายังพบที่ peripheral tissues ^{5,6} อื่น ๆ ดังนั้น จึงมีคำถามเกิดขึ้นว่าเมื่อร่างกายมี imidazoline binding sites สำหรับ clonidine จับแล้ว ร่าง กายมีการผลิตสาร endogenous substance ที่สามารถจับกับ receptor นี้และมี biological activity อย่างไรหรือไม่

Clonidine-displacing substance (CDS)

จากปี ค.ศ.1984 Atlas และ Burstein ^{7.8} พบสารสกัดจากสมองของวัวซึ่งสารนี้ ไม่ใช่ catecholamines แต่สามารถจับกับ α_2 -adrenoceptor โดยไล่ที่ clonidine ออกจากตัวรับ ที่ cerebral cortex membrane ของหนู และวัวได้ จึงเรียกสารสำคัญนี้ว่า "clonidine-displacing substance" (CDS) ต่อมาพบว่าสารสกัดนี้สามารถไล่ที่ [³H]-para-aminoclonidine จาก binding site ที่สมองตรงส่วน rostral ventrolateral medulla (RVLM) membrane ซึ่งเป็น site ของ imidazoline receptor ด้วย affinity ที่สูงกว่าเมื่อจับที่ α_2 -adrenoceptor ถึง 30 เท่า 9 และ โดยใช้เทคนิคทางradioligand binding พบว่า สาร CDS มีลำดับ potency ในการไล่ที่ agonist และ antagonist จับที่ตัวรับทั้ง 2 เช่นเดียวกับ clonidine ทำให้เชื่อว่าสมองสามารถสร้างสารที่ คล้าย clonidine ได้

ต่อมาจึงได้มีการสกัดสาร CDS จากสมองและ peripheral tissues ต่างๆ^{10,11} ได้แก่ ที่ไต, ตับ, ปอด, ต่อมหมวกไต¹⁰ เลือด¹¹ หัวใจ, ลำไส้เล็ก¹² เป็นตัน การที่พบสาร CDS ใน organ และ tissue ต่างๆ ยิ่งเป็นการสนับสนุนว่า CDS น่าจะเป็นสารที่ร่างกายสร้างขึ้นได้ และมีบทบาทใน tissue ต่างๆเหล่านี้

Biological activity ของสาร CDS

สูตรโครงสร้างทางเคมีของ CDS

ในช่วงปี ค.ศ.1986-89 กลุ่มของ Reis ได้ตรวจหา CDS ใน tissue ต่างๆเป็น immunoreactive clonidine-displacing substance โดยตั้งสมมุติฐานว่าสารCDS ต้องมีสูตร โครงสร้างเป็น imidazoline แล้วพัฒนา polyclonal antibody ต่อ para-aminoclonidine ในการ detect สาร CDS ในร่างกาย อย่างไรก็ตามจนถึงปัจจุบันยังไม่พบสูตรโครงสร้างทางเคมีของ CDS แม้ว่าในปี ค.ศ.1994 กลุ่มของ Reis ได้ทำการสกัดสาร แล้วผ่านขึ้นตอนการวิเคราะห์หา สูตรโครงสร้างได้ออกมาเป็นสาร agmatine (decarboxylated arginine) และพบว่าสารนี้ก็สามารถจับได้ที่ตัวรับทั้ง2 เช่นกัน และมี biological activity ในการกระตุ้นการหลั่ง catecholamine จาก bovine adrenal chromaffin cellsได้เช่นเดียวกับสารสกัด CDS แต่ต่อ มาพบว่า agmatine มีคุณสมบัติในการจับที่ตัวรับทั้ง2 ด้วยลำดับ potency ในการไล่ที่ agonist และ antagonist แตกต่างจาก clonidine และ สารสกัด CDS หรือสาร immunoreactive clonidine-displacing substance เอง นอกจากนี้ agmatine ยังไม่จับกับ antibody ที่ใช้ detect CDS ¹⁹

การออกฤทธิ์ของ Agmatine มีรายงานพบเฉพาะที่ imidazoline receptor เช่น กระตุ้นการหลั่ง catecholamine จาก bovine adrenal chromaffin cells¹⁸, เพิ่มความดันโลหิต เมื่อฉีดเข้าไขสันหลังของหนู²⁰ ส่วน action ของ agmatine ที่ alpha2-adrenoceptor นั้นไม่พบ evidence แต่อย่างใด²¹ ข้อมูลจากรายงานเหล่านี้ชี้ให้เห็นว่า agmatine อาจไม่ใช่สารที่เป็นตัว แทนของ CDS เนื่องจากออกฤทธิ์แตกต่างกัน และคุณสมบัติของ agmatine ที่ imidazoline

binding site มีทั้งให้ผลที่เหมือน¹⁸ และแตกต่าง^{20,22}จาก CDS ทั้งในแง่ binding affinity และ function ในระยะหลังagmatine จึงลดบทบาทและความเป็นไปได้ที่จะเป็นตัวแทนของ CDS ลง การค้นหาสูตรโครงสร้างของ CDS ยังคงดำเนินต่อไป ในช่วงปี ค.ศ.2000 ได้มีรายงานการค้น พบสารที่คาดว่าเป็นสารสำคัญของ CDS อีกครั้ง คือสาร Harmane²³ การศึกษาคุณสมบัติของ สารนี้ยังไม่มีรายงานมากนัก พบเพียงลดความดันโลหิตเมื่อฉีดโดยตรงเข้า rostral ventrolateral medulla²⁴ เท่านั้น

Imidazoline receptor (IR)

Imidazoline preferring site เป็น non-adrenoceptor ซึ่งสารที่มีสูตรโครงสร้าง เป็น imidazoline จะจับได้ ส่วน catecholamine ไม่มีผลที่site นี้ IR นี้ สามารถ label ได้ด้วย imidazoline compound เช่น [³H]-Clonidine, [³H]-moxonidine, [³H]-idazoxan ปัจจุบัน สามารถแยกได้เป็น 3 subclass คือ

- I₁ site พบที่ adrenal chromaffin cell¹⁵, rostral ventrolateral medulla²⁶, human platelet membrane²⁷ เป็นตัน I₁ site จะมี high affinity ต่อ [³H]-clonidine binding , [³H]-para-amino clonidine
- l₂ site พบที่ porcine kidney cortex membrane⁶, cortical astrocytes^{28,29} site นี้มี low affinity ต่อ [³H]-Clonidine แต่จะมี high affinity ต่อ [³H]-idazoxan, [³H]-BFI
- I_3 site พบที่ pancreatic β -cell และที่ RIN-5AH จัดเป็น I_3 เนื่องจากมีคุณสมบัติแตก ต่างจาก I_1 และ I_2 receptor เดิม imidazoline binding site ที่ pancreatic β -cell เชื่อว่าเป็น I_2 และมี I_1 receptor density น้อยมากในเซลนี้ แต่ต่อมาพบว่า I_2 ligand เช่น idazoxan ไม่มีผล กระตุ้นการหลั่ง insulin ในขณะที่ efaroxan, antazoline เป็น insulin secretagogue 32 จึงจัด เป็น subclass ใหม่

 $lpha_2$ -adrenoceptor และ imidazoline receptor มักจะพบอยู่ด้วยกันใน tissue ต่างๆ อย่างไร ก็ตาม tissueที่มี $lpha_2$ -adrenoceptor แต่ไม่มี/หรือมี imidazoline receptor ร่วมด้วยแต่ในสัดส่วน ที่น้อยมาก ได้แก่ cerebral cortex Clonidine ที่จับreceptorในบริเวณนี้ จะพบเฉพาะ $lpha_2$ -adrenoceptor ในทางกลับกัน ที่ adrenal chromaffin cell จะพบเฉพาะ imidazoline receptor ไม่พบ $lpha_2$ - adrenoceptor 33,34

Functions ของ IR ที่มีรายงานได้แก่

1. ที่ central nervous system สารที่มีสูตรโครงสร้างเป็น imidazoline จะเกี่ยวข้องกับการควบ คุมความดันโลหิต ในบริเวณที่เฉพาะของสมอง เช่นที่ nucleus reticularis lateraris^{2,35} ซึ่ง Rilmenidine และ moxonidine มี high affinityที่ site นี้ และได้มีการพัฒนาเป็นยาลดความดัน³⁶ และออกสู่ตลาดในเวลาต่อมา

- 2. สาร imidazoline กระตุ้น imidazoline receptor (IR) ส่งผลยับยั้ง acetylcholine กระตุ้น catecholamine release จาก adrenal chromaffin cell โดยการกระตุ้น IR³⁷
- 4. การกระตุ้น IR ด้วยสาร imidazoline จะกระตุ้นการหลั่ง insulin โดยการ block ATP-sensitive K⁺ channel ใน islet β-cell³⁸
- 5. นอกจากนี้ยังพบ presynaptic IR ที่ adrenal medulla³⁹ ซึ่งเมื่อ block α₂-adrenoceptor แล้ว การกระตุ้นที่ imidazoline receptor จะให้ผลยับยั้งการหลั่ง noradrenaline

lmidazoline receptor ที่พบใน tissue ต่างๆเหล่านี้จะเป็น target ในการออกฤทธิ์ของ endogenous ligand CDS นี้

งานวิจัยเกี่ยวกับ imidazoline receptors และ clonidine-displacing substance ใน ระยะแรกจะเน้นที่บทบาทในการควบคุมความดันเลือดเป็นหลัก ใน model อื่น ๆเช่น กระตุ้นการ หลั่ง insulin จาก islet cell และการหลั่ง catecholamines จาก adrenal chromaffin cells ส่วน model อื่นนอกจากนี้ยังเป็นที่โต้แย้ง ต่อมารายงานในระยะหลังพบความสัมพันธ์ของการเปลี่ยน แปลงจำนวน imidazoline receptor บนเกร็ดเลือดในคนไข้อาการซึมเศร้า (depressive patient) และในผู้ที่ฆ่าตัวตาย และจำนวน receptor ลดลงภายหลังการรักษาด้วย antidepressive drug บทบาทของ imidazoline receptor ที่เกร็ดเลือดจึงได้รับความสนใจในขณะนี้ งานวิจัยในปีที่ 3 จึงเลือกศึกษา imidazoline receptor ใน model ของ human platelet ให้ลึกซึ้งยิ่งขึ้น โดยการ กระตุ้นด้วยสารที่มีสูตรโครงสร้างเป็น imidazoline อื่น ๆที่นอกเหนือจาก clonidine และ clonidine-displacing substance ด้วย.

ดังนั้นงานวิจัยในโครงการนี้จึงมุ่งศึกษาสาร CDS โดยการสกัดสารและศึกษา การออกฤทธิ์ทางเภสัชวิทยาของสารนี้ และเข้าใจถึงบทบาทของสารตัวนี้ในการควบคุมระบบ ต่าง ๆที่เกี่ยวข้องกับการกระตุ้น α_2 -adrenoceptor และโดยเฉพาะ freceptor กลุ่มใหม่คือ imidazoline receptor ซึ่งจะเป็นเป้าหมายใหม่ในการพัฒนายาตัวใหม่ที่ออกฤทธิ์ที่ receptor นี้ ต่อไป

วัตถุประสงค์

- 1. การสกัดสารนี้จากสมองหมู(วัว) แล้วนำสารสกัดที่ได้มาหา CDS activity ซึ่งวัดจากความ สามารถของสารสกัดในการแย่งที่ clonidine จับที่ alpha₂-adrenoceptors โดยใช้เทคนิค radioligand binding assay
- 2. ศึกษาคุณสมบัติของ CDS ในการจับที่ตัวรับอิมมิดาโชลีน
- 3. ศึกษาคุณสมบัติของ CDS ในการออกฤทธิ์กระตุ้นที่ $lpha_2$ -adrenoceptor เนื่องจากยังไม่มีราย งานสนับสนุนมากนัก จึงใช้ model ของ $lpha_2$ -adrenoceptor ได้แก่
- 3.1 model การกระตุ้นการจับตัวของเกร็ดเลือดที่ถูกกระตุ้นด้วย adenosine diphosphate โดยเปรียบเทียบสารสกัดกับ clonidine ซึ่งเป็น alpha₂-adrenoceptor agonist และมีสูตรโครง สร้างเป็น imidazoline และเปรียบเทียบผลการออกฤทธิ์กับ agmatine (หรือ harmane ซึ่งมีราย งานว่าเป็น active compound ของสารสกัดนี้แต่ยังไม่มีการศึกษาการออกฤทธิ์ในระบบนี้)
- 3.2 modelที่ 2 ศึกษาคุณสมบัติของ CDS ในการออกฤทธิ์กระตุ้นที่ α_2 -adrenoceptor ที่ prejuncional α_2 -adrenoceptor ของ rat vas deferens เปรียบเทียบกับ clonidine และ agmatine
- 4. ศึกษาคุณสมบัติของ CDS ในการออกฤทธิ์กระตุ้นที่ imidazoline receptor ที่เกร็ดเลือด เปรียบเทียบกับ clonidine และสารที่มีสูตรโครงสร้างเป็น imidazoline อื่นๆทั้งที่มีหรือไม่มีฤทธิ์ ที่ α_2 -adrenoceptor เมื่อเกร็ดเลือดถูกกระตุ้นด้วย platelet aggregating agent 2 ตัวคือ noradrenaline และ adenosine diphosphate (ADP)

(การที่เลือก model การจับตัวของเกร็ดเลือดเนื่องจากผลการทดลองในข้อ 3 พบว่าการออก ฤทธิ์ของ CDS ไม่ผ่านการกระตุ้น alpha₂-adrenoceptor แต่ผ่านทาง **n**on-adrenoceptor)

วิธีการทดลอง

- 1 <u>การสกัดสาร clonidine-displacing substance จากสมองของหมู</u> วิธีการ
- 1.1 เก็บสมองของหมูจากโรงฆ่าสัตว์ โดยเก็บทันทีหลังจากฆ่าแล้วบรรจุในถังน้ำแข็งเพื่อการ ขนส่ง
- 1.2. สมองครึ่งชีก (หรือน้ำหนักประมาณ 110-160 กรัม) นำมาตัดเอาส่วน cerebellum และ pia mater ออก เอาเฉพาะส่วน cerebral cortex ตัดเป็นชิ้นเล็กๆ แล้วนำไปปั่นละเอียดในน้ำ กลั่นโดยใช้ Polytron homogenizer (model LS-10-35, Kinematica GmbH, Switzerland)
- 1.3. ทำการแยก homogenates โดยการปั่นแยก ที่ 65000 g (Sorvall[®] RC-5C Plus, Dupont) แล้วนำ supernatant มาตัมประมาณ 40-60 นาที เพื่อให้ตกตะกอนโปรตีนและลดปริมาตร จาก นั้นทิ้งให้เย็นที่อุณหภูมิห้อง
- 1.4. สารละลายที่ได้นำมาปั่นแยกอีกครั้งที่ 65000 g เป็นเวลา 20 นาที แยก supernatant แล้ว ทำให้แห้งโดยใช้ speedvacuum (Speed Vac ® plus SC110A).
- 1.5. สกัด CDS ด้วย methanol น้ำ material หลังจากทำให้แห้งด้วย speedvacuum มาสกัด ด้วย methanol โดย sonication ที่อุณหภูมิห้อง ปั่นแยกเอาแต่ supernatant ใส แล้วนำมาระ เหย methanol โดยใช้ rotary evaporator
- 1.6. residue ที่ได้นำมาละลายใน double distilled water, ทำให้แห้งอีกทีโดย freeze-dry สุด ท้ายจะได้สารสกัดที่เป็น crude CDS extract นำไปละลายในน้ำกลั่นด้วยสัดส่วนปริมาตรที่พอ เหมาะเพื่อหา CDS activity
- 2. การเตรียม porcine cerebral cortex membranes ซึ่งเป็น site ของ α_2 -adrenoceptor วิธีการ
- 2.1 ทำเช่นเดียวกับข้อ 1.1 และ ข้อ 1.2 ในหัวข้อ 1 การสกัดสาร clonidine-displacing substance จากสมองของหมู
- 2.2 ทำการแยก homogenates โดยการปั่นแยก ที่ 20000 g ทิ้ง supernatant นำ pellet มา ละลายใหม่ใน Tris buffer และปั่นละเอียดอีกครั้งด้วย homogenizer
- 2.3 ปั่นแยก homogenates อีกครั้ง ทิ้ง supernatant นำ pellet ที่เหลือมาชั่งน้ำหนักและละลาย ใน Tris buffer ด้วยปริมาตรที่เหมาะสม เช่น 6 volume
- 2.4. แบ่งสารละลายนี้เป็นส่วนๆ ปริมาตรประมาณ 3 ml สำหรับใช้ใน Radioligand binding assay

3. <u>ทดสอบคุณสมบัติของ CDS ใน extract</u> วัด CDS activity โดยใช้ Radioligand binding assay

วิธีการ

- 3.1 incubate porcine cerebral cortex membrane, [³H]-clonidine (1 nM) และ CDS ที่ความ เข้มข้นต่างๆ ในTris buffer (pH7.4) สำหรับ total binding จะ incubate porcine cerebral cortex membrane และ [³H]-clonidine โดยไม่เติม CDS ส่วนค่า non-specific binding วัดจาก การ incubateกับ 10⁻⁴M noradrenaline
- 3.2 หลังจาก incubate ที่ 28 °C 45 นาที แยก bound form radioactivity จาก free form โดย ใช้ vacuum filtration บน Whatman GF/B glass fibre filters ล้างfilters 2-3 ครั้งด้วย Tris buffer
- 3.3 วัด radioactivityโดย scintillation spectrometry
- 3.4. หาปริมาณ CDS activity จาก IC₅₀ จาก displacement curve คำนวณ CDS activity เป็น unit/g wet weight

CDS activity คิดเป็น unit โดย 1unit ของ CDS = ปริมาณ CDS (ไมโครลิตร) ที่ สามารถแทนที่ 1 nM [³H]-clonidine binding ออกจาก α₂-adrenoceptor sites บน porine cerebral cortex membrane ได้ 50%

4. <u>การเตรียม renal cortex membrane จากไตของหมู</u> ซึ่งเป็น site ของ imidazoline receptor ใช้ศึกษาคุณสมบัติของ clonidine-displacing substance ในการจับ (binding affinity) ที่ imidazoline binding site โดยใช้ receptor binding technique

วิธีการ

- 4.1 เก็บไตหมูจากโรงฆ่าสัตว์ โดยเก็บทันทีหลังจากฆ่าแล้วบรรจุในถังน้ำแข็งเพื่อการขนส่ง
- 4.2. ไตตัดครึ่งชีก เอาส่วน membrane รอบนอกออก แยกส่วน cortex ออกจาก medulla แล้ว ตัดส่วน cortexเป็นชิ้นเล็กๆ แล้วนำไปปั่นละเอียดใน ice-cold Tris buffer (50mM Tris HCl, 5.0 mM EDTA; pH 7.4) โดยใช้ Polytron homogenizer (Kinemetica GmbH) setting 6; 3x30 วินาที)
- 4.3 กรอง homogenate ด้วย nylon mesh ขนาด 25 μm เพื่อกำจัด particle ใหญ่ ๆทิ้ง
- 4.4 centrifuge homogenate ด้วย Sorvall® RC-5C plus, Dupont (Rotor SS-34)ที่ 20,000 g เป็นเวลา 15 นาทีที่ 4 °C
- 4.5 ทิ้ง supernatant เอาส่วน pellet มาละลายใน ice-cold Tris buffer (50mM Tris HCl, 5.0 mM EDTA; pH 7.4) แล้ว centrifuge 15 นาทีที่ 4 °C
- 4.6 Pellet สุดท้ายที่ได้ละลายใน 10 volume ของ Tris assay buffer (50mM Tris HCl, 5.0 mM EDTA; pH 7.4) แล้วเก็บไว้ที่ -70°C membrane จะอยู่ได้นาน 1-3 เดือนโดยไม่เสียสภาพ

5. <u>ศึกษาคุณสมบัติของ CDS ในการจับที่ imidazoline receptor โดยใช้ Radioligand binding</u> assay

วิธีการ

- 5.1 incubate porcine renal cortex membrane, [³H]-idazoxan (0.3 nM) และ CDS ที่ความ เข้มข้นต่างๆ ในTris buffer (pH7.4) สำหรับ total binding จะ incubate porcine renal cortex membrane และ [³H]-idazoxan โดยไม่เติม CDS ส่วนค่า non-specific binding วัดจากการ incubateกับ 10⁻⁴M cirazoline
- 5.2 หลังจาก incubate ที่ 28 °C 45 นาที แยก bound form radioactivity จาก free form โดย ใช้ vacuum filtration บน Whatman GF/B glass fibre filters ล้างfilters 2-3 ครั้งด้วย Tris buffer
- 5.3 วัด radioactivityโดย scintillation spectrometry

6. <u>ศึกษาและตรวจสอบความสามารถของสารสกัด CDS ในการกระตุ้น $lpha_2$ -adrenoceptors</u>

- 6.1 Model ของการกระตุ้นการจับตัวของเกร็ดเลือดที่ถูกกระตุ้นด้วย adenosine diphosphate (ADP) สารที่มีคุณสมบัติเป็น α_2 -adrenoceptor agonist จะสามารถเสริมฤทธิ์ ADP ในการกระตุ้นการจับตัวของเกร็ดเลือด และผลการออกฤทธิ์จะถูกยับยั้งโดย α_2 -adrenoceptor antagonist เช่น yohimbine วิธีการ
- 6.1.1 เก็บเลือดจากผู้บริจาคที่ธนาคารเลือดลงใน siliconized glass test tube ที่มี 3.2% sodium citrate ด้วยสัดส่วนเลือด 9 ส่วน : sodium citrate 1 ส่วน
- 6.1.2 นำมาปั่นแยกเอาพลาสม่าที่มีเกร็ดเลือดเข้มขัน (platelet-rich plasma) โดยการ centrifuge ที่ 800 g 10 นาที (Beckman J-6B)
- 6.1.3 วัด platelet count โดยใช้ Coulter thrombocounter โดยปรับให้มีความเข้มข้นของเกร็ด เลือด 2.5-3.0x10⁵ เกร็ดเลือด/นูป ด้วยพลาสม่าที่ปราศจากเกร็ดเลือด (platelet-poor plasma)
- 6.1.4 ศึกษาการจับตัวของเกร็ดเลือดโดยใช้ chronolog aggregometer (Model 550, Chronolog corporation, Harverton PA, USA) ดูการเปลี่ยนแปลงของ light transmission เมื่อ ถูกกระตุ้นด้วย ADP เกร็ดเลือดจะจับตัวกันและเพิ่มการผ่านของแสง บันทึกผล
- 6.1.5 จากนั้นกระตุ้นด้วย α_2 -adrenoceptor agonist เช่น clonidine (10^{-8} - 10^{-6} M)
- 6.1.6 ในการศึกษาผลของ antagonist เพื่อตรวจสอบดูว่าผลต่อการจับตัวกันของเกร็ดเลือดเกิด จากการกระตุ้น $lpha_2$ -adrenoceptor ทำได้โดยการเติม $lpha_2$ -adrenoceptor antagonist เช่น yohimbine (10 $^{-6}$ M) และ incubate 1 นาทีก่อนเติม agonist บันทึกผลการเปลี่ยนแปลงการ light transmission อย่างน้อย 5 นาที

9. การคำนวณข้อมูล (Data analysis)

IC₅₀ ของ displacement curve (สารสกัด CDS ไล่ที่ [³H]-clonidine หรือ [³H]-idazoxan ได้ 50%) หามาจาก non-linear least square method โดยใช้ Kaleidograph (Synergy software) on a MacIntosh computer. แล้วเปลี่ยนค่า IC₅₀ เป็น inhibition constant (K_i) โดยใช้ Cheng&Prusoff equation K_i =IC₅₀/(1+[L]/Kd)

[L] เป็นความเข้มข้นของ radioligand K_d เป็น dissociation constant

ใน model การหดตัวของ rat vas deferens Response ต่อตัวกระตุ้น (agonist) คือ clonidine (10^{-9} – 10^{-8} M) หรือ สารสกัด CDS (10^{-3} – 10^{1} unit/ml) โดยคำนวณเป็น percentage ของ control contractile response จากการกระตุ้นด้วยกระแสไฟฟ้า ค่า negative logarithm ของความเข้มขันของตัวกระตุ้นที่ให้ผล 50% ของ maximum response คือค่า pD₂ คำนวณมา จาก logistic equation.

ใน model การจับกันของเกร็ดเลือดเมื่อกระตุ้นด้วยสารต่างๆ ผลการส่งเสริมหรือยับยั้ง การจับกันของเกร็ดเลือดเทียบกับเมื่อกระตุ้นด้วย aggregating agent เช่น noradrenaline หรือ ADP ซึ่งคิดเป็น 100%

ข้อมูลแสดงเป็น mean ± SEM จากอย่างน้อยที่สุด 5 experiment (ยกเว้น ใน model ของ rat vas deferens น้อยที่สุด 4) ค่าเปรียบเทียบทางสถิติโดยใช้ Student's t test ความแตก ต่างของค่าเฉลี่ยจะถือว่ามีนัยสำคัญทางสถิติที่ p<0.05

- 6.1.7 เปรียบเทียบผลที่เกิดขึ้นเมื่อใช้ agmatine หรือ Harmane กระตุ้น และเมื่อใช้สารสกัด CDSกระตุ้น
- 6.2. <u>ศึกษาความสามารถของสารสกัด CDS ในการกระตุ้น prejunctional α_2 -adrenoceptors ที่ rat vas deferens</u> โดย α_2 -adrenoceptor agonist ยับยั้งการหลั่ง neurotransmittor และการ หดตัวของท่อนำน้ำเชื้อที่ถูกกระตุ้นด้วยกระแสไฟฟ้า วิธีการ
- 6.2.1 ใช้ส่วน prostatic end ของท่อน้ำน้ำเชื้อของหนู incubate ใน oxygenated, ice-cold Kreb-Henseleit saline (NaCl 118.4 mM, KCl 4.7mM, CaCl₂ 1.25, MgSO₄ 1.2 mM, NaHCO₃ 24.9mM KH₂PO₄ 1.2 และ glucose 11.1) 5 ml ใน organ bath
- 6.2.2 ยึดปลายข้างหนึ่งของส่วน prostatic end ของท่อนำน้ำเชื้อไว้(ยาวประมาณ 2cm)กับ platinum wire electrode และอีกข้างหนึ่งต่อกับ Grass FT-03 isometric transducer ซึ่งต่อกับ Grass Polygraph
- 6.2.3 หลังจาก equilibrate 30 นาที apply resting tension ที่เหมาะสม การหดตัวของท่อนำน้ำ เชื้อถูกกระตุ้นด้วยกระแสไฟฟ้าด้วยSRI stimulator (transmural stimulation 0.1-0.2 ms duration, 0.05 Hz, 10 volts) และบันทึกความเปลี่ยนแปลงการหดตัวของท่อนำน้ำเชื้อ
- 6.2.4 เติมสารที่จะทดสอบเช่น สารสกัดCDS, α_2 -adrenoceptor antagonist เปรียบเทียบผล ต่อการหดตัวของท่อนำน้ำเชื้อที่ถูกกระตุ้นโดย α_2 -adrenoceptor agonist, clonidine และ agmatine
- 7. <u>ศึกษาการออกฤทธิ์ของสารสกัด CDS ที่ imidazoline receptor</u> เปรียบเทียบกับสารที่เป็น imidazoline และ non-imidazoline adrenergic agents ใน human platelet โดยการกระดุ้น ด้วย adrenaline และ ADP
- 7.1 เก็บเลือดจากผู้บริจาคที่ธนาคารเลือดลงใน siliconized glass test tube ที่มี 3.2% sodium citrate ด้วยสัดส่วนเลือด 9 ส่วน : sodium citrate 1 ส่วน
- 7.2 นำมาปั่นแยกเอาพลาสม่าที่มีเกร็ดเลือดเข้มขัน (platelet-rich plasma) โดยการ centrifuge ที่ 800 g 10 นาที (Beckman J-6B) แยกเอาส่วนบนมา ส่วนล่างนำไป centrifuge ต่อที่ 3600 g 15 นาที แยกเอาส่วนใสมาเป็นพลาสม่าที่ปราศจากเกร็ดเลือด (platelet-poor plasma)
- 7.3 วัด platelet count โดยใช้ Coulter thrombocounter โดยปรับให้มีความเข้มข้นของเกร็ด เลือด 2.5-3.0x10⁵ เกร็ดเลือด/μΙ ด้วยพลาสม่าที่ปราศจากเกร็ดเลือด
- 7.4 ศึกษาการจับตัวของเกร็ดเลือดโดยใช้ chronolog aggregometer (Model 550, Chronolog corporation, Harverton PA, USA) โดย incubate เกร็ดเลือดที่ 37 ° C ใน chamber ของ เครื่อง

7.5 จากนั้นเติม agonist ซึ่งในการทดลองนี้เป็น imidazoline agents ได้แก่ clonidine, tolazoline, antazoline, idazoxan หรือสารสกัด CDS

7.6 ในการทดสอบว่าผลที่ได้เกี่ยวข้องกับการกระตุ้น \(\Omega_2\)-adrenoceptor หรือไม่นั้น \(\Omega_2\)-adrenoceptor antagonist เช่น yohimbine จะเติมก่อน agonist และ incubate 1 นาที
 7.7 หลังจากนั้นกระตุ้นด้วย adrenaline/noradrenaline หรือ adenosine diphosphate (ADP) บันทึกผลการเปลี่ยนแปลง light transmission จากการกระตุ้นด้วย aggregating agent

(catecholamines หรือ ADP) และ เมื่อมี imidazoline agents กระตุ้นร่วมด้วย

8. วัสดุวิทยาศาสตร์ (Materials)

Idazoxan hydrochloride (FW 240.7), Clonidine (2-(2,6-Dichloroaniline)-2-imidazoline hydrochloride (FW 266.6), Adenosine-5'-diphosphate sodium salt from equine muscle (FW 427.2), Yohimbine hydrochloride (FW 390.9), Antazoline hydrochloride (FW 301.8), (±)Arterenol ((±)-Norepinephrine FW 319.3), Tolazoline hydrochloride (FW 196.7), Cirazoline HCI (MW 252.75), agmatine (1- amino-4-guanidinobutane) sulfate salt (FW 228.3), Harmane hydrochloride (2-methyl-β-carboline; 1-methyl-9H pyrido[3,4-β]indole)Norharmane hydrochloride (9H pyrido[3,4-β]indole) and Sodium citrate 🛱 ຄວາກ Sigma.

Methanol HPLC grade (Baker Analyzed®, F.W. 32.04) Trizma® hydrochlorideanhydrous M.W.157.6, ethylenediamine tetra acetic acid (EDTA).

[Benzene ring ³H]-clonidine hydrochloride, specific activity 70.5 Ci/mmol, [³H]-idazoxan ([³H]-RX781094), specific activity 45.0 Ci/mmol ชื้อจาก NEN DuPont, Poly Flour [™] (Scintillation fluid), Packard.

คุณสมบัติของ imidazoline and nonimidazoline α-adrenergic agents ที่ใช้ในการ ศึกษามีดังนี้ :

Imidazoline agents

Clonidine (\alpha_2-adrenergic partial agonist)

Idazoxan (α₂-adrenergic antagonist)

Antazoline (devoid of α_2 -adrenergic activity)

Tolazoline (α₁-adrenergic antagonist)

Non-imidazoline agent Yohimbine (α_2 -adrenergic antagonist)

กิจกรรม/ ขั้นตอนการดำเนินงาน เดือน 2 6 10 12 15. เตรียม rat vas deferens model 16. ทดสอบ CDS effect ใน model rat vas deferens 17. วิเคราะห์ผลการทดลอง 18. รายงานความก้าวหน้าครั้งที่ 4 ปีที่3 19. สกัดสาร CDS 20. เตรียม membrane สำหรับ radioligand binding 21. ทดสอบ CDS activity ของสารสกัด lot ต่างๆ 22. เตรียมงานตีพิมพ์ 23. รายงานความก้าวหน้าครั้งที่ 5 24. ศึกษา CDS effect ที่ imidazoline receptor 25. เสนอผลงานปลายปีที่ 3 ปีที่4 26. ศึกษา CDS effect ที่ imidazoline receptor (ต่อ) 27. วิเคราะห์ผลการทดลองทั้งหมด 28. เตรียมงานตีพิมพ์ 29. รายงานวิจัยฉบับสมบูรณ์ 30. เตรียมงานตีพิมพ์เพิ่มเติม

ผลการทดลอง

1. คุณสมบัติของสารสกัด CDS

จากการสกัด CDS จากสมองหมู 5 สมองพบว่ามีค่าเฉลี่ย CDS activity ประมาณ 7.71 \pm 1.963 unit/g wet weight tissue (n=5)

สารสกัด CDS สามารถ ไล่ที่ [3 H]-clonidine จาก α_2 -adrenoceptor binding site ที่ cerebral cortex membrane แสดงว่าสารสกัดสามารถจับได้ที่ α_2 -adrenoceptor binding site และไล่ที่ [3 H]-clonidine ด้วย IC $_{50}$ (Inhibitory concentration ที่ 50%) 20.6 \pm 2.958 μ l/ml (n=16) ซึ่งคือปริมาณที่เท่ากับ 1 unit ของ CDSactivity

นอกจากนี้สารสกัดCDSยังสามารถไล่ที่ [3 H]-idazoxan จาก porcine kidney coetex membrane ซึ่งเป็น imidazoline binding site ด้วย IC $_{50}$ 7.724 \pm 1.635 μ l /ml (n=10) จากค่า IC $_{50}$ แสดงว่าสารสกัดCDS มีความสามารถในการจับที่ imidazoline receptor มากกว่า ที่ α_{2} -adrenoceptor ถึง 2.7 เท่า (p<0.05) ดังกราฟแสดงในรูปที่ 1

Competitive binding of CDS at alpha₂-adrenoceptors on porcine cerebral cortex membrane and at imidazoline receptor on porcine renal cortex membrane

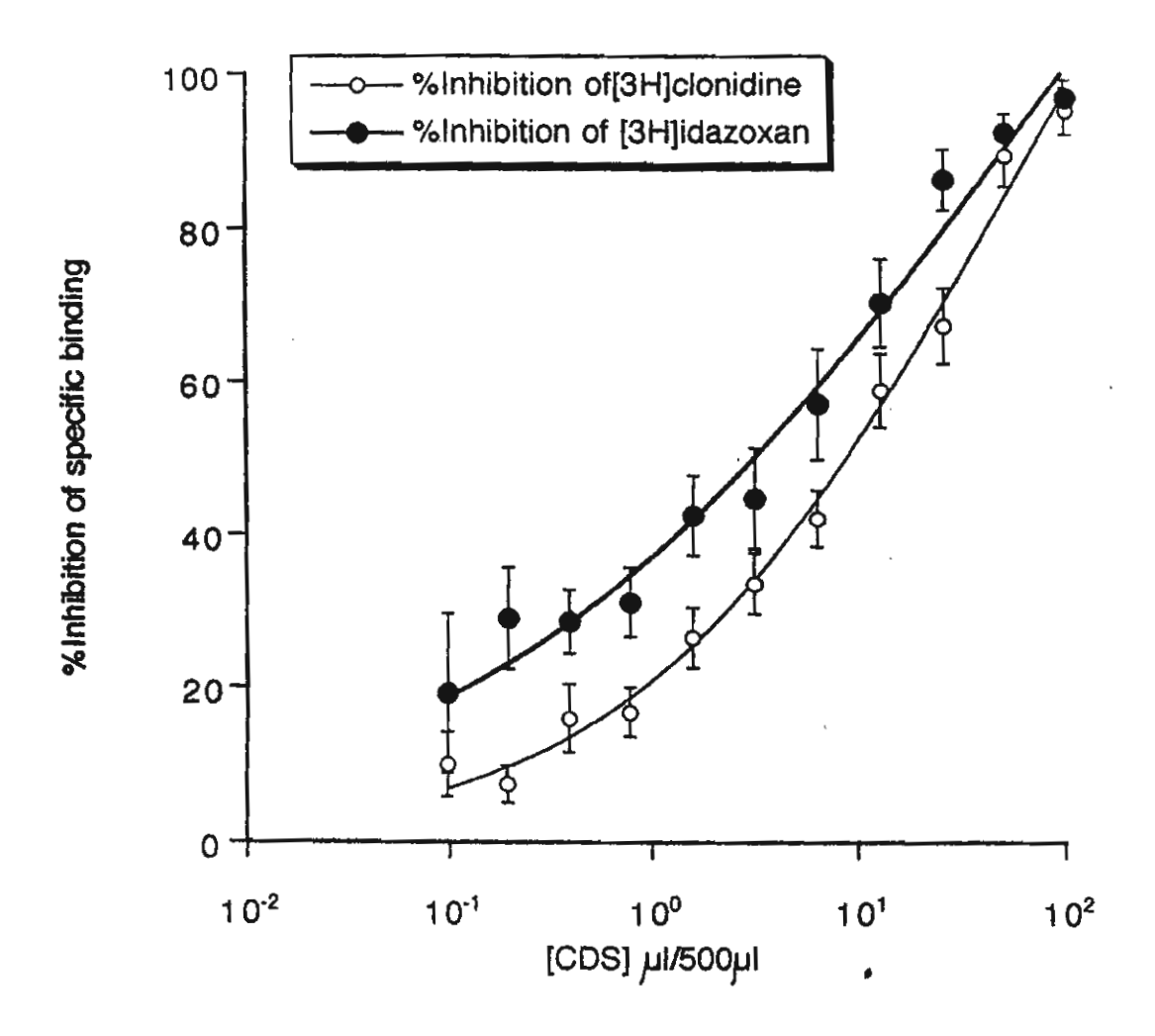


Figure 1 Competitive binding of porcine brain methanolic CDS extract against 1 nM of $[^3H]$ - clonidine binding to porcine cerebral cortex membranes (0) and against 0.3 nM of $[^3H]$ -idazoxan binding to porcine renal cortex membranes (\bullet) Nonspecific binding was determined in the presence of 10 4 M arterenol (NA) for alpha2-adrenoceptors and in the presence of 10 4 M of cirazoline for imidazoline receptors. The concentration of CDS is expressed in μ I of extract per 500 μ I assay volume. The results shown are the mean \pm SEM of % inhibition of radioligand binding from 16 experiments of porcine cerebral cortex and 10 experiments for porcine renal cortex.

- 2. ศึกษาและตรวจสอบความสามารถของสารสกัด CDS ในการกระตุ้น $lpha_{ ext{2}}$ -adrenoceptors
 - 2.1 Model ของการจับตัวของเกร็ดเลือดที่ถูกกระตุ้นด้วย ADP
 - 2.1.1 ผลของ alpha₂-adrenoceptor agonist เช่น clonidine

ใน model การกระตุ้นการจับกันของเกร็ดเลือดพบว่าสารที่เป็น alpha₂-adrenoceptor agonist เช่น clonidine สามารถส่งเสริมฤทธิ์ ของ 1 μM adenosine diphosphate (ADP) ใน การกระตุ้นการจับตัวของเกร็ดเลือด ซึ่งเห็นผลได้ชัดที่ความเข้มขัน 3x10⁻⁷–10⁻⁶ M clonidine ผลนี้ถูกยับยั้งได้โดย alpha₂-adrenoceptor antagonist เช่น yohimbine แสดงว่าเป็นการออก ฤทธิ์ผ่าน alpha₂-adrenoceptors ส่วนสารสกัดCDS ยับยั้งการจับกันของเกร็ดเลือดซึ่งตรงข้าม กับ clonidine

รูปที่**2** แสดงถึง clonidine สามารถส่งเสริมฤทธิ์ ของ adenosine diphosphate (ADP) 1μM ในการกระตุ้นการจับตัวของเกร็ดเลือด ซึ่งผลเป็นแบบ concentration-dependent

Clonidine ลำพังเมื่อไม่มี ADP กระตุ้น จะไม่เห็นผลต่อการจับตัวของเกร็ดเลือด(ไม่ได้แสดง ในกราฟ)

รูปที่ 3 แสดงถึงผลการกระตุ้นการจับตัวของเกร็ดเลือดโดย clonidine ถูกยับยั้งได้ด้วย alpha₂-adrenoceptor antagonist (10⁻⁶ M) yohimbine

Effect of clonidine on ADP (1 µM)-induced platelet aggregation

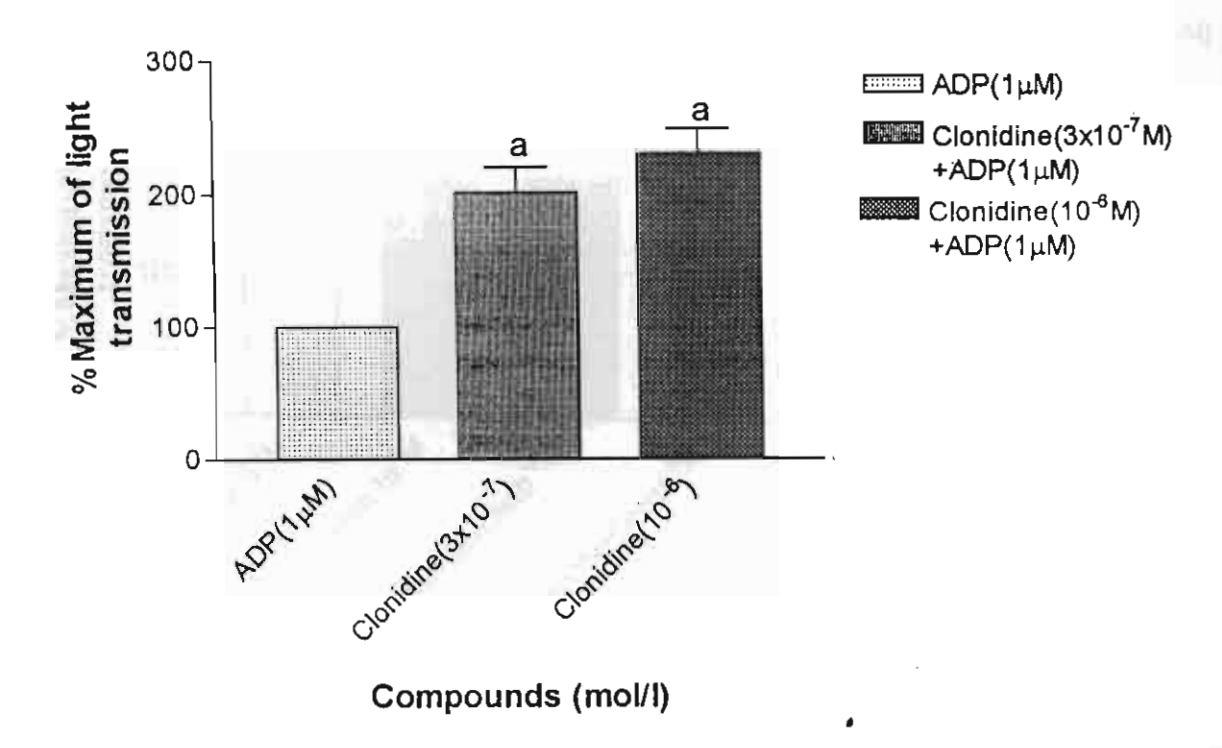


Figure 2 The potentiation effect of clonidine on ADP-induced human platelet aggregation. Platelet-rich plasma (PRP) was preincubated with clonidine $(3x10^{-7} \text{ or } 10^{-6} \text{ M})$ 1 min before addition of 1 μ M ADP, in a final assay volume of 250 μ l.

The effect of clonidine stimulation is shown as percentage of 1 μ M ADP response. The value shown are mean \pm SEM (n=14).

a : represents statistical significant difference from the effect of 1 μ M ADP stimulation at p<0.05.

Effect of yohimbine on clonidine potentiated ADP-induced platelet aggregation

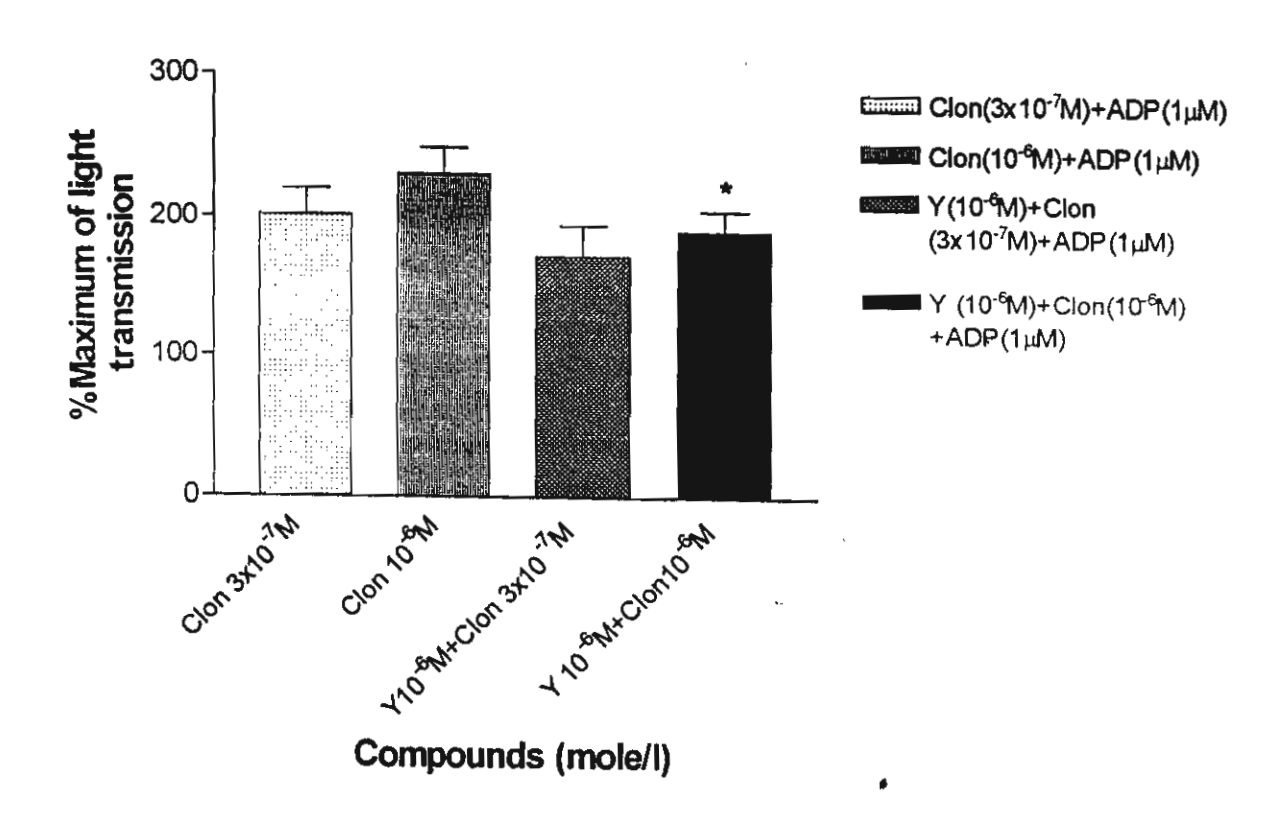


Figure 3 Effects of alpha2-adrenoceptor antagonist, yohimbine (10^{-6} M) on clonidine potentiated ADP-induced human platelet aggregation. Platelet-rich plasma (PRP) were preincubated with or without yohimbine (10^{-6} M) 2 min before addition of clonidine ($3x10^{-7}$ or 10^{-6} M) 3 min prior to the addition of 1 μ M ADP.

The effect of clonidine and/or yohimbine are shown as percentage of 1 μ M ADP response. The value shown are mean \pm SEM (n=14).

* : represents statistical difference from the effect of clonidine (10 $^{-6}$ M) +1 μ M ADP stimulation in the absence of yohimbine at p<0.05.

2.1.2 ผลของ clonidine-displacing substance ต่อการจับตัวของเกร็ดเลือดที่ถูกกระตุ้น ด้วย ADP

เก็บเลือดจากผู้บริจาค 8 คน และมีค่าเฉลี่ยของ platelet count ที่ใช้ในการทดลอง 2.96 \pm 0.37x 10 5 /µl

สารสกัด CDS (0.02 unit) โดยลำพังมีผลเล็กน้อยต่อการกระตุ้นเกร็ตเลือด แต่เมื่อเกร็ด เลือดถูกกระตุ้นด้วย ADP 1 µM สารสกัด CDS (1.25x10⁻³ – 0.02 unit) สามารถยับยั้งการจับ ตัวของเกร็ดเลือดได้ ในลักษณะที่ขึ้นกับความเข้มขัน (concentration-dependent) ผลจะเห็นได้ ชัดที่ CDS 0.02 unit ซึ่งยับยั้งได้ประมาณ 50% เมื่อเทียบกับADP กระตุ้นโดยลำพัง ดังแสดง ในรูปที่ 4 และผลของCDSในการยับยั้งการจับกันของเกร็ตเลือดที่ถูกกระตุ้นด้วย ADP นี้ไม่ถูก เปลี่ยนแปลงด้วย alpha₂-adrenoceptor antagonist (10⁻⁶ M yohimbine) (yohimbine ไม่มีผล ต่อการกระตุ้นเกร็ดเลือดเมื่อทดสอบโดยลำพังหรือเมื่อมี ADP) แสดงว่า CDS ไม่ได้ออกฤทธิ์ ยับยั้งโดยผ่าน alpha₂-adrenoceptor แต่เป็นที่ nonadrenoceptor site ดังแสดงในรูปที่ 5

Effect of CDS extract on ADP(1 μM)-induced platelet aggregation

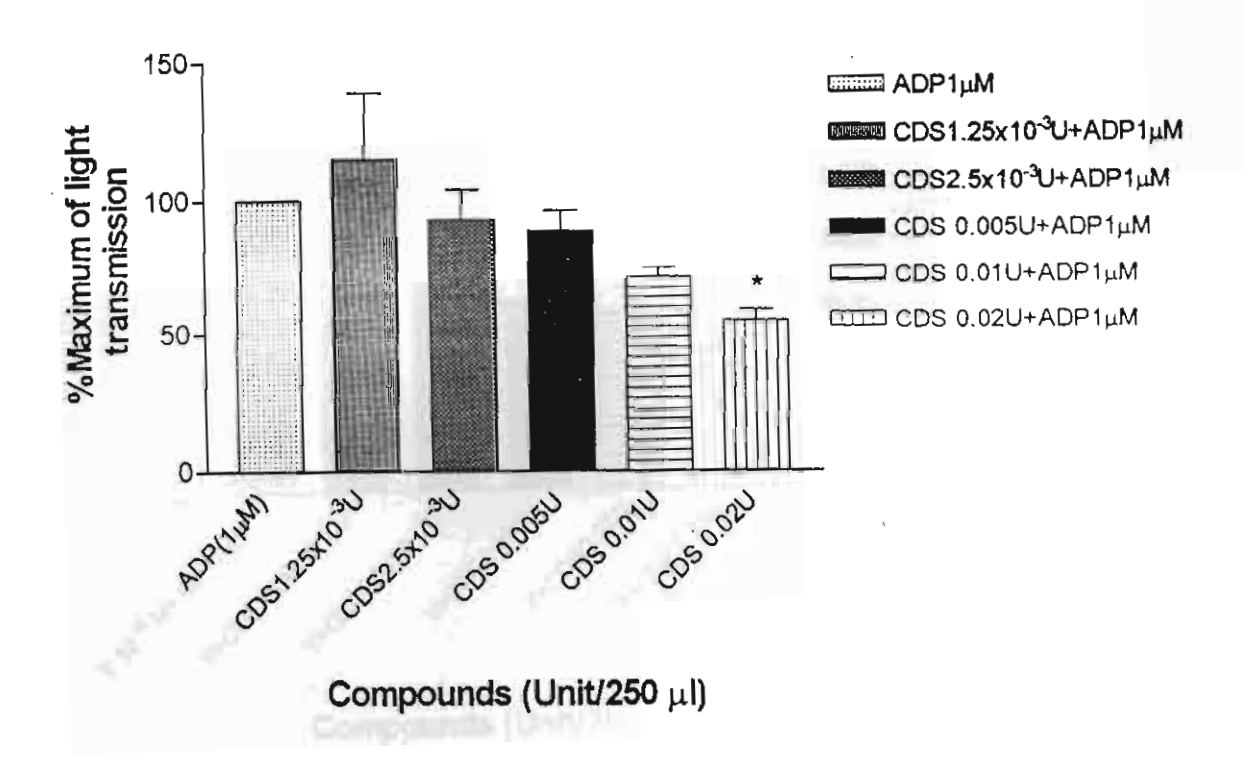


Figure 4 The effect of CDS extract on ADP-induced platelet aggregation. Human platelet-rich plasma (PRP) was preincubated for 1 min in aggregometer prior to the addition of 1 μ M ADP. PRP was then incubated with various concentration of CDS (units/250 μ I assay volume) for 1 min prior to addition of 1 μ M ADP in 250 μ I assay.

The effect of CDS inhibition is shown as percentage of 1 μ M ADP response. The values shown are mean \pm SEM (n=8).

 * : represents statistical difference from the effect of 1 μM ADP stimulation at p <0.05.

Effect of yohimbine on CDS extract inhbited ADP (1 µM)-induced human platelet aggregation

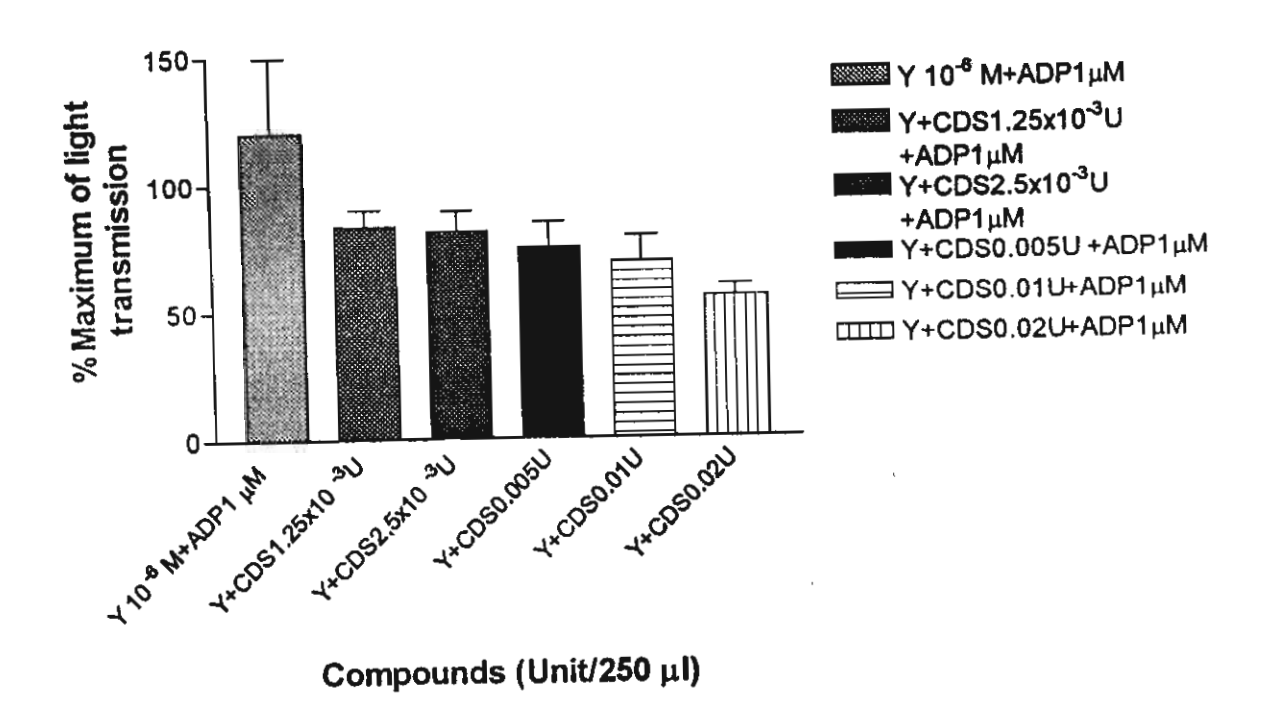


Figure 5 Effect of yohimbine on the inhibitory effect of CDS on ADP-induced aggregation. Platelet-rich plasma (PRP) was incubated with yohimbine (10⁻⁶ M) 2 min prior to the addition of CDS extract at various concentrations (units/250μl) and incubated for further 1 min before the addition of 1 μM ADP.

The effect of yohimbine and/or CDS extract is shown as percentage of 1 μ M ADP response. The values are shown as mean \pm SEM from 8 experiments using platelet-rich plasma from 8 separate blood donors.

2.1.3 <u>ผลของ agmatine</u> agmatine มีผลต่อการเกาะกันของเกร็ดเลือดเพียงเล็กน้อยแม้ที่ ความเข้มข้นสูงถึง0.1 mM ซึ่งให้ผลแตกต่างจาก ADP 1 μM กระตุ้นอย่างไม่มีนัยสำคัญทาง สถิติ ดังแสดงในรูปที่ 6

หมายเหตุ ผลของ Harmane ซึ่งพบสารตัวนี้ในช่วงท้ายของงานวิจัยจะอยู่ในงานตีพิมพ์ที่1.1 ภายใต้หัวข้อ Output จากโครงการวิจัยที่ได้รับทุนจากสกว

Effect of agmatine on ADP (1 μM)-induced platelet aggregation

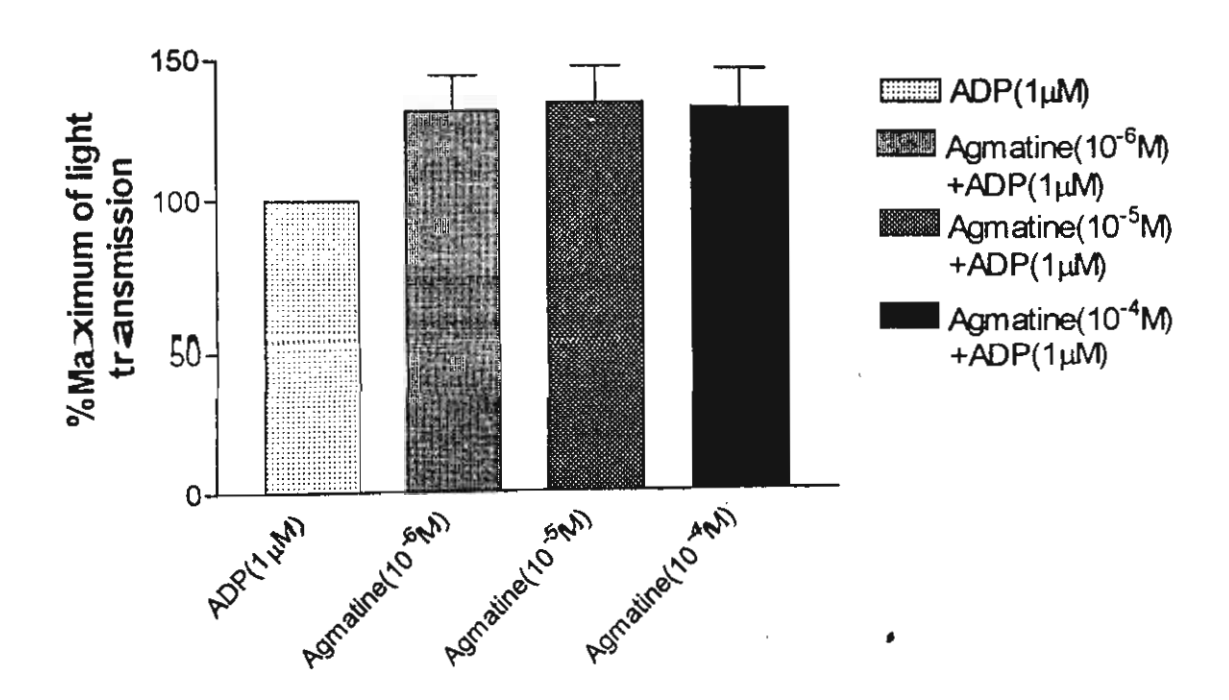


Figure 6 Effect of agmatine on ADP (1 μ M)-induced human platelet aggregation. Platelet-rich plasma (PRP) was preincubated with various concentration of agmatine 1 min before the addition of 1 μ M ADP, in a final assay volume of 250 μ l.

The effect of agmatine is shown as percentage of 1 μ M ADP response. The values shown are mean \pm SEM (n=10).

2.2 Model prejuncional α₂-adrenoceptor $\vec{\eta}$ rat vas deferens

2.2.1 ผลของ alpha₂-adrenoceptor agonist เช่น clonidine พบว่า clonidine ยับยั้ง twitch contractile response ของท่อนำน้ำเชื้อที่ถูกกระตุ้นด้วยกระแสไฟฟ้า และผลนี้ถูกยับยั้งได้ด้วย idazoxan (10^{-6} M) ซึ่งเป็น Ω_2 -adrenoceptor antagonist แสดงว่าเป็นการออกฤทธิ์ผ่าน alpha₂-adrenoceptors ดังแสดงในรูปที่ 7 clonidine ยับยั้งการหดตัวของท่อนำน้ำเชื้อแบบ concentration-dependent โดยยับยั้งได้ 100% ที่ความเข้มข้นของ clonidine ที่ 10^{-8} M (pD₂ 8.62 ± 0.04 , n=4)

ผลของ clonidine เมื่อมี α_2 -adrenoceptor antagonist, idazoxan (10^{-6} M) idazoxan จะ shift concentration-response curve ของ clonidine ไปทางขวาด้วยความเข้มข้นที่สูงกว่า 100 เท่า (pD $_2$.6.63 \pm 0.004, n=4)

รูปที่ 8 แสดง trace recording ของ clonidine และ methanolic CDS extract ต่อการหดตัว ของท่อนำน้ำเชื้อที่ถูกกระตุ้นด้วยกระแสไฟฟ้า

2.2.2 ผลของสารสกัด CDS ต่อการหดตัวของท่อนำน้ำเชื้อที่ถูกกระตุ้นด้วยกระแสไฟฟ้า เป็น biphasic ดังแสดงในรูป 9 ที่ความเข้มขันต่ำของสารสกัด CDS (0.003-0.1 unit/ml) จะให้ ผลยับยั้งการหดตัวของท่อนำน้ำเชื้อเพียงเล็กน้อย โดยให้ contractile response ประมาณ 79-92% ของ control response (ไม่มี agonist กระตุ้น) ซึ่งมีนัยสำคัญทางสถิติที่ p<0.05 (n=5) ที่ ความเข้มขันสูงขึ้น (มากกว่า 0.5 units/ml) สารสกัด CDS 1.5 unit กลับกระตุ้น twitch contractile response ของท่อนำน้ำเชื้อเพิ่มขึ้น 32 ± 12 % จาก control response (100%) (n=5)

ผลการกระตุ้นของสารสกัดเมื่อมี idazoxan (10⁻⁶ M) พบว่า idazoxan ไม่สามารถเปลี่ยน แปลงผลของสารสกัด CDS ที่มีต่อการหดตัวของท่อนำน้ำเชื้อที่ถูกกระตุ้นด้วยกระแสไฟฟ้า (รูป ที่ 9)

2.2.3 ผลของสารสกัด CDS ต่อ การยับยั้งการหดตัวของท่อนำน้ำเชื้อของ clonidine

จากผลการทดลองในข้อ 2.2 ทำให้เกิดคำถามว่า สารสกัด CDS มีคุณสมบัติเป็น α_2 -adrenoceptor antagonist ที่ prejuncional α_2 -adrenoceptor ที่ rat vas deferens หรือไม่ จึง ได้ทำการทดลองเพิ่มโดยดูผลของสารสกัด CDS ต่อ clonidine ดังแสดงในรูป 10 clonidine ยัง คงแสดงการยับยั้งการหดตัวของท่อนำน้ำเชื้อได้ 100% ที่ความเข้มข้น $3x10^{-8}$ M อย่างไรก็ตาม potency ของclonidine ที่ rat vas deferens (pD₂ 8.62 \pm 0.06, n=4) ลดลงเล็กน้อยเมื่อมีสาร สกัด CDS 1.7 units/ml (pD₂ 8.27 \pm 0.12, n=5) ซึ่งมีนัยสำคัญทางสถิติที่ p<0.05

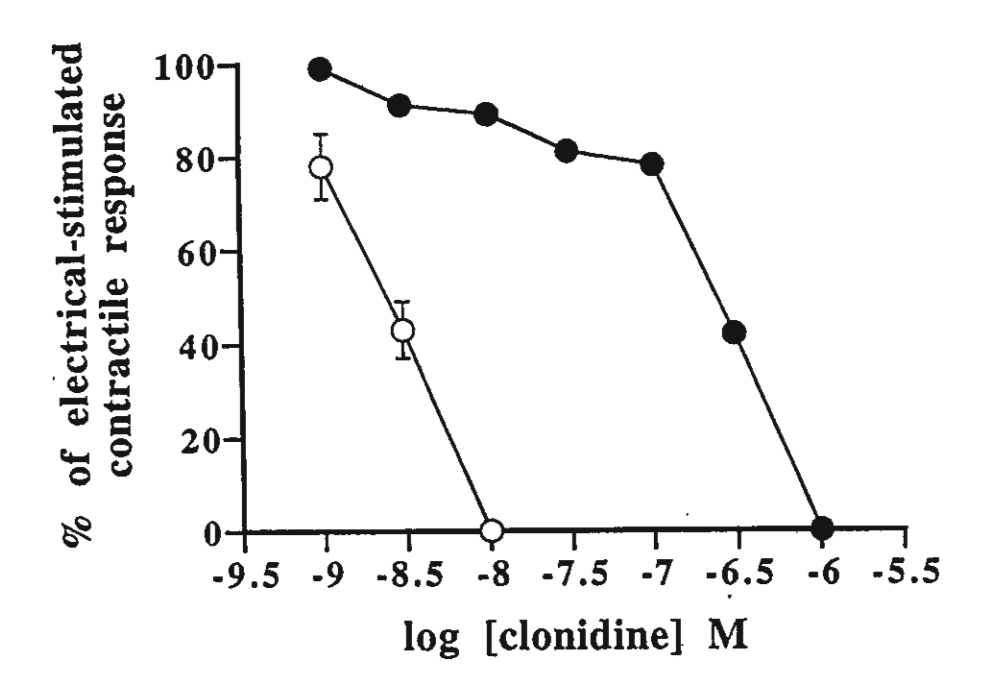
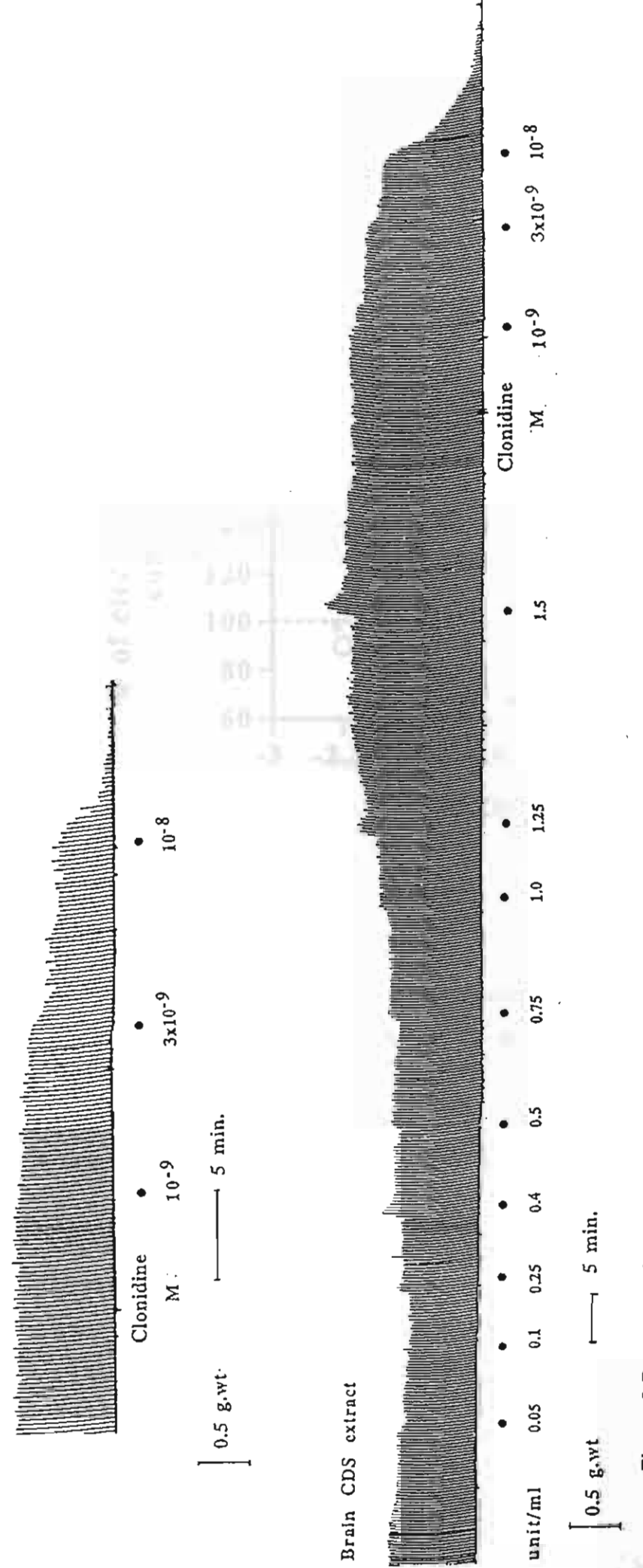


Figure 7 The cumulative concentration response curves of clonidine (O) and clonidine in the presence of 10^{-6} M idazoxan (\bullet) against electrically-evoked contractions of prostatic segments of the rat isolated vas deferens. Contractions were elicited by transmural electrical stimulation (0.5 ms duration, 0.005 Hz, 70 volts) and had equilibrated before adding the drugs. Contractile response in the presence of the agonists have been calculated as a percentage of a response in the absence of the agonist and expressed as the mean \pm SEM of 2-4 separate experiments.



shows the effect of clonidine (10 - 10 M) on electrically-evoked contraction. The lower tracing shows the effect of brain methanolic CDS extract Figure 8 Representative trace recording of the electrically-evoked contractile response of prostatic end of the rat vas deferens. The upper tracing (cumulative concentration of 0.5 -1.5 units/ml), followed by clonidine (10° - 10° M), on electrically-evoked contractions.

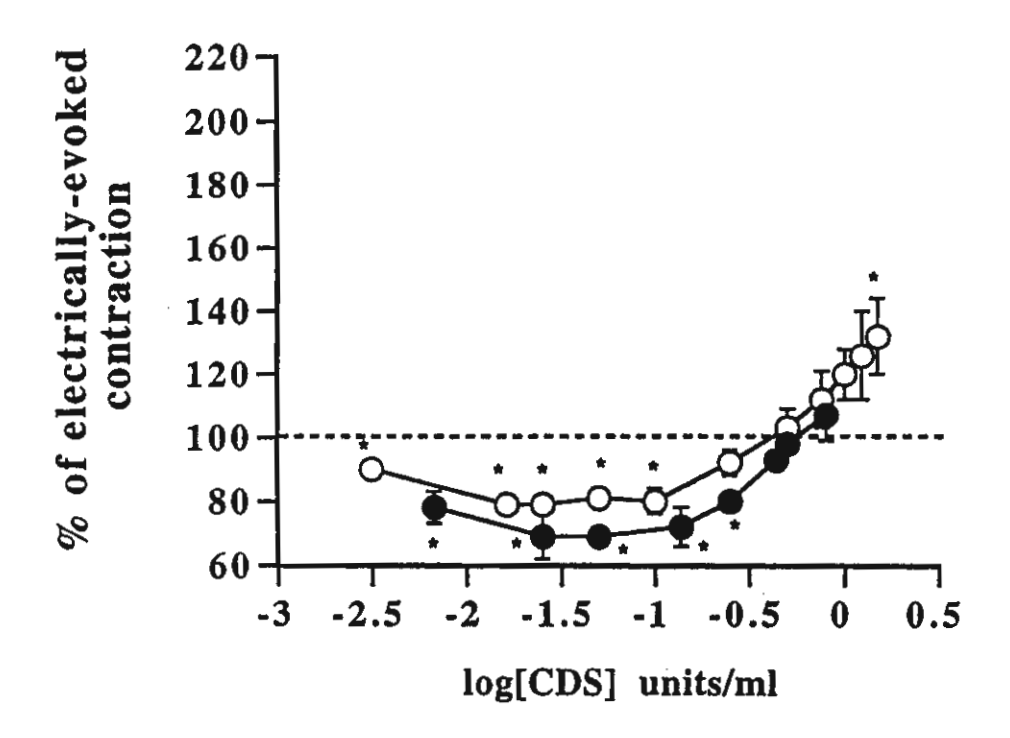


Figure 9 Cumulative concentration response curves of brain methanolic CDS extract in the absence (O) and presence (●) of 10⁻⁶ M idazoxan against electrically-evoked contractions of prostatic segment of the rat isolated vas deferens. Contractions were elicited by transmural electrical stimulation (0.5 ms duration, 0.005 Hz, 70 volts) and had equilibrated before adding the antagonist and the extract. Contractile responses in the presence of the extract have been calculated as a percentage of the control response (before adding the antagonist or the extract) and are expressed as the mean ± SEM of 2-3 separate experiments for the extract in the presence of idazoxan and 5 separate experiments for the brain extract.

^{*} represents statistical difference from the control contractile response at p<0.05.

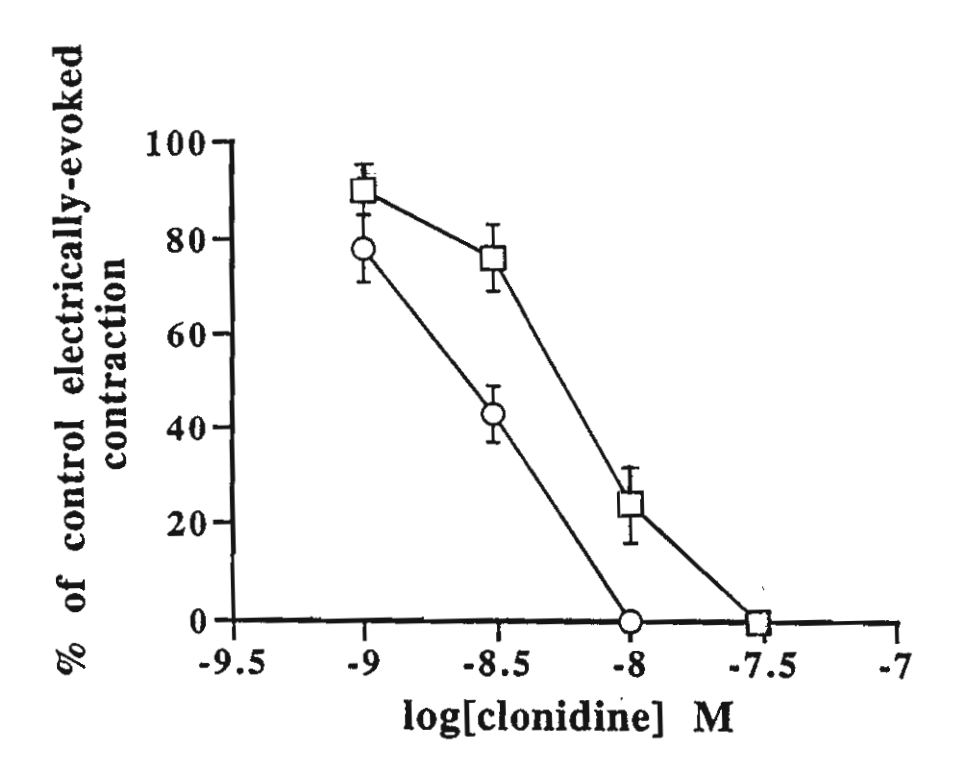


Figure 10 The cumulative concentration response curves of clonidine (O) and clonidine in the presence of (1.7 units/ml) methanolic brain CDS extract (\Box) against electrically-evoked contractions of prostatic segment of the rat isolated vas deferens. Contractions were elicited by transmural electrical stimulation (0.5 ms duration, 0.005 Hz, 70 volts) and had equilibrated before adding the drug or the extract. Contractile responses in the presence of the agonist have been calculated as a percentage of the control response (before adding the drug or the extract) and are expressed as the mean \pm SEM of 4-6 separate experiments.

3. ผลของสารสกัด CDS ในการกระตุ๊น imidazoline receptor

การศึกษาการออกฤทธิ์ของสาร imidazoline ซึ่งมีหรือไม่มี adrenergic actvity และ non-imidazoline adrenergic agents ใน การกระตุ้น human platelet พบว่า สารที่มีสูตรโครงสร้าง เป็น imidazoline เช่น clonidine, antazoline, tolazoline มีคุณสมบัติในการกระตุ้นเกร็ดเลือดที่ แตกต่างจาก adrenergic agent ที่สูตรโครงสร้างไม่เป็น imidazoline ซึ่งความแตกต่างนี้เป็นผล มาจากความสามารถของ imidazoline compound ที่สามารถกระตุ้น imidazoline receptor ที่ เกร็ดเลือด

3.1 ผลของimidazoline agents and non-imidazoline α-adrenergic agents ต่อการจับกัน ของเกร็ดเลือดที่ถูกกระตุ้นด้วย noradrenaline

จากการศึกษาการกระตุ้นเกร็ดเลือดด้วยNoradrenaline 10⁻⁸–10⁻⁴ M ได้เลือกที่ความเข้ม ข้น 4 μM ซึ่งเป็นความเข้มข้นต่ำสุดที่กระตุ้นการจับกันของเกร็ดเลือดโดยไม่มี reversible phase เนื่องจากต้องการดูผลในแง่ยับยั้งการจับกันของเกร็ดเลือด เพื่อให้เห็นการเปลี่ยนแปลง ได้ชัดเจน

การทดลองนี้พบว่าสารที่มีสูตรโครงสร้างเป็น imidazoline ไม่ว่าจะมี agonist activity (เช่น clonidine, tolazoline), antagonist activity (เช่น idazoxan)หรือไม่มี activity ที่ α-adrenoceptor (เช่น antazoline) ทุกตัวสามารถยับยั้งการจับกันของเกร็ดเลือดที่ถูกกระตุ้นด้วย noradrenaline ดังแสดงในรูป11 และค่า inhibitory concentration (IC₅₀) ดังตาราง1

	Drug	IC ₅₀ [M]
Imidazoline agents	clonidine Idazoxan Antazoline Tolazoline	 4.56x10⁻⁷ 4.21x10⁻⁸ 2.85x10⁻⁶ 1.64x10⁻⁶
Non- Imidazoline agents	Yohimbine	3.40x10 ⁻⁷

Table1 Potencies of imidazoline agents and non-imidazoline α -adrenergic agent in inhibiting human platelet aggregation induced by noradrenaline 4 μ M. Each value indicated the mean of IC₅₀ from 5 experiments.

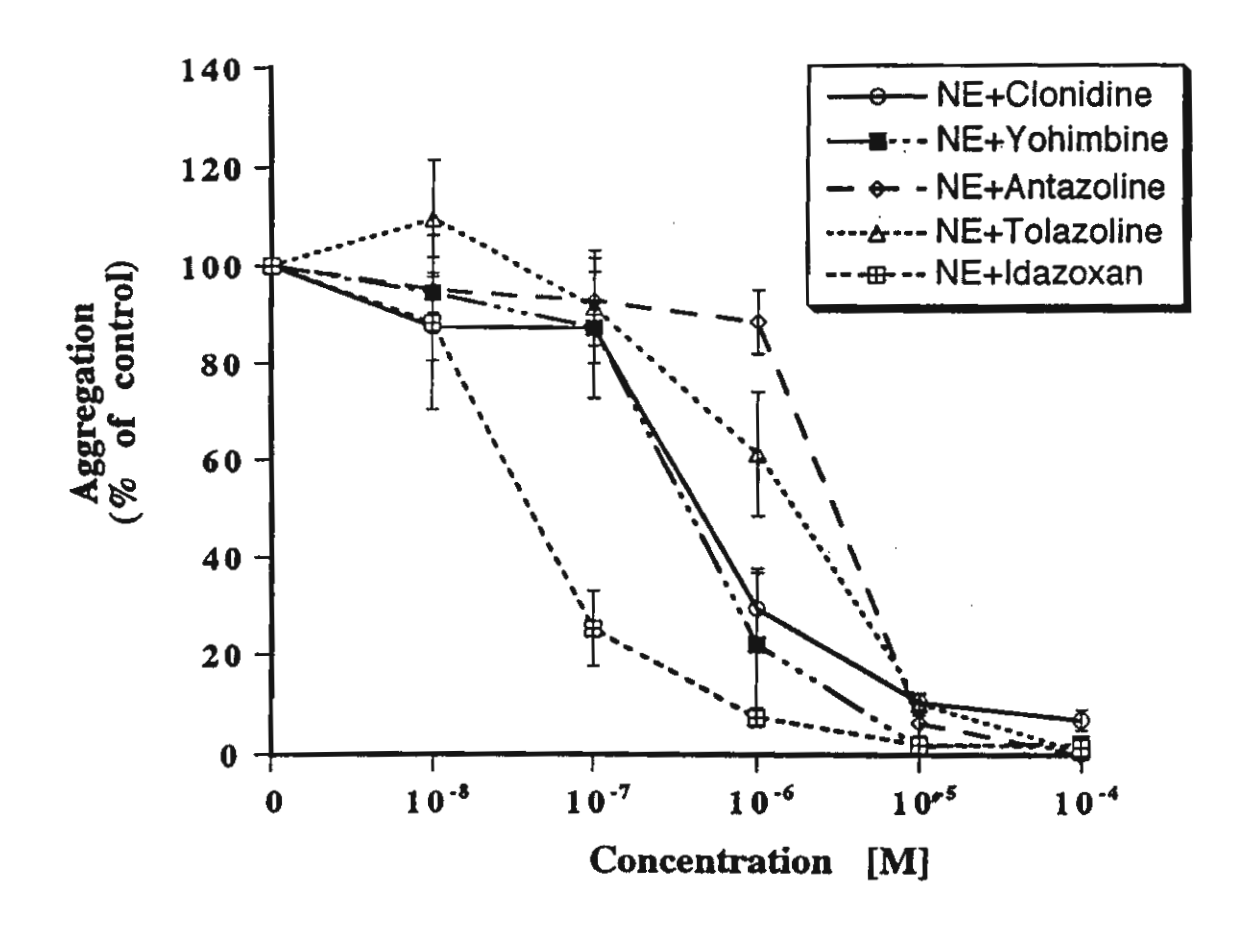


Figure 11 Concentration-effect curves of imidazoline and non-imidazoline α -adrenergic agents on noradrenaline (4 μ M)-induced human platelet aggregation. The effects shown were percent of control response of maximum stimulation by noradrenaline alone-induced aggregation. Values shown are mean \pm SEM of 5 experiments.

ลำดับของ potency ในการยับยั้งการจับกันของเกร็ดเลือดที่ถูกกระตุ้นด้วยNoradrenaline คือ idazoxan >yohimbine>clonidine>antazoline>tolazoline

ldazoxan ซึ่งเป็นสารที่มีสูตรโครงสร้างเป็น imidazoline potent กว่า yohimbine ซึ่งเป็น $lpha_2$ -adrenoceptor antagonist 10 เท่า ในการยับยั้ง noradrenaline .ในการกระตุ้นเกร็ดเลือด

Antazoline ซึ่งเป็น imidazoline compound และไม่มีคุณสมบัติกระตุ้น α_2 -adrenoceptor ก็สามารถยับยั้งการจับกันของเกร็ดเลือดที่ถูกกระตุ้นด้วย Noradrenaline ได้เช่น กัน แสดงว่า imidazoline compound มีคุณสมบัตินี้ โดยออกฤทธิ์ฝ่าน imidazoline receptor

3.2 ผลของ clonidine-displacing substance (CDS) ต่อการจับกันของเกร็ดเลือดที่ถูกกระตุ้น ด้วย noradrenaline

สารสกัด CDS โดยลำพังไม่มีผลต่อการยับยั้งการจับกันของเกร็ดเลือด แต่จะยับยั้งเมื่อ เกร็ดเลือด ถูกกระตุ้นด้วย Noradrenaline (4 µM) ดังแสดงในรูป12 แม้ว่าความเข้มข้นของสาร สกัดที่ใช้จะไม่สูงมาก เช่นที่ 0.25 unit สามารถยับยั้งการจับกันของเกร็ดเลือดที่ถูกกระตุ้นด้วย Noradrenaline ได้ 40%

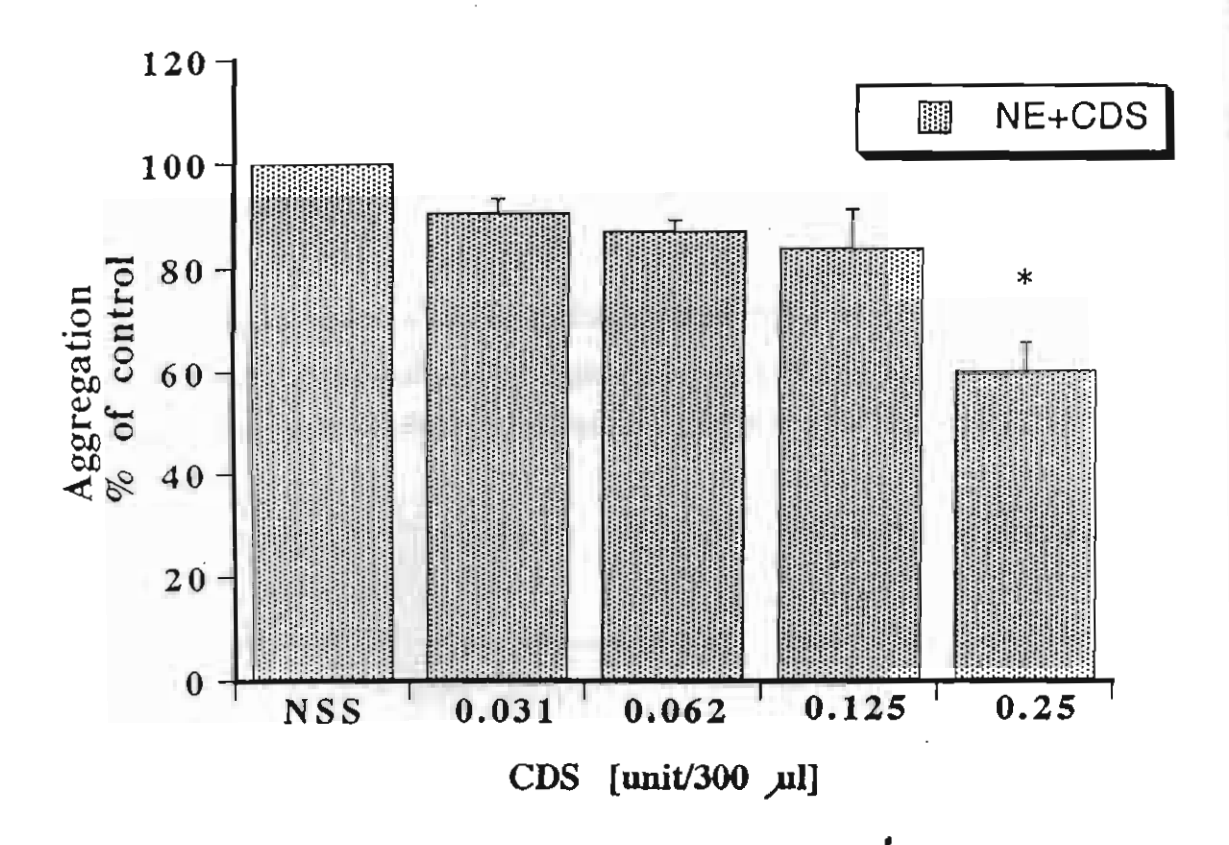


Figure 12 The effects of clonidine-displacing substance (CDS) extract, a putative endogenous ligand at imidazoline receptor, on noradrenaline (4 μ M)-induced human platelet aggregation. The effects shown were percent of control response of maximum stimulation by noradrenaline alone-induced aggregation. Values shown are mean \pm SEM of 5 experiments.

* represents significant difference from noradrenaline-induced human platelet aggregation at p<0.05.

3.3 ผลของ imidazoline agents and non-imidazoline α-adrenergic agents ต่อการจับกัน ของเกร็ดเลือดที่ถูกกระตุ้นด้วย ADP

Imidazoline agents ทุกตัวโดยลำพังไม่มีผลต่อการจับกันของเกร็ดเลือด แต่เมื่อกระตุ้น ด้วย ADP (4 μM) imidazoline agents ทุกตัวที่ความเข้มข้นต่ำกว่า 10⁻⁶ M ไม่แสดงผลยับยั้ง หรือเสริมการจับกันของเกร็ดเลือด ดังแสดงในรูป13

Clonidine ซึ่งเป็น partial agonist ที่ α_2 -adrenoceptor ที่ความเข้มข้นสูงถึง10 5 M จึง แสดงผลเสริมการจับกันของเกร็ดเลือดที่ถูกกระตุ้นด้วย ADP ทั้งนี้เนื่องจากตัวกระตุ้นคือ ADP ที่ใช้ความเข้มข้น 4 μ M ซึ่งกระตุ้นเสริมการจับกันของเกร็ดเลือดได้ โดยไม่มี reversible phase ซึ่งเกือบถึงการจับตัวสูงสุดของเกร็ดเลือดในตัวอย่างเลือดส่วนใหญ่ จึงแสดงผลเสริมการจับกันของเกร็ดเลือดที่ความเข้มข้นค่อนข้างสูง

Imidazoline agents ตัวอื่นที่ความเข้มข้นสูงขนาด 10⁻⁵ - 10⁻⁴ M แสดงผลยับยั้งการจับ กันของเกร็ดเลือดที่ถูกกระตุ้นด้วย ADP เพียง 20% ของ ADP เมื่อกระตุ้นโดยลำพัง ส่วนผล ของสารสกัด CDS ต่อการจับกันของเกร็ดเลือดที่ถูกกระตุ้นด้วย ADP ดังในหัวข้อ 2.1.2

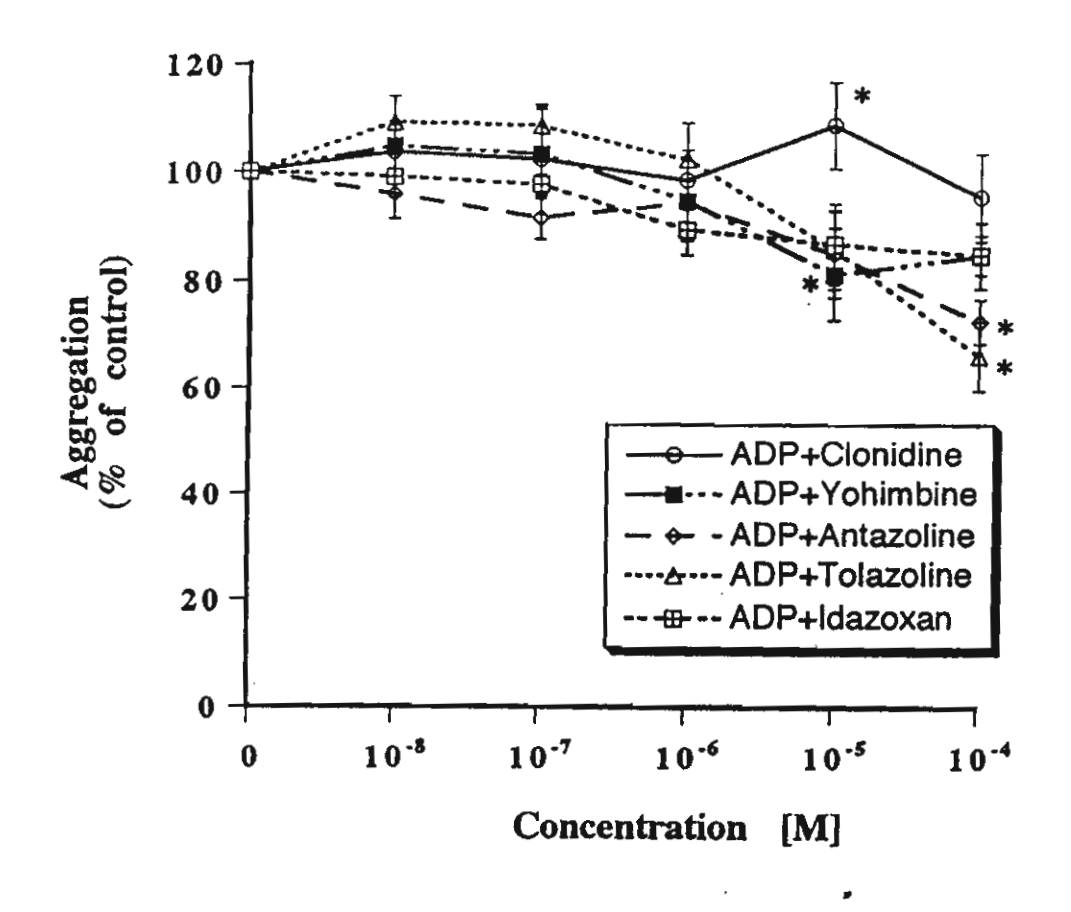


Figure 13 Concentration-effect curves of imidazoline and non-imidazoline α -adrenergic agents on ADP (4 μ M)-induced human platelet aggregation. The effects shown were percent of control response of maximum stimulation by ADP alone-induced aggregation. Values shown are mean \pm SEM of 5 experiments.

* represents statistical significant difference from ADP alone-induced human platelet aggregation at p<0.05.

บทวิจารณ์

โครงการวิจัยนี้มีจุดประสงค์ที่จะสกัดสาร clonidine-displacing substance (CDS) และศึกษาความเป็นไปได้ของสารนี้ที่จะเป็นสารธรรมชาติในร่างกาย (endogenous substance) โดยศึกษาคุณสมบัติและการออกฤทธิ์ของสารนี้ CDS ถูกสกัดจากสมองส่วน cerebral cortex โดยส่วนใหญ่ใช้สมองหมู แม้การทดลองบางส่วนก่อนหน้านี้ได้ใช้สมองวัวในการสกัดซึ่งพบว่ามี CDS activity เท่า ๆกับของหมู และมีข้อดีกว่าคือมีปริมาณเนื้อ cerebral cortex ใน 1 สมองมาก กว่าหมู ทำให้สกัดสาร CDS ได้ในปริมาณมากกว่า แต่ระยะต่อมาพบว่าการเก็บตัวอย่างสมอง วัวค่อนข้างลำบากกว่าเก็บสมองหมู เนื่องจากต้องเก็บในเวลากลางคืน งานวิจัยในโครงการนี้จึง ใช้สมองหมูเป็นหลัก

จากการที่สารสกัด CDS มีคุณสมบัติในการไล่ที่ [3 H]-clonidine ที่จับกับ α_2 -adrenoceptor ที่ porcine cerebral cortex membrane ทำให้เชื่อได้ว่ามีสาร CDS ปรากฏอยู่ใน สมองหมู นอกจากนี้สารสกัด CDS ยังจับกับ imidazoline receptor เช่นที่ porcine kidney cortex CDS จึงอาจเป็น endogenous ligand ที่ receptor site นี้ ซึ่งสารสกัด CDS มี binding affinity ที่ imidazoline receptor (IR) มากกว่าที่ α_2 -adrenoceptor เช่นเดียวกับคุณสมบัติของ สารสกัด CDSจากกลุ่มของ Singh 41 ซึ่งใช้สารสกัดจากสมองวัว

บทบาทของสารสกัด CDS ที่ α_2 -adrenoceptor ใน model ของกระตุ้นการจับกัน ของเกร็ดเลือดนั้นแตกต่างจาก clonidine ซึ่งเป็น partial agonist ที่ α_2 -adrenoceptor สารสกัด CDS ให้ผลยับยั้งการกระตุ้นการจับกันของเกร็ดเลือดที่ถูกกระตุ้นด้วย ADP ซึ่งไม่ได้เกิดจาก การกระตุ้น α_2 -adrenoceptor ตรงข้ามกับผลของ clonidine และผลการวิจัยนี้ตรงข้ามกับกลุ่ม ของ Atlas 42 ซึ่งทำเมื่อหลายปีก่อน โดยพบว่าสารสกัด CDS กระตุ้นการจับกันของเกร็ดเลือด เมื่อถูกกระตุ้นด้วย ADP เป็นที่สงสัยว่ามีเพียงกลุ่มนี้ที่พบ activity ของ CDS ที่ α_2 -adrenoceptor จึงอาจเป็นไปได้ว่ามี catecholamine ปนมาในสารสกัดทำให้ทำให้สามารถ กระตุ้น α_2 -adrenoceptors ได้ อย่างไรก็ตามหลังจากนั้นยังไม่พบรายงานยืนยันการออกฤทธิ์ ของสารสกัดที่ α_2 -adrenoceptors อีก

การศึกษาบทบาทของสารสกัด CDS ที่ prejunctional α_2 -adrenoceptor ที่ prostatic end ของท่อนำน้ำเชื้อของหนู พบผลของสารสกัดเป็นแบบ biphasic คือที่ความเข้ม ขันต่ำยับยั้งการหดตัวเช่นเดียวกับ clonidine ซึ่งเป็น α_2 -adrenoceptor agonist แต่ที่ความเข้ม ขันสูงขึ้นกลับกระตุ้นหรือเพิ่ม contractile response ซึ่ง action นี้ไม่ได้ผ่านการกระตุ้น α_2 -adrenoceptor เพราะ idazoxan ซึ่งเป็น α_2 - adrenoceptor antagonist ไม่เปลี่ยนแปลงผลของ CDS ผลในการยับยั้งที่ความเข้มขันต่ำก็ไม่น่าเกิดจาก inhibitory β -adrenoceptor ซึ่งพบอยู่ที่ ส่วน prostatic end ของท่อนำน้ำเชื้อหนูเช่นกัน α_3 เนื่องจากในการทดลองได้ใช้ propanolol ซึ่ง เป็น α_3 -adrenoceptor antagonist block การกระตุ้น receptor นี้ด้วย การทดลองนี้เป็นอีก

evidence ที่แสดงว่าสารสกัด CDS ไม่มี agonist activity โดยตรงที่ α_2 -adrenoceptor ที่ tissue นี้ งานวิจัยนี้พบว่า CDS ลด potency ของ clonidine ลงเล็กน้อย ก็อาจเป็นไปได้ว่าสารสกัดนี้มี คุณสมบัติเป็น antagonist ที่ α_2 -adrenoceptor หรือมี negative regulatory role ที่ตัวรับนี้ อย่างไรก็ตามต้องมีการพิสูจน์ว่า antagonistic effect ของสารสกัด CDS นี้ selective ที่ α_2 -adrenoceptor หรือไม่ โดยทำการทดลองต่อไปโดยใช้ non-adrenergic agent ที่มีผลยับยั้งการ หดตัวของท่อนำน้ำเชื้อของหนูเช่นกัน เช่น enkephalin ซึ่งเป็น opioid agonist แล้วดูผลของ สารสกัดCDS หากสามารถ shift enkephalin concentration curve ไปทางขวาได้เช่นกันแสดง ว่า antagonistic effect ของสารสกัด CDS ไม่ selective หรือมิได้ออกฤทธิ์เฉพาะเจาะจงที่ α_2 -adrenoceptor

ดังนั้นถึงแม้ว่าสารสกัด CDS จะจับกับ α_2 -adrenoceptor แต่ยังไม่พบบทบาทที่ เป็น agonist ที่ α_2 -adrenoceptor อย่างมีนัยสำคัญ เป็นเวลา 10 กว่าปี ที่มีการค้นหาสาร endogenous CDS นี้ ถึงวันนี้ยังไม่พบ evidence สนับสนุนเพิ่มขึ้นอีกว่า CDS มีบทบาทที่ α_2 -adrenoceptor ดังที่เคยมีรายงานไว้เมื่อปี 1986-87 α_2 -

งานวิจัยนี้พบว่าถึงแม้ว่าสารสกัด CDS สามารถแทนที่ clonidine binding และจับกับ α_2 -adrenoceptors ได้ แต่ biological activity ที่ sites นี้ก็ไม่ได้เลียนแบบ clonidine ส่วน agmatine ซึ่งมีรายงานก่อนหน้านี้ว่าเป็น active compound ของสารสกัด CDS งานวิจัยนี้ยัง คงยืนยันงานที่ตีพิมพ์แล้วก่อนหน้านี้ (Pinthong et al., 1995) ว่ายังไม่พบ action ของ agmatine ที่ α_2 -adrenoceptors ใน tissue อื่นอีก ดังนั้น agmatine ไม่น่าจะเป็นตัวแทนของ สารCDS ถึงแม้ว่า agmatine จะสามารถจับกับ α_2 -adrenoceptors แต่ไม่พบ functional activity ที่ site นี้

ส่วนบทบาทของสารสกัด CDS ที่ imidazoline receptor นั้น พบว่าการที่สารสกัด ยับยั้งการกระตุ้นการจับกันของเกร็ดเลือดที่ถูกกระตุ้นด้วย ADP นั้นเป็นการกระตุ้นที่ผ่านทาง non-adrenoceptor site ซึ่งมีรายงานก่อนหน้านี้สนับสนุนว่าพบ imidazoline receptor ที่ human platelet membrane²⁷

จากการศึกษาการออกฤทธิ์ของสาร imidazoline และ non-imidazoline adrenergic agents ในการกระตุ้น human platelet เทียบกับสารสกัด CDS พบว่า สารที่มีสูตร โครงสร้างเป็น imidazoline เช่น clonidine, antazoline, tolazoline มีคุณสมบัติในการกระตุ้น เกร็ดเลือดที่แตกต่างจาก adrenergic agent ที่สูตรโครงสร้างไม่เป็น imidazoline ซึ่งความแตก ต่างนี้เป็นผลมาจากความสามารถของ imidazoline compound ที่สามารถกระตุ้น imidazoline receptor ที่เกร็ดเลือด กลไกและนัยสำคัญของการกระตุ้น imidazoline receptor ที่เกร็ดเลือดที่ เกี่ยวโยงกับระบบอื่น ๆยังต้องศึกษาต่อไป จากการศึกษานี้แสดงให้เห็นว่า non-adrenoceptor imidazoline binding site มีบทบาทต่อการจับกันของเกร็ดเลือด

การที่พบว่า imidazoline receptor มีบทบาทที่เกร็ดเลือด อาจช่วยตอบคำถามถึง คุณสมบัติของ clonidine ที่เป็น partial agonist ที่ α_2 -adrenoceptor คือตัว clonidine เองไม่มี ผลต่อการจับกันของเกร็ดเลือดหรือมีเพียงเล็กน้อยในขณะที่ α -adrenergic agonist เช่น noradrenaline/adrenaline กระตุ้นการจับกันของเกร็ดเลือด แต่ clonidine กลับยับยั้งการจับกันของเกร็ดเลือด แต่ clonidine สามารถจับได้ทั้ง 2 receptor ผลที่เห็นยับยั้งการจับกันของเกร็ดเลือดที่ถูกกระตุ้นด้วย noradrenaline อาจเกิดจาก การกระตุ้น imidazoline receptor ซึ่งเป็นที่ยืนยันแล้วว่ามี receptor นี้ที่เกร็ดเลือด 27 อย่างไรก็ ตามควรได้ทำการทดลองด้วย imidazoline agent ที่หลากหลายกว่านี้โดยเฉพาะที่มีคุณสมบัติ ที่จำเพาะเจาะจงต่อ imidazoline receptor เท่านั้น และปราศจาก activity ที่ α_2 - adrenoceptor ปัญหาในการศึกษาคุณสมบัติของ imidazoline receptor คือ receptor ทั้งสอง มักอยู่ใน cell หรือ tissue เดียวกัน ถึงแม้จะมีคุณสมบัติทางเกล้ชวิทยาต่างกัน แต่สาร imidazoline ที่พบใน ปัจจุบันส่วนใหญ่จะจับและกระตุ้นได้ทั้ง 2 receptor การพัฒนา ligand ที่ selective ต่อ imidazoline receptor จะช่วยให้แยกบทบาทของตัวรับทั้ง 2 จากกันได้ชัดเจน

เนื่องจากอุปสรรคในการเตรียมสารสกัดให้มีความเข้มข้นสูง ปริมาณของสารสกัดที่ ใช้ในการทดลองศึกษาผลของ CDS ต่อการจับกันของ platelet จึงค่อนข้างน้อย ถึงแม้ที่ 0.25 unit จะเห็นผลการยับยั้งการจับกันของเกร็ดเลือดที่กระตุ้นด้วย noradrenaline ได้ 40% แต่ก็ ควรใช้ความเข้มขันที่สูงขึ้น เช่น ช่วง 1-10 Unit เพื่อจะได้เห็นการยับยั้งการจับกันของเกร็ด เลือดได้สมบูรณ์ (100%)

การเกิด spontaneous platelet aggregation อาจพบได้ในการทดลองโดยใช้เลือด ของผู้ป่วยที่เป็นโรคเกี่ยวกับเส้นเลือดเลี้ยงหัวใจหรือเลี้ยงสมอง (cardiovascular and cerebrovascular disease) และการที่พบ CDS ใน serum และใน human plasma แสดง ว่า CDS อาจเป็นสารที่มีในร่างกายและมีบทบาทในการยับยั้งการจับกันของเกร็ดเลือดเมื่อถูก กระตุ้นด้วย noradrenaline นอกจากนี้การที่ imidazoline compound sensitive ต่อ การกระตุ้น ด้วย noradrenaline มากกว่า ADP แสดงว่า สารพวกนี้อาจมีบทบาทในการรักษาหรือป้องกัน ภาวะที่เกร็ดเลือดมีความไวสูงต่อ catecholamine (platelet hyperreactivity) และ CDS อาจเป็นสารธรรมชาติในร่างกายที่ช่วยป้องกันภาวะนี้

ปัญหาในการศึกษาคุณสมบัติทางเภสัชวิทยาของสารสกัดคือเมื่อนำสารมาสกัด ผ่านขั้นตอนในการแยกให้ได้สารบริสุทธิ์ยิงขึ้น เช่นผ่าน HPLC ต้องทำการสกัดในปริมาณมาก และเมื่อแยก fraction ออกมาแล้วส่วนหนึ่งต้องใช้สำหรับทดสอบหา CDS activity ในทุก fraction ทำให้ได้สารปริมาณน้อยมาก เกินกว่าที่จะใช้ทดสอบ functional activity ส่วนการใช้ crude extract ก็มีปัญหาคืออาจมีสารอื่นอีกหลายตัวปนอยู่ด้วยซึ่งอาจรบกวนการตีผลของการ ทดลอง ดังนั้นการคันหาสูตรโครงสร้างทางเคมีของสารสำคัญในสารสกัด ยังคงเป็นงานที่ต้อง ค้นหา ถึงแม้ว่าจะมีกลุ่มวิจัยอื่นได้เสนอ Agmatine และ Harmane แต่เมื่อศึกษา biological activity แล้วพบว่ายังแตกต่างจากสารสกัด CDS

โดยสรุปงานวิจัยนี้ชี้ให้เห็นว่าการออกฤทธิ์ของสารสกัด CDS น่าจะเกี่ยวข้องกับ การกระตุ้น imidazoline receptor จากจุดเริ่มต้นที่พบว่าสารที่สูตรโครงสร้างเป็น imidazoline มีบทบาทในการลดความดันโลหิตโดยลด sympathetic outflow ซึ่งในภาวะที่มี sympathetic activity สูงจะเกี่ยวข้องกับภาวะที่มี excess catecholamine ชึ่งจะโยงไปถึงการเพิ่มความดัน โลหิต การหดตัวของเส้นเลือด การกระตุ้นการหลั่ง renin-angiotensin รวมทั้ง catecholamine ที่สูงจะกระตุ้น platelet hyperaggregability สา และเพิ่ม blood viscosity จากงานวิจัยนี้พบว่า การใช้ยาลดความดันโลหิตที่เป็น imidazoline compound เช่น clonidine, moxonidine, rilmenidine นอกจากช่วยลดความดันโลหิตแล้วจะมีกลไกเสริมในการลดการกระตุ้นการจับกัน ของเกร็ดเลือด ซึ่งจะช่วยลดอัตราเสี่ยงของการเกิด myocardial infarction และ stroke ในผู้ ป่วยความดันโลหิตสูงได้

ปัจจุบันงานวิจัยส่วนใหญ่จะเป็นการศึกษาที่ imidazoline receptor มากกว่าที่ CDS เนื่องจากสูตรโครงสร้างของสารสำคัญยังไม่พบแน่ชัด งานวิจัยในอนาคตเกี่ยวกับ imidazoline receptor โดยเฉพาะในแง่การออกฤทธิ์และผลการกระตุ้นที่ receptor จะมุ่งเน้นที่ 3 ระบบหลักคือ 1)ระบบความดันโลหิตโดย I_1 receptor, 2)โรคความผิดปกติของระบบประสาท ส่วนกลาง เช่น โรคซึมเศร้า (depression) และ Alzheimer's type dementia, Parkinson's disease โดยเกี่ยวกับ I_2 receptor พบว่า site นี้มีอยู่ที่ binding domain ของ monoamine oxidase I_2 และที่ outer membrane ของ mitochondria I_3 ซึ่งอาจมีบทบาทในการควบคุม activity ของเอ็นไซม์นี้ซึ่งสำคัญในการควบคุมปริมาณ catecholamine ในสมอง, 3) การกระตุ้น การหลั่ง insulin จาก pancreatic I_3 cell โดย กระตุ้น I_3 receptor ซึ่งกลุ่มวิจัยนี้ก็ให้ความสนใจ ในระบบที่ 2 และ 3 เช่นกัน

หนังสืออ้างอิง

- Kobinger W. Central α-adrenergic system as targets for hypertensive drugs. Rev Physiol Biochem Pharmacol 1978; 81:30-100.
- Bousquet P., Feldmen J., Schwart J. Central cardiovascular effects of alphaadrenergic drugs: differences between catecholamines and imidazolines. J Pharmacol Exp ther 1984; 230; 232-6
- Ernsberger P, Meeley MP, MannJJ, Reis DJ. Clonidine binds to imidazole binding site as well as alpha2-adrenoceptor in the ventrolateral meddula. Eur J Pharmacol 1987; 134:1-13
- 4. Ernsberger P, Giuliano R, Willette RN, Granata AR, Reis DJ. Hypotensive action of clonidine analogues correlates with binding affinity at imidazole and not α_2 -adrenoceptors in the rostral ventrolateral medulla. J Hypertension 1988; 6[Suppl.]: S554-7.
- 5. Langin D, Lafontan M. [³H]-idazoxan binding at non α₂-adrenoceptors in rabbit adipocyte membranes. Eur J Pharmacol 1989; 159 : 199-203.
- Vigne P, Lazdunski M, Frelin C. Guanabenz, guanochlor, guanoxan and idazoxan bind with high affinity to non-adrenergic sites in pig kidney membranes Eur J Pharmacol 1989; 160: 295-8.
- Atlas D, Burstein Y. Isolation of endogenous clonidine displacing substance from rat brain. FEBS Lett. 1984a;170: 387-91.
- 8. Atlas D, Burstein Y. Isolation and partial purification of a clonidine displacing endogenous brain substance. Eur J Biochem.1984b; 144: 287-93.
- Ernsberger P, Meeley MP, Reis DJ. An endogenous substance with clonidine-like properties: selective binding to imidazole sites in the ventrolateral medulla. Brain Res. 1988; 441: 309-18.
- Hensley ML, Meeley MP, McCauley PM, Ernsberger P, Reis DJ. Clonidinedisplacing substance is present in peripheral tissues of the rat. Am J Hypertension 1989; 2: 917-9.
- 11. Synetos D, Manolopous VG, Atlas D, Synetos EP. Human plasma-derived material with clonidine displacing substance (CDS)-like properties contracts the isolated rat aorta. J Auton Pharmacol 1991; 11: 343-51.
- 12. Meeley MP, Hensley ML, Ernsberger P, Felsen D, Reis DJ. Evidence for a bioactive clonidine-displacing substance in peripheral tissue and serum. Biochem Pharmacol. 1992; 44: 733-40.

- Diamant S, Atlas D. An endogenous brain substance, CDS (clonidine-displacing substance, inhibit the twitch response of rat vas deferens. Biochem Biophys Res Commun 1986; 134:184-90.
- 14. Felsen D, Meeley, MP, Reis DJ. Clonidine displacing substance is biologically active on smooth muscle. Eur J Pharmacol. 1987; 142 : 453–5.
- 15. Regunathan S, Meeley, MP, Reis DJ. Clonidine-displacing substance from bovine brain binds to imidazoline receptors and releases catecholamines in adrenal chromaffin cells.J Pharmacol Exp Ther. 1991; 40: 884-8.
- 16. Meeley MP, Ernsberger PR, Granata AR, Reis DL. An endogenous clonidine-displacing substance from bovine brain: receptor binding and hypotensive actions in the ventrolateral medulla. Life Sci. 1987; 38: 1119-26.
- Atlas D, Diamant S, Fales HM, Pannell L. The brain's own clonidine: Purification and characterization of endogenous clonidine-displacing substance from brain. J Cardiovas. Pharmacol. 1987; 10 (suppl.12): S122-7.
- 18. Li G, Regunathan S, Barrow CJ, Eshraghi J, Cooper R, Reis DJ. Agmatine: an endogenous clonidine-displacing substance in the brain. Science 1994; 263: 966-9.
- 19. Reis DJ, Regunathan S. Agmatine: an endogenous ligand at imidazoline receptors is a novel neurotransmitter. Annals New York Acad Sciences 1999; 881:65-80.
- 20. Sun MK, Regunathan S, Reis DJ. Cardiovascular responses to agmatine, a clonidine-displacing substance, in anesthetized rat. Clin. Exp. Hypertension 1995; 17: 115-28.
- 21. Pinthong D, Wright IK, Hanmer C, Kendall DA, Vincent VG. Agmatine recognizes alpha2-adrenoceptor binding site but neither activates nor inhibits alpha2-adrenoceptor. Naunyn-Schmiedeberg's Arch Pharmacol. 1995; 351: 10-16.
- 22. Piletz J.E, Chikkala DN, Ernsberger P. Comparison of the properties of agmatine and endogenous clonidine-displacing substance at imidazoline and alpha2adrenergic receptors. J. Pharmacol. Exp. Ther. 1995; 272: 581-7.
- 23. Hudson AL. Harmane, norharmane and tetrahydro β-carboline have high affinity for rat imidazoline binding sites. Br.J.Pharmacol. 1999;126: 2P
- 24. Musgrave F, Badoer E. Harmane produces hypotension following microinjection into the RLVM: possible role of I₁ -imidazoline receptors. Br.J.Pharmacol. 2000; 129:1057-59.

- 25. MacKinnon AC, Brown CM, Spedding M, Kilpatrik AT. [³H]-Idazoxan binds with high affinity to two sites on hamster adipocytes: an α₂-adrenoceptor and a non-adrenoceptor sites. Br J Pharmacol. 1989; 98: 1143-50.
- 26. Ernsberger PR, Westbrook KL, Christen MO, Schafer SG. A second generation of centrally acting antihypertensive agents act on putative I₁-imidazoline receptors. J Cardiovascular Pharmacol. 1992; [suppl.4]: S1-10.
- Piletz J.E, Slettens K. Non-adrenergic imidazoline binding sites on human platelets.
 J. Pharmacol. Exp. Ther. 1993; 267: 1493-1502.
- 28. Regunathan S, Feinstein DL, Reis DJ. Expression of non-adrenergic imidazoline sites in rat cerebral cortical astrocytes. J Neurosci Res. 1993; 34: 681-8.
- 29. Olmos G, Alemany R, Escriba PV, Garcia-Sevilla JA. The effects of chronic imidazoline drug treatment on glial fibrillary acidic protein concentrations in rat brain. Br J Pharmacol. 1994; 111: 997-1002.
- 30. Morgan NG, Chan SLF, Brown CA, Tsoli E. Characterization of imidazoline binding site involved in regulation of insulin secretion. Ann N Y Acad Sci. 1995; 763: 361-73.
- 31. Olmos G, Kulkani RN, Haque M, MacDermont J. Imidazolines stimulate release of insulin from RIN-5AH cells independently from imidazoline I₁ and I₂ receptors. Eur J Pharmacol.1994; 262: 41-8.
- 32. Morgan G, Chan SLF, Moutada M, Monk LK, Ramsden A. Imidazolines and pancreatic hormone secretion. Annals New York Acad Sciences 1999; 881:217-228.
- 33. Regunathan S, Meeley MP, Reis DJ. Expression of non-adrenergic imidazoline sites in chromaffin cells and mitochondrial membrane of bovine adrenal medulla. Biochem Pharmacol. 1993; 45: 1667-75.
- 34. Molderings GJ, Moura D, Fink K, Bonish H, Gothert M. Binding of [³H]-clonidine to I₁-imidazoline sites in bovine adrenal medullary membranes. Naunyn-Schmied Arch Pharmacol. 1993; 348: 70-6.
- 35. Ernsberger P, Giuliano R, Willette RN, Reis DJ. Role of imidazole receptors in the vasodepressor response to clonidine analog, in the rostral ventrolateral medulla. J Pharmacol Exp Ther. 1990; 253: 408-18.

- 36. Ernsberger P, Damon TH, Graff M, Schafer SG, Christen O. Moxonidine, a centrally acting antihypertensive agent, is a selective ligand for I₁ -imidazoline sites. J Pharmacol Exp Ther. 1993; 264: 172-82.
- 37. Ohara-Imaizumi M, Kumakura K. Effects of imidazoline compounds on catecholamine release in adrenal chromaffin cells. Cell Mol Neurobiol. 1992; 12: 273-83.
- Chan SLF. Role of α₂-adrenoceptors and imidazoline binding sites in the control of insulin secretion. Clin Sci. 1993; 85: 671-7.
- 39. Moldering GJ, Gothert M. Inhibitory presynapic imidazoline receptors on sympathetic nerves in the rabbit aorta differ from I₁ and I₂-imidazoline binding sites. Naunyn-Schmied Arch Pharmacol. 1995; 351 : 507-16.
- Halaris, A., Zhu, H., Feng, Y. and Piletz, J.E. (1999). Plasma agmatine and platelet imidazoline receptors in depression. Annals New York Academy of Sciences, 881: 445-51.
- 41. Singh G, Hussain JF, MacKinnon A, Brown CM, Kendall DA, Wilson VG. Evidence for the presence of a non-catecholamine, clonidine-displacing substance in crude, methanolic extracts of bovine brain and lung. Naunyn Schmied Arch Pharmacol. 1995: 351: 17-26.
- 42. Diamant S, Eldor A, Atlas D. A low molecular weight brain substance interacts, similarily to clonidine, with alpha2-adrenoceptors of human platelets. Eur J Pharmacol. 1987; 144: 245-55.
- 43. MacDonald A, MacGrath JC. The distribution of adrenoceptors and other drug receptors between the two ends of the rat vas deferens as revealed by selective agonists and antagonists. Br J Pharmacol. 1980; 71, 445-58.
- 44. Hoogendijk EMG, Jenkins CSP, van Wijk EM, Jos J, Ten Cate JW. Spontaneous platelet aggregation in cerebrovascular disease. Thromb Haemost. 1979; 41: 512-22.
- 45. Synetos D, Manolopoulous VG, Atlas D, Synetos EP. Human plasma-derived material with clonidine-displacing substance (CDS)-like properties contracts the isolated rat aorta. J Auton Pharmacol. 1991; 11: 343-51.
- 46. Rupp H. Excess catecholamine syndrome : pathophysiology and therapy. Annals New York Acad Sciences 1999; 881 :430-444.

- 47. Anfossi G, Trovati M. Role of catecholamines in platelet function : Pathophysiological and clinical significance. Eur J Clin Invest. 1996; 26 : 353-70.
- 48. Ulibarri I, Soto J, Ruiz J, Ballesteros J, Jauregui JV, Meana JJ. I₂-imidazoline receptor in platelets of patients with Parkinson's disease and Alzheimer's type dementia. Annals New York Acad Sciences 1999; 881:199-202.
- 49. Raddatz R, Parini A, Laniers SM. Localization of the imidazoline binding domain on monoamine oxidase. Mol Pharmacol. 1997; 52: 549-53.

Output จากโครงการวิจัยที่ได้รับทุนจากสกว.

- 1. ผลงานตีพิมพ์ในวารสารวิชาการนานาชาติ : Manuscript
 - 1.1 Suchdev, R. and Pinthong, D. Effects of clonidine-displacing substance on human platelets. Is there a possible role. Adding more experiments on harmane before submitting for publication in Life Science ยังมิได้แนบ manuscript มา
 - 1.2 Pinthong, D., Ratanachumnong, R. and Songsermsakul, P. Antiaggregatory effects of imidazoline agents on human platelet aggregation. Submitting for publication in European J. Pharmacology. แนบ manuscript มาด้วย

2. การนำผลงานวิจัยไปใช้ประโยชน์เชิงวิชาการ

- 2.1 พัฒนาการเรียนการสอนและงานวิจัยโดยใช้ Radioligand binding technique ให้ กับภาควิชาเภสัชวิทยา คณะวิทยาศาสตร์ มหาวิทยาลัยมหิดล ในการสอนนัก ศึกษาปริญญาโท-เอก
- 2.2 Set เครื่องมือพื้นฐานในการสกัดสารซึ่งสามารถใช้กับงานสมุนไพรของภาควิชาฯ ในอนาคต
- 2.3 ได้องค์ความรู้ใหม่สำหรับสารที่มีในร่างกายที่มีบทบาทในการควบคุมและรักษาสม ดุลย์ของระบบต่างๆ นอกจากควบคุมระบบความดันโลหิตซึ่งมีรายงานก่อนหน้านี้ แล้ว งานวิจัยนี้ยังพบบทบาทของสารสกัดCDS ซึ่งเป็น endogenous substance รวมทั้ง imidazoline agent อื่นๆในการควบคุมการจับกันของเกร็ดเลือดที่ถูก กระตุ้นด้วย adrenaline/noradrenaline สาร imidazoline agent อาจพัฒนาเป็นยา เพื่อแก้ไขภาวะที่เกร็ดเลือดมีความไวต่อการถูกกระตุ้นมากเกินปกติ
- 2.4 สร้างนักวิจัยใหม่ซึ่งเป็นนักศึกษาปริญญาโทของภาควิชาฯ ให้รู้จักคิดและตั้งสมมุติ ฐานปัญหาในเชิงวิจัย วางแผนการวิจัย แก้ปัญหา และเขียนงานวิจัย โดยสำเร็จไป 2 คน ได้แก่
 - 2.4.1 น.ส. ราณี สัจจเดว์ อาจารย์ภาควิชาเภสัชวิทยาและพิษวิทยา คณะ สัตวแพทยศาสตร์ มหาวิทยาลัยข่อนแก่น
 - 2.4.2 น.ส. ปิยะดา ส่งเสริมสกุล อาจารย์ภาควิชาพิษวิทยา คณะเภสัช ศาสตร์ มหาวิทยาลัยข่อนแก่น

3. ผลงานตีพิมพ์ในวารสารวิชาการในประเทศ : Reprint

Pinthong, D. (2000) No evidence for the action of 'clonidine-displacing substance at alpha2-adrenoceptors. Thai J. Pharmacology, 22: 207-18.

ภาคผนวก

1. รูปสูตรโครงสร้างทางเคมีของสารและ trace record

1.1 สูตรโครงสร้างทางเคมีของสารที่เป็น imidazoline และ imidazoline derivatives

Guanidine Derivatives

CI
$$H_2N$$
 H_3C H_3C

Amidine Derivatives

$$(CH_3)_3C \xrightarrow{OH} CH_3 \xrightarrow{N} H$$

$$CH_3 \xrightarrow{N} H$$
Oxymetazoline Rilmenidine Phentolamine

Imidazole Derivatives

1.2 สูตรโครงสร้างทางเคมีของสารที่เป็น imidazoline derivatives, adrenergic non-imidazoline และ agmatine

Arylpiperazine Derivatives

Alkaloid Derivatives

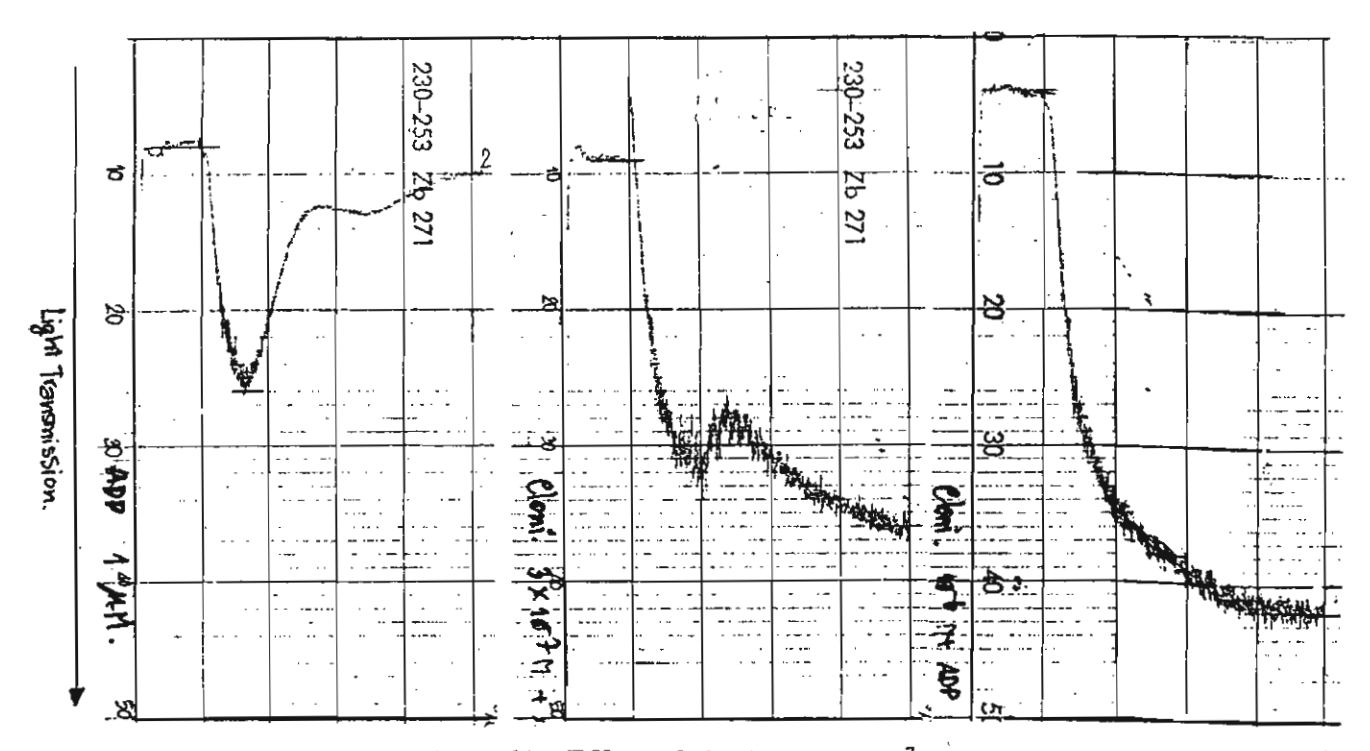
Benzodioxan Derivatives

Miscellaneous Derivatives

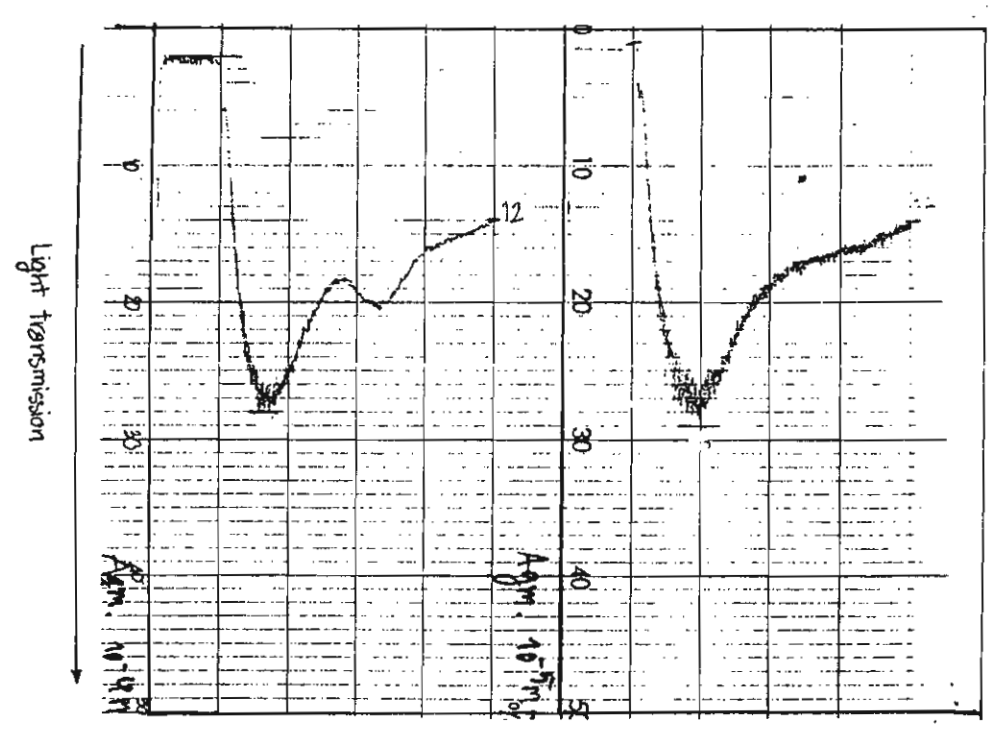
Agmatine

agmatine

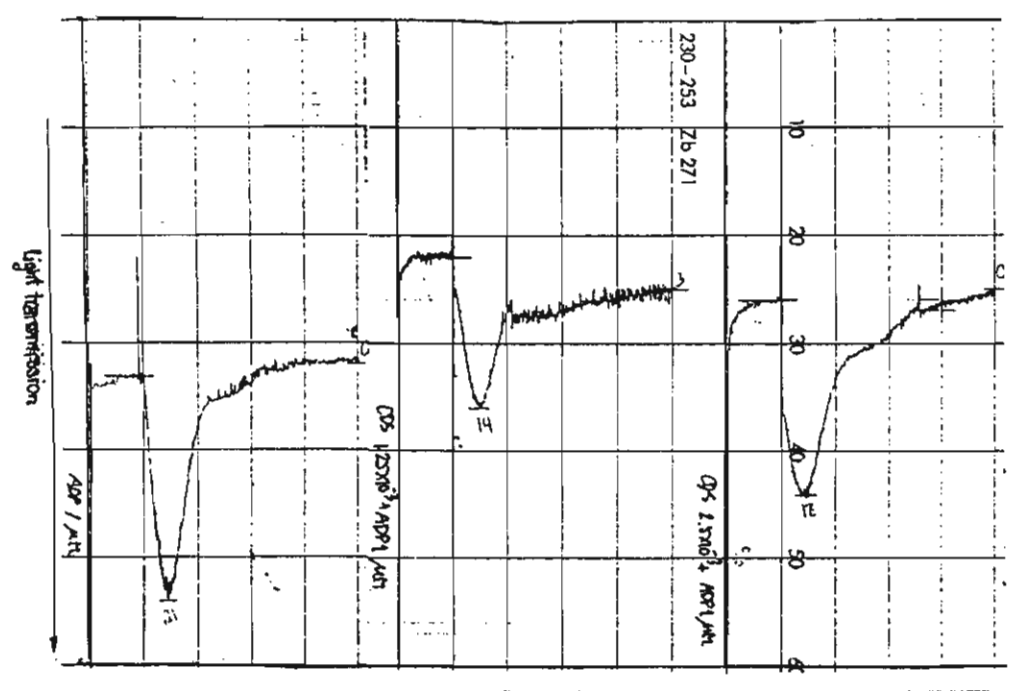
1.3 ตัวอย่าง trace record ของการจับกันของเกร็ดเลือด



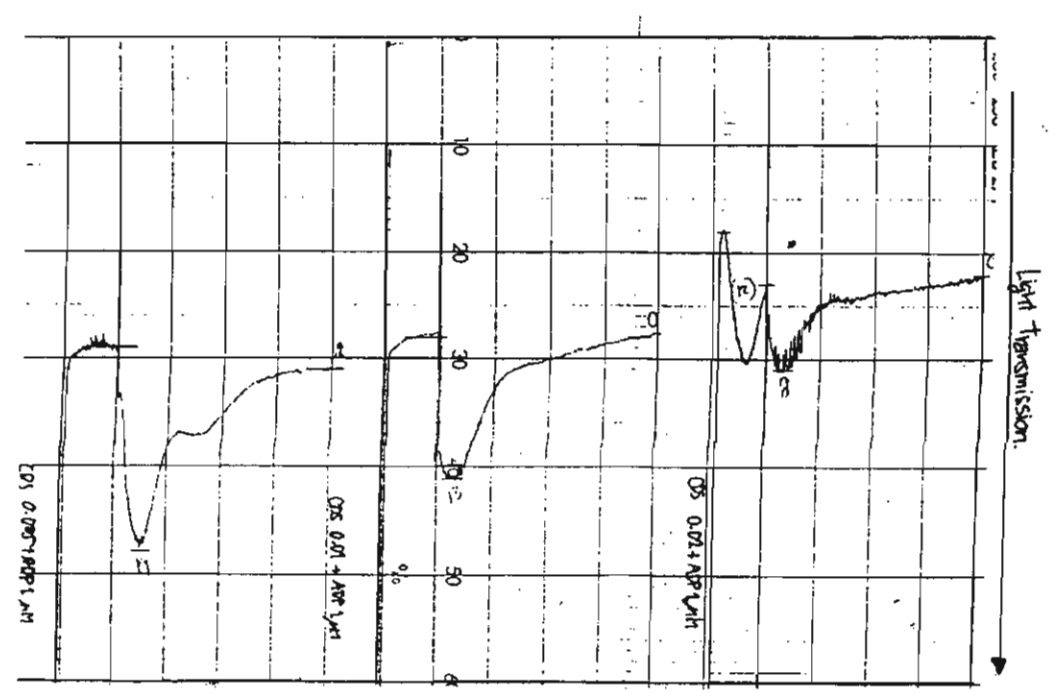
a) Effect of ADP(1μM)-induced b) Effect of clonidine (3x10⁻⁷ M) c) Effect of clonidine (10⁻⁶ M) platelet aggregation.



- d) Effect of agmatine (10⁻⁴ M)
- e) Effect of agmatine (10⁻⁵ M)



a) Effect of 1 μM ADP b) Effect of CDS 1.25x10⁻³ U. c) Effect of CDS 2.5x10⁻³ U.



d) Effect of CDS 0.005 U. e) Effect of CDS 0.01 U f) Effect of CDS 0.02 U.

DEPARTMENT OF PHARMACOLOGY

Faculty of Science Mahidol University Banakok 10400 THAILAND



Tel: (02) 2461378

Telex: 84770 UNIMAHI TH

Fax : (662) 247-7050

Department of Pharmacology, Faculty of Science, Mahidol University Rama 6 Rd., Bangkok 10400, Thailand Tel. +66 2 02 201 5512 Fax +66 2 02 246 1378

August 4th, 2001

The Editorial Office, European Journal of Pharmacology, Universiteitsweg 100, 3584 CG Utrecht, The Netherlands

Manuscript Title The antiaggregatory effects of imidazoline agents on human platelet.

Dear Editor,

We submit here the manuscript of full-length paper of the work on the effects of imidazoline alpha-adrenergic agents on human platelet aggregation induced by noradrenaline and adenosine diphosphate for publication in the European Journal of Pharmacology. The turbidimetric method was used to examine the effects of imidazoline agents and a putative endogenous ligand at imidazoline receptor, clonidine-displacing substance, on platelet aggregation. The possible interaction of imidazoline receptor activation on human platelet and the discrepancy of molecular mechanism of aggregating agents on the effects of imidazoline compounds have been discussed.

All authors comply with the submission to the European Journal of Pharmacology, and this work has not and will not be published in whole or in part in any other journal.

Sincerely yours,

Darramon Porthu

Darawan Pinthong, Ph.D.

Piyanes Rattanachamnong Piyada Songsernsakul

ABSTRACT

Clonidine, an imidazoline alpha2-adrenergic agent, is known to exert complicated effects on human platelet aggregation, unlike catecholamines, the nonimidazoline alpha-adrenergic agents. This study aimed to investigate the aggregatory/antiaggregatory effects of various imidazoline agents on human platelets. Blood samples were taken from normal volunteers and platelet aggregation was assessed by the turbidimetric method using a Chronolog aggregometer. Noradrenaline (4µM) and adenosine diphosphate (4µM) were used as aggregating agents. The results showed that all imidazolines (with or without alpha2-adrenoceptor activity), clonidine, idazoxan, antazoline, tolazoline were able to inhibit noradrenaline-induced platelet aggregation. Compare to the non-imidazoline alpha2adrenergic antagonist, vohimbine, the rank order of potency was idazoxan (IC₅₀ = $4.21 \times 10^{-8} \text{M}$) > yohimbine (IC₅₀ = $3.40 \times 10^{-7} \text{ M}$) >clonidine (IC₅₀ = $4.56 \times 10^{-7} \text{M}$) > antazoline (IC₅₀ = 2.85×10^{-6} M)> tolazoline (IC₅₀ = 1.64×10^{-6} M). Clonidinedisplacing substance (CDS), a putative endogenous ligand at imidazoline receptor, was also found to inhibit noradrenaline-induced platelet aggregation. Unlike noradrenaline, ADP-induced platelet aggregation was not potentiated or inhibited by all imidazoline agents at the concentration below 10⁻⁶M. In conclusion, imidazoline agents effectively inhibit noradrenaline-induced human platelet aggregation. The effect may be mediated by non-adrenoceptor imidazoline binding sites. The results from this study suggested the antiaggregatory role of imidazoline on noradrenalineinduced human platelet aggregation. In addition, CDS may be the endogenous modulator in preventing platelet hyperreactivity to catecholamine stimulation.

Key words: imidazoline compounds, platelet aggregation, imidazoline receptor, clonidine-displacing substance (CDS)

1. Introduction

In human, it is known that adrenaline-induced platelet aggregation is mediated by alpha₂-adrenoceptors (Hsu et al., 1979; Grant and Scrutton, 1979) The response varies widely between catecholamines and other alpha2-adrenergic agents, in particular, clonidine, an imidazoline compound which is known to possess alpha₂adrenergic activity. Clonidine itself induces only small aggregation of human platelet (Hsu et al., 1979). However, it inhibits the actions of noradrenaline and adrenaline on platelets (Stump and Macfarlane, 1983), whereas it is able to potentiate ADPstimulated platelet aggregation at the concentrations that inhibit adrenaline-induced aggregation (Shattil et al., 1981). The mechanism is partly involved the inhibition of adenylate cyclase of alpha₂-adrenergic agonist (Clare et al., 1984). It has been suggested that imidazoline compounds may interact with non-alpha2-adrenoceptor binding sites on human platelets since two imidazoline compounds were found to inhibit platelet adenylate cyclase through non-alpha2-adrenoceptor mechanisms and the effects can not be blocked by alpha₂-adrenoceptor antagonist, vohimbine (Ferry et al., 1986). The existence of non-adrenergic, imidazoline binding sites (I₁ and I₂) receptors) that are pharmacologically distinct from alpha2-adrenoceptors in human platelets have been reported (Piletz et al., 1991; Piletz and Sletten, 1993). Taken together, imidazoline compounds may interact with additional binding site to produce a distinct aggregatory response from that of catecholamines.

Therefore, this study aims to investigate the aggregatory/antiaggregatory effects of imidazoline (with or without alpha₂-adrenergic activity) and non-imidazoline alpha-adrenergic agents on human blood platelets induced by 2 aggregating agents, noradrenaline and ADP. In addition, clonidine-displacing

substance (CDS), a putative endogenous substance at imidazoline receptor, was also examined in this study.

2. Materials and Methods

2.1 Materials

The following drugs were purchased from Sigma: idazoxan hydrochloride, clonidine hydrochloride, adenosine-5'-diphosphate sodium salt from equine muscle, yohimbine hydrochloride, antazoline hydrochloride, (±)-noradrenaline, tolazoline hydrochloride and Sodium citrate.

The property of imidazoline and nonimidazoline α -adrenergic agents examined in this study are as follow:

Imidazoline agents

Clonidine (\alpha_2-adrenergic partial agonist)

Idazoxan (α_2 -adrenergic antagonist)

Antazoline (devoid of α_2 -adrenergic activity)

Tolazoline (α_1 -adrenergic antagonist)

Non-imidazoline agent

Yohimbine (α₂-adrenergic antagonist)

2.2 Blood Sample Collection

Blood samples were taken from normal volunteers. Samples were transferred into siliconized glass tubes containing 3.2% sodium citrate in a ratio of 9:1. The PRP was prepared from the citrated blood by centrifugation (Beckman J-6B) at 120g for 15 minutes and upper clear supernatant was collected as platelet rich plasma (PRP). The remaining lower portion was further centrifuged at 2300g for 15 minutes to

5

obtain the upper clear supernatant as platelet poor plasma (PPP). Both PRP and PPP were used in the studies of platelet function by turbidimetric method.

2.3 Aggregation studies

Platelet aggregation was assessed by the turbidimetric method using a Chronolog aggregometer (Model 550, Chronolog corporation, Haverton PA, USA) with dual channel strip chart recorder. The test PRP sample of 250 μl was added into a siliconized cuvette with a teflon coated stirring magnetic bar inside. The cuvette was then placed in the temperature-controlled chamber of aggregometer equilibrating at 37° C for 2 minutes. Five microliters of agonist or/and antagonist, clonidine, yohimbine, idazoxan, antazoline, tolazoline or CDS was added into PRP and left for an incubation period of 1 min at 37° C. The sample was further equilibrated in order to obtain a steady baseline by stirring at 1000 rpm for 1 min before adding an aggregating agent (ADP or NA). For the experiments of combined effects of α2-adrenoceptor agonist and antagonist, antagonist was added 2 min. before addition of agonist. Finally, 5 μl of ADP or NA was injected into the sample. The aggregatory response was recorded for 4 min for ADP and 5 min for NA. The change of light transmission in the PRP compared to PPP was recorded as percent maximum transmission (%LT).

2.4 Preparation of porcine brain clonidine-displacing substance (CDS)

The method to prepare clonidine-displacing substance (CDS) was previously described by Pinthong et al. (1995a,b) and Pinthong (2000). Briefly, the cerebral

cortex part of porcine brain was cut into pieces and homogenized in 6 volume of distilled water using Polytron homogenizer. The homogenate was centrifuged at 65,000g for 30 min at 4 ° C. The supernatant was boiled for approximately 5 min to precipitate soluble protein and then cool to room temperature. The resulting solution was centrifuged at 65000 g for 30 min at 4 ° C. The resulting supernatant was dried by using Speed Vacuum (Speed Vac^(R) plus SC110A). The dried material was extracted with methanol (HPLC grade) 2x20 volumes (w/v) by sonication for 30 min at room temperature. The methanolic extract were combined and centrifuged at 4,000 rpm. for 5 min. to remove any particulate matter and then evaporated to dryness using rotary evaporator. The dry methanolic extract containing CDS was reconstituted in doubled-distilled water and stored at -20 ° C until required for used. CDS activity of the extract was determined in unit by [3H]-clonidine/porcine cerebral cortex membrane radioligand binding assay (Pinthong, 2000). One unit of CDS is the amount of the extract that produced 50% inhibition of [3H]-clonidine (1 nM) binding to porcine cerebral cortex membranes, or an equivalent to α_2 -adrenoceptor binding site in 1 ml assay.

2.5 Data analysis

All data were expressed as mean \pm SEM of 5-8 experiments. The concentration of the agent causing 50% inhibition of aggregation (IC50) was determined from the concentration-response curve using Kaleidagraph (Synergy Software) on a MacIntosh computer. IC50 values among these agents were compared by analysis of variance followed by a Wilcoxon-Mann-Whitney test. Differences were considered significant at p < 0.05.

3. Results

3.1 Effects of imidazoline agents and non-imidazoline α -adrenergic agents on noradrenaline-induced human platelet aggregation.

Noradrenaline, at the concentrations from 10^{-8} to 10^{-4} M, was examined to induce human platelet aggregation. In this study, 4 μ M noradrenaline was chosen to induce platelet aggregation in the following experiments since it was the minimal concentration that was found to produce aggregatory response without reversible phase.

The present study found that all imidazoline compounds, either previously shown to possess any or no activity at α_2 -adrenoceptor, were able to inhibit aggregatory response induced by noradrenaline (figure 1). The inhibitory concentration (IC₅₀) values are shown in table 1.

The relative rank order of potency (based on IC₅₀) of drugs to inhibit adrenaline-induced aggregation in human platelets was idazoxan > yohimbine > clonidine > antazoline > tolazoline. Idazoxan which is imidazoline α_2 -adrenergic antagonist was approximately 10 fold more potent than non-imidazoline α_2 -adrenergic antagonist, yohimbine. The imidazoline compound like antazoline which devoids of α_2 -adrenergic activity and tolazoline which is α_1 -adrenergic blocker also showed the ability to inhibit noradrenaline-induced platelet aggregation.

3.2 Effects of (imidazoline and non-imidazoline) α_2 -adrenergic antagonists on clonidine inhibited noradrenaline-induced human platelet aggregation.

Clonidine was the only agent used in this study that possessed α_2 -adrenergic activity. The non-imidazoline α_2 -adrenergic antagonist was used to examine whether

the inhibitory response of clonidine on noradrenaline-induced human platelet aggregation is solely due to α_2 -adrenoceptor activation. As shown in figure 2, yohimbine at the concentration $10^{-8} - 10^{-7}$ M cannot reverse the inhibitory effect of clonidine, whereas at the concentration 10^{-6} M, yohimbine inhibited the effect of noradrenaline-induced aggregation. Idazoxan, the imidazoline α_2 -adrenergic antagonist, was compared to yohimbine. Similar results have been shown for idazoxan (figure 3).

3.3 Effects of clonidine-displacing substance (CDS) on noradrenaline-induced human platelet aggregation.

CDS extract itself did not showed any effect on platelet aggregation (data not shown) whereas in the presence of noradrenaline, CDS extract was found to inhibit noradrenaline-induced human platelet aggregation in concentration-dependent manner (figure 4). Although the highest concentration of the extract used in this study was less than 1 unit of CDS activity, 0.75 unit CDS inhibited noradrenaline response up to 82.05±4.38% (n=8). The addition of yohimbine (10⁻⁶ M) cannot reverse the effect of CDS but almost completely inhibit noradrenaline effect on platelet aggregation.

3.4 Effects of imidazoline agents and non-imidazoline α -adrenergic agents on ADP-induced human platelet aggregation.

ADP (4 μ M) is used to induce human platelet aggregation in this study. As shown in figure 5, all agents did not show any potentiation or inhibitory effects on ADP-induced platelet aggregation at the concentration below 10^{-6} M. Although

clonidine is previously known to stimulate ADP-induced human platelet aggregation at the concentration that inhibited adrenaline-induced, in this study clonidine showed significant stimulatory effect at as high concentration as 10⁻⁵ M.

Other imidazoline compounds showed small inhibitory effects (within 20%) on ADP-induced platelet aggregation at high concentration (10⁻⁵–10⁻⁴ M).

3.5 Effects of (imidazoline and non-imidazoline) α_2 -adrenergic antagonists on clonidine potentiated ADP-induced human platelet aggregation.

In this study, clonidine did not display significant potentiated effect on ADP-induced platelet aggregation at low concentration. The potentiation effect of clonidine is significant at the concentration of 10⁻⁵ M. However, idazoxan and yohimbine can reverse this potentiation effect of clonidine, as shown in figure 6 and 7, respectively.

4. Discussion

This study has examined the effects of imidazoline agents on human platelet aggregation. The 2 important platelet aggregating agents, noradrenaline and ADP were used. Adrenaline/noradrenaline, in certain condition, can be considered an aggregating agent, however, the aggregatory response induced by adrenaline differed from that induced by other platelet agonists (Steen et al., 1993; Lanza et al., 1988). Adrenaline fails to aggregate platelets from a number of human donors and most mammalian species (Kerry et al., 1984). The high prevalence of impaired platelet responsiveness to adrenaline/noradrenaline in normal human individuals has been observed in several investigations (Kambayashi et al., 1996; Nakamura et al., 1997). The observed response to adrenaline seems to depend on the number of stimulatory α-receptors present as well as the ratio of these receptors to the inhibitory βadrenoceptors also present on platelets. The discrepancy of platelet response between positive-and negative-responders to adrenaline was found to be associated with the decrease in number of α_2 -adrenoceptors and relative densities of α_2 -and β_2 adrenergic receptors, which depends on each individual and vary from species to species. (Kambayashi et al., 1996). In the present study, approximately 50% of blood donors are negative-responders.

In human, it is known that adrenaline-induced platelet aggregation is mediated by α_2 -adrenoceptor stimulation since it is antagonized by α_2 -adrenoceptor antagonists, such as, yohimbine, phentolamine, idazoxan, but not by α_1 -adrenoceptor antagonists, phenoxybenzamine and prazosin (Hsu et al., 1979; Grant and Scrutton, 1979; Lasch and Jakobs, 1979). In addition, binding studies with radiolabeled adrenoceptor agonists and antagonists have demonstrated the existence of α_2 -

adrenoceptors on human platelet membranes (Motulsky et al., 1980; Shattil et al., 1981; Lanza and Cazenave, 1985). However, antazoline, an imidazoline compound, which is devoid of α_2 -adrenoceptor activity, was also found to inhibit adrenaline-induced platelet aggregation. This study suggested that the compound interacts with non- α_2 -adrenoceptor sites on platelets. Moreover, clonidine, a partial agonist at α_2 -adrenoceptors, by itself is known to be ineffective in inducing aggregation of human platelets but it can inhibit the adrenaline-induced aggregation. This study revealed that α_2 -adrenoceptor antagonists (yohimbine, idazoxan) were not able to reverse the effect of clonidine on adrenaline-induced platelet aggregation completely.

The results from this study implicated that non-adrenoceptor imidazoline binding sites may play a role in platelet aggregation. Whether this site is imidazoline receptor, the selective antagonist that can distinct between α_2 -adrenoceptor and imidazoline receptor will be useful to clarify this site. If this is the case, the site is likely to be I-1 since clonidine (I-1 agonist) displayed higher potency than tolazoline, which is more selective to I-2 than I-1 site. The existence of imidazoline receptors on platelets aids the explanation of certain atypical properties of clonidine which differed from (non-imidazoline) α_2 -adrenoceptors mediated platelet aggregation (Piletz and Sletten, 1993).

The mechanism by which imidazoline receptor interacted with α_2 adrenoceptor when imidazoline compounds stimulate human platelet remains to be
clarified. The general sequence of events that occurs following exposure to an
aggregating agent is shape change, appearance of fibrinogen receptors, aggregation
and release of dense granules (resulting in enhance activation due to released ADP)
and α -granules (resulting in enhanced stabilization of the fibrinogen bridges between

platelets and irreversible aggregation). The platelet \alpha-receptors has been characterized pharmacologically as an α_2 -receptor, which is in keeping with its access to blood-borne catecholamines and its inhibitory coupling to adenylate cyclase, although the increase in cyclic AMP alone may not be the only cause of aggregation (Cusack and Hourani, 1982). Stimulatory agonists in general act via the phospholipaseC pathway to generate the second messenger Ca²⁺ and DAG, whereas inhibitory agonists act via stimulation of adenylate cyclase to generate the second messenger cyclic AMP. Increase in cyclic AMP level inhibits and reverses the increases in cytoplasmic Ca²⁺ caused by aggregating agents (Feinstein et al., 1983). However, no direct evidence for imidazoline receptor activation involved cyclic AMP signaling pathway, i.e. in human platelets, two imidazoline compounds (KUM32 and CBS1276) have been reported to inhibit platelet adenylate cyclase through non-α₂-adrenoceptor mechanisms, because their effects were not blocked by the α₂-adrenoceptor antagonist, vohimbine (Ferry et al., 1986). The works done on imidazoline receptor signal transduction were rather controversial, i.e. in chromaffin cells activated by I-1 imidazoline agonists, no effect on the accumulation of cAMP, cGMP or inositol phosphate were found in the studies of signaling mechanisms (Regunathan et al., 1991). In contrast, some studies showed that binding to I-1 imidazoline sites is sensitive to guanine but not to adenine nucleotides, implying coupling to a G-protein but not a known G-proteins (such as Gi, Gs and Gg). This has been described in various tissues and cell lines, including human platelets (Piletz and Sletten, 1993; Ernsberger et al., 1995). I-1 imidazoline receptors are coupled to phospholipid signaling pathways which results in the generation of diglycerides and release of arachidonic acid and its metabolites (Ernsberger et al., 1995). The

interaction of signaling pathway between imidazoline agents and catecholamines remains to be clarified.

Imidazoline agents inhibited effectively the full platelet aggregation induced by adrenaline, but less effective to modify the effect of ADP-induced aggregation. Surprisingly, in this study clonidine does not show significant potentiated effect on ADP-induced aggregation at the concentration below one micromolar and potentiated effect at higher concentration is not substantial which is different from previous work done by Shattil et al. (1981). However, ADP initiates aggregation by simultaneous activation of 3 receptors, P2Y1, coupled to Gq, madiates ADP-induced shape change, phospholipase C activation and calcium flux (Jin et al., 1998), P2Y12 that signals through Gi and inhibits adenylyl cyclase activity (Jin and Kunapuli, 1998) and P2X1 receptor, which mediates rapid Ca²⁺ influx (Vial et al., 1997). It is known that ADP does cause increases in intracellular Ca²⁺, although this seems to be influx rather than from internal stores. ADP-induced Ca²⁺ influx, unlike that induced by other agonist, appears to be due to activation of receptor-operated Ca²⁺ channels rather than to any second-messenger system (Sage and Rink, 1987). Imidazoline agents may have less influenced effect on these pathways.

Clonidine-displacing substance (CDS), a putative endogenous substance at imidazoline receptor, was found to inhibit noradrenaline-induced platelet aggregation, like imidazoline agents. Although the amount of CDS extract examined in this study was rather low, 0.75 unit CDS displayed an inhibitory effect on noradrenaline-induced platelet aggregation to more than 80%. The result from this study is consistent with that of Diamant et al. (1987) using HPLC purified CDS.

However, in the present study showed that the effect of CDS is not likely to be due to α_2 -adrenoceptor activation since it is not reversed by yohimbine.

The fact that spontaneous platelet aggregation in conventional experiments without addition of any inducing substance can be observed in patients with cardiovascular and cerebrovascular diseases (Hoogendijk et al., 1979). The existence of CDS in human serum has been found (Synetos et al., 1991). An appearance of CDS in physiological system may possess regulatory role to inhibit noradrenaline-induced platelet aggregation and prevent vascular occlusions.

The concentration of adrenaline/noradrenaline needed to induce platelet aggregation in vitro is in the micromolar range, considerably higher than the highest concentrations ever likely to be found in the circulation which is in nanomolar range. This suggests that aggregation induced by adrenaline is unlikely to have any significant in vivo, especially because it only occurs at reduced extracellular Ca²⁺ concentrations (Glusa and Markwardt, 1980). Although the proaggregatory response to adrenaline/noradrenaline occurs at concentration unlikely to be reached in vivo, the synergistic effect of other proaggregatory agonists, such as 5-HT and vasopressin, bring the requirement of adrenaline/noradrenaline concentration within a plausible range and probably reflects the situation in blood more accurately. This synergistic effect implied that circulating adrenaline/noradrenaline showed a role in sensitizing platelets (Culliver and Ardlie, 1981).

In conclusion, imidazoline compounds displayed the inhibitory effect on platelet aggregation which is more sensitive to noradrenaline than ADP stimulation.

This study suggested that imidazoline compounds have a therapeutic role in

preventing platelet hyperreactivity induced by catecholamines. In addition, CDS may be the endogenous modulator to prevent this condition.

5. Acknowledgements

This study was supported by a research grant from Thai Research Fund.

6. References

Clare, K.A., Scrutton, M.C., Thompson, N.T., 1984. Effect of alpha-2-adrenoceptor agonists and of related compounds on aggregation of, and on adenylate cyclase activity in human platelets. Br. J. Pharmacol. 82, 467-476.

Culliver, H.A., Ardlie, N.G., 1981. Human platelet aggregation in response to multiple agonists in plasma anticoaggulated with heparin. Thromb. Haemost. 46, 205.

Cusack, N., Hourani, S.M.O., 1982. Differential inhibition by adenosine or by prostaglandinE1 of human platelet aggregation induced by adenosine 5'-O-(1-thiodiphosphate) and adenosine 5'-O-(2-thiodiphosphate). Br. J. Pharmacol. 75, 257-259.

Diamant, S., Eldor, A., Atlas, D.A., 1987. A low molecular weight brain substance interacts, similarly to clonidine, with α_2 -adrenoceptors of human platelets. Eur J Pharmacol. 144, 247-255.

Ernsberger, P., Graves, M.E., Graft, L.M., 1995. I₁-Imidazoline receptors: Definition, characterization, distribution and transmembrane signaling. Ann NY Acad Sci. 763, 22-42.

Feinstein, M.B., Egan, J.J., Sha'afri, R.I., White, J., 1983. The cytoplasmic concentration of free calcium in platelets is controlled by stimulators of cyclic production (PGD₂, PGE₁, Forskolin). Biochem. Biophys. Res. Commun. 113, 598-604.

Ferry, N., Henry, D., Battais, E., Mary, A., Bonne, C., Hanoune, J., 1986. Critical assessment of the platelet adenylate cyclase system as a potential model for testing alpha₂-adrenergic activity. Biochem. Pharmacol. 35, 1511-1516.

Glusa, E., Markwardt, F., 1980. Adrenaline-induced reactions of human platelets in hirudin plasma. Haemostasis 9, 188-192.

Grant, J.A., Scrutton, M.C., 1979. Novel α₂-adrenoceptors primarily responsible for inducing human platelet aggregation. Nature 277, 659-661.

Hoogendijk, E.M.G., Jenkins, C.S.P., Van Wijk, E.M., Jos, J., Ten Cate, J.W.,1979.

Spontaneous platelet agrregation in cerebrovascular disease. Thromb Haemost. 41, 512-522.

Hourani, S. M. O. and Hall, D.A., 1994. Trends in Pharmacol. Sci., 15, 103-108.

Hsu, C.Y., Knapp, D.R., Halushka, P.Y., 1979. The effects of alpha-adrenergic agents on human platelet aggregation. J. Pharmacol. Exp. Ther. 208, 366-370.

Jin, J., Daniel, J.L., Kunapuli, S.P., 1998. Molecular basis for ADP-induced platelet aggregation. II. The P2Y1 receptor mediates ADP-induced intracellular calcium mobilization and shape change in platelets. J. Biol. Chem. 273, 2030-2034.

Piletz, J.E., Andorn, A.C., Unnerstall, J.R., Halaris, A., 1991. Binding of [³H]-p-aminoclonidine to α₂-adrenoceptor states plus a non-adrenergic site on human platelet plasma membranes. Biochem. Pharmacol. 42, 569-584.

Piletz, J.E., Sletten, K., 1993. Non-adrenergic imidazoline binding sites on human platelets. J. Pharmacol. Exp. Ther. 267, 1493-1502.

Pinthong, D., Hussain, J.F., Kendall, D.A., Wilson, V.G., 1995a. Comparison of the interaction of agmatine and crude methanolic extracts of bovine lung and brain with α₂-adrenoceptor binding sites. British J. Pharmacol. 115, 689-695.

Pinthong, D., Wright, I.K., Hanmer, C., Millns, P., Mason, R., Kendall, D.A., Wilson, V.G., 1995b. Agmatine recognizes α₂-adrenoceptor binding sites but neither activates nor inhibits α₂-adrenoceptors. Naunyn-Schmiedeberg's Arch. Pharmacol. 351, 10-16.

Pinthong, D., 2000. No evidence for the actions of clonidine-displacing substance at α_2 -adrenoceptor. Thai. J. Pharmacol., 23, 207-218.

Regunathan, S., Evinger, M.J., Meeley, M.P., Reis, D.J., 1991. Effects of clonidine and other imidazole-receptor binding agents on second messenger systems and calcium influx in bovine adrenal chromaffin cells. Biochem Pharmacol. 42, 2011-2018.

Sage, S.O., Rink, T.J., 1987. The kinetics of changes in intracellular calcium concentration in fura-2 loaded human platelets. J. Biol. Chem. 262, 16364-16369.

Shattil, S.J., McDonough, M., Turnbull, J., Insel, P.A., 1981. Characterization of α-adrenergic receptors in human platelets using [³H]-clonidine. Mol Pharmacol 19, 179-183.

Steen, V.M., Holmsen, H., Aarbakke, G., 1993. The platelet-stimulating effect of adrenaline through α₂-adrenergic receptors requires simultaneous activation by a true stimulatory p;atelet agonist. Evidence that adrenaline per se does not induce human platelet activation in vitro. Thromb. Haemost. 70, 506-513.

Stump DC, Macfarlane DE., 1983. Clonidine and papra-aminoclonidine, patiral agonists for the α_2 -adrenergic receptor on intact human blood platelets. J Lab Clin Med. 102, 779-787.

Synetos, D., Manolopoulous, V.G., Atlas, D., Synetos, E.P., 1991. Human plasmaderived material with clonidine displacing substance (CDS)-like properties contracts the isolated rat aorta. J. Auton. Pharmacol. 11, 343-351.

Vial, C., Hechler, B., Leon, C., Cazenave, J,-P., Gachet, C., 1997. Presence of P2X1 purinoceptors in human platelets and megakaryoblastic cell lines. Thromb. Haemost. 78, 1500-1504.

7. Legends

Table 1 Potencies of imidazoline agents and non-imidazoline α -adrenergic agent in inhibiting human platelet aggregation induced by noradrenaline (4 μ M). Each value indicated the IC₅₀ of the mean from 5 experiments.

Figure 1 Concentration-effect curves of imidazoline and non-imidazoline α -adrenergic agents on noradrenaline (4 μ M) induced human platelet aggregation. Each agent was added 2 minutes before addition of noradrenaline. Normal saline (NSS) was added as control (noradrenaline alone-induced aggregation = 100%). The effects shown were percents of control measured at 5 minutes after stimulation by noradrenaline. Values shown are mean \pm SEM of 5 experiments.

Figure 2 The effects of $(10^{-8}-10^{-6} \text{ M})$ yohimbine, a non-imidazoline α_2 -adrenoceptor antagonist, on clonidine inhibited noradrenaline $(4 \mu\text{M})$ -induced human platelet aggregation. Antagonist was added 2 minutes before addition of clonidine and 4 minutes before noradrenaline. The effects shown were percents of control measured at 5 minutes after stimulation by noradrenaline. Values shown are mean \pm SEM of 5 experiments.

Figure 3 The effects of $(10^{-8}\text{-}10^{-6}\text{ M})$ idazoxan, an imidazoline α_2 -adrenoceptor antagonist, on clonidine inhibited noradrenaline (4 μ M)-induced human platelet aggregation. Antagonist was added 2 minutes before addition of clonidine and 4 minutes before noradrenaline. The effects shown were percents of control measured at 5 minutes after stimulation by noradrenaline. Values shown are mean \pm SEM of 5 experiments.

Figure 4 The effects clonidine-displacing substance (CDS) extract on noradrenaline (4 μ M)-induced human platelet aggregation. Normal saline (NSS) was added as control (noradrenaline alone-induced aggregation = 100%). The effects shown were percents of control measured at 5 minutes after stimulation by noradrenaline in the absence (cross bar) and the presence of yohimbine (dark bar). Values shown are mean \pm SEM of 5-8 experiments.

- * represents significant difference from noradrenaline-induced human platelet aggregation at p <0.05.
- ** represents significant difference from noradrenaline-induced human platelet aggregation in the absence of vohimbine at p <0.05.

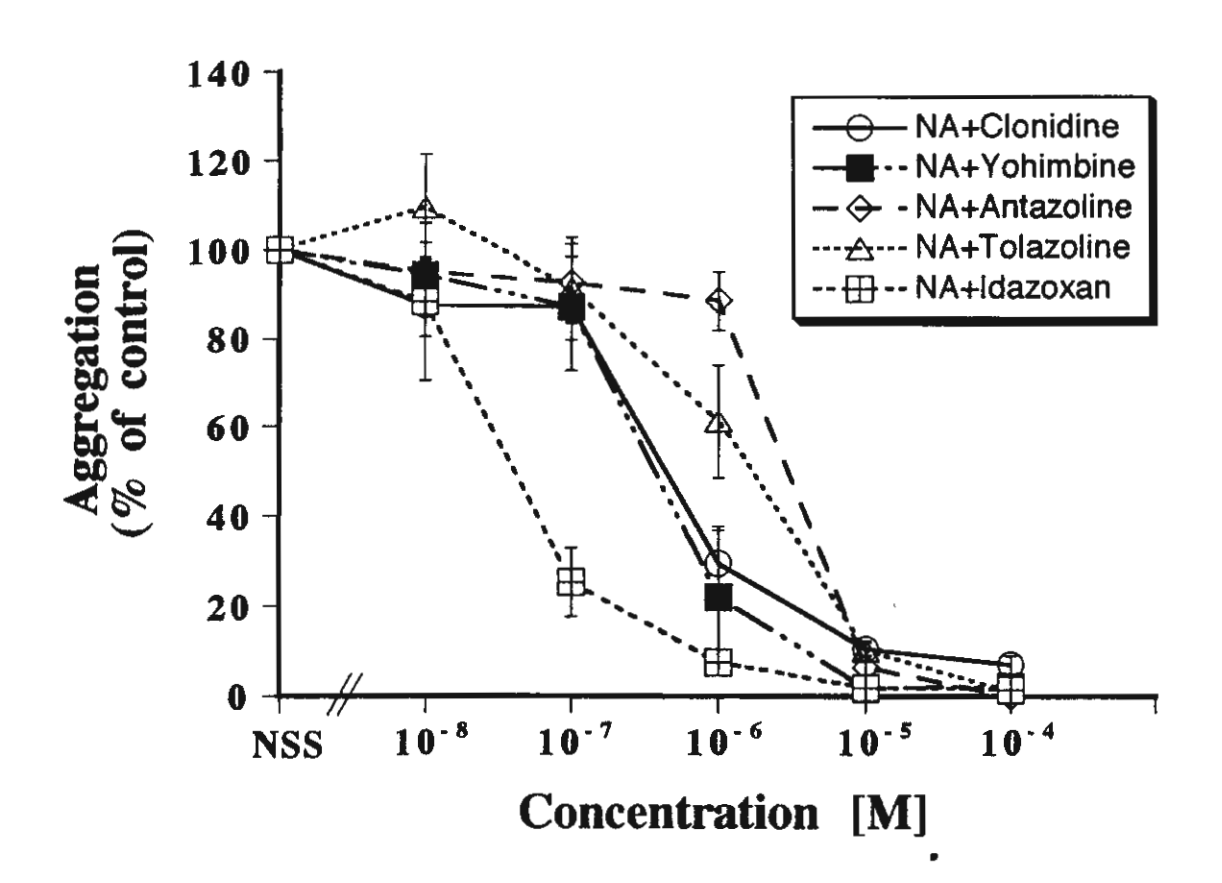
Figure 5 Concentration-effect curves of imidazoline and non-imidazoline α -adrenergic agents on ADP (4 μ M) induced human platelet aggregation. Each agent was added 2 minutes before addition of ADP. Normal saline (NSS) was added as control (ADP alone-induced aggregation = 100%). The effects shown were percents of control measured at 4 minutes after stimulation by ADP. Values shown are mean \pm SEM of 5 experiments.

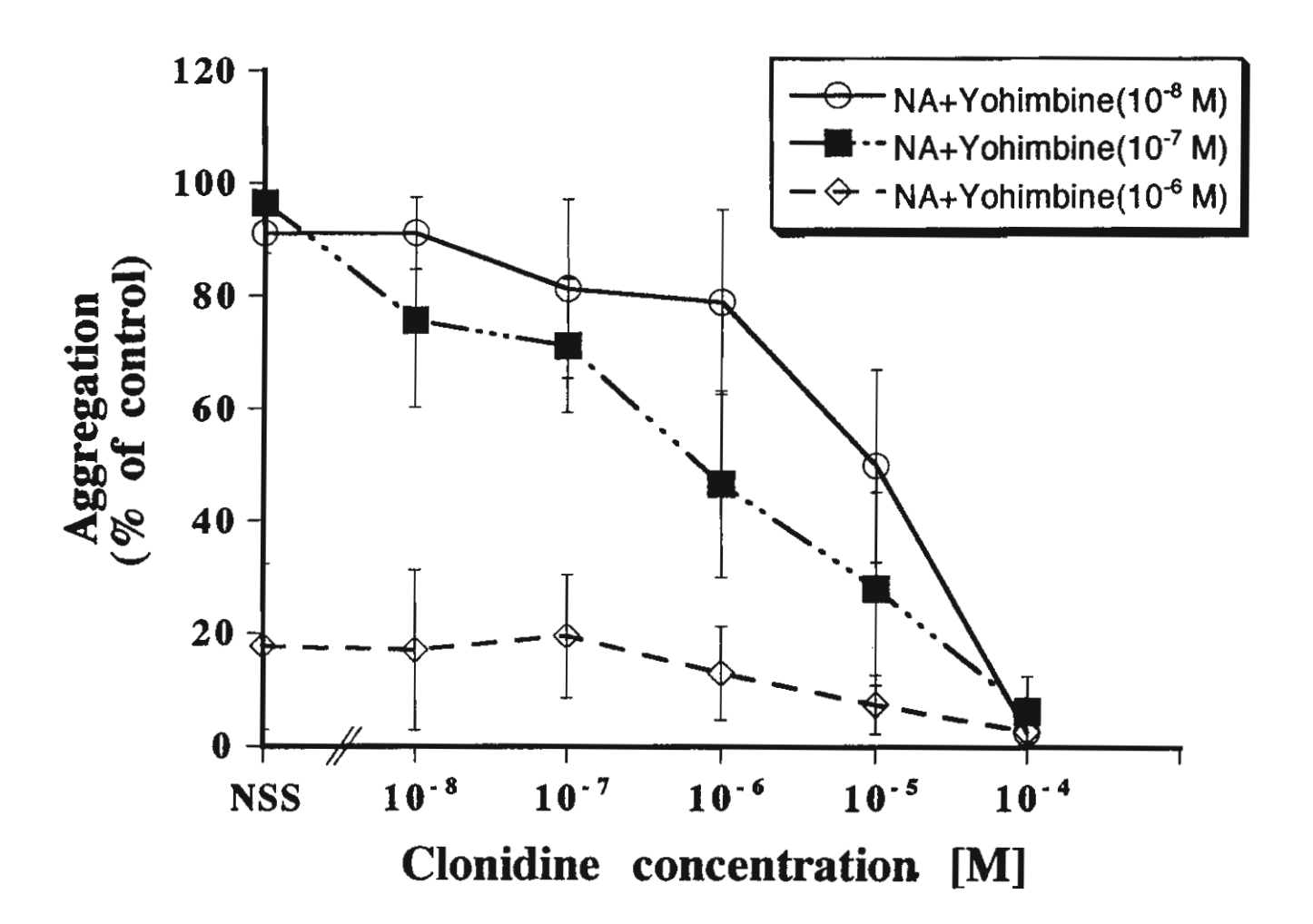
* represents significant difference from ADP-induced human platelet aggregation at p <0.05.

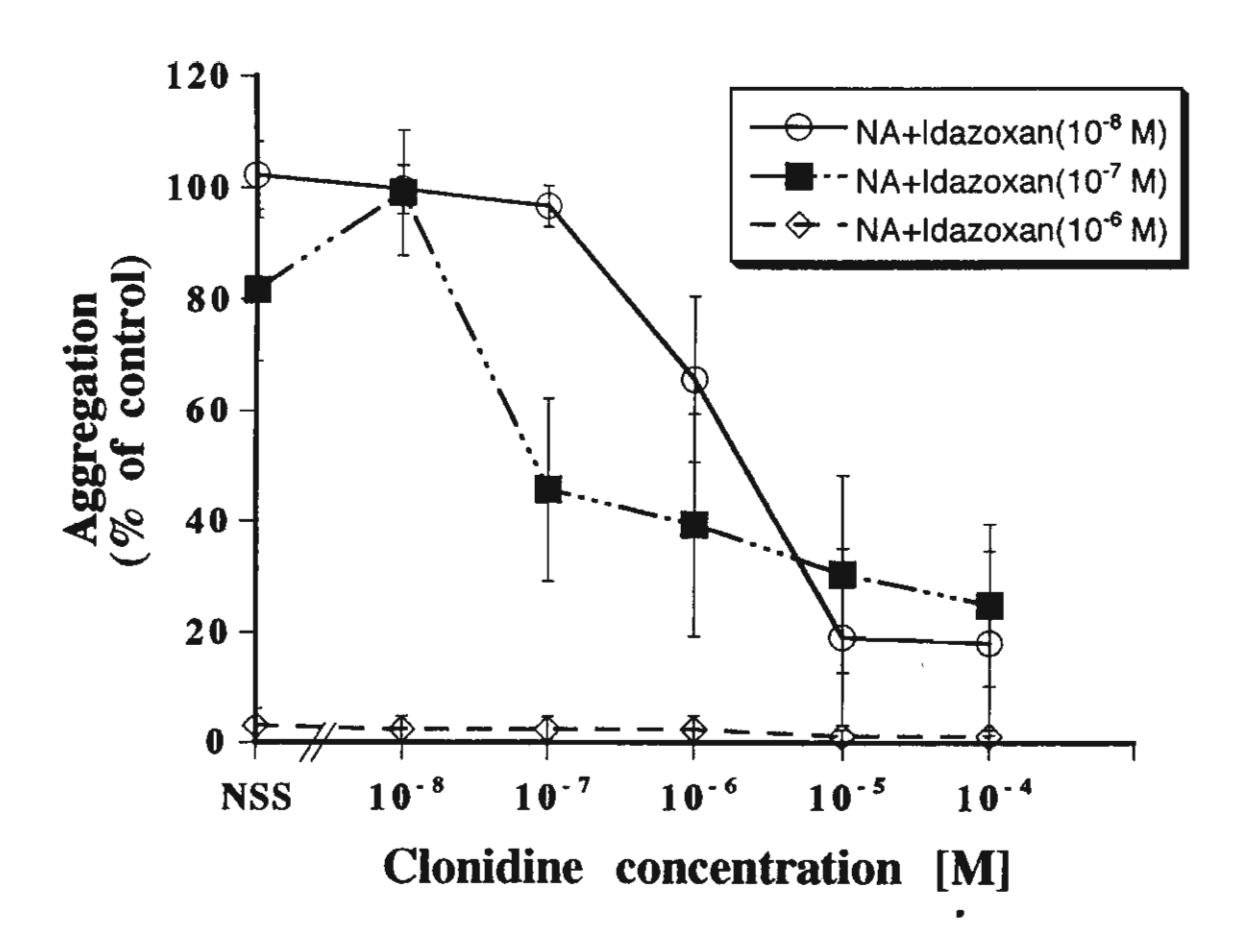
Figure 6 The effects of $(10^{-8}\text{-}10^{-6}\text{ M})$ idazoxan, an imidazoline α_2 -adrenoceptor antagonist, on clonidine potentiated ADP (4 μ M)-induced human platelet aggregation. Antagonist was added 2 minutes before addition of clonidine and 4 minutes before ADP. The effects shown were percents of control measured at 4 minutes after stimulation by ADP. Values shown are mean \pm SEM of 5 experiments.

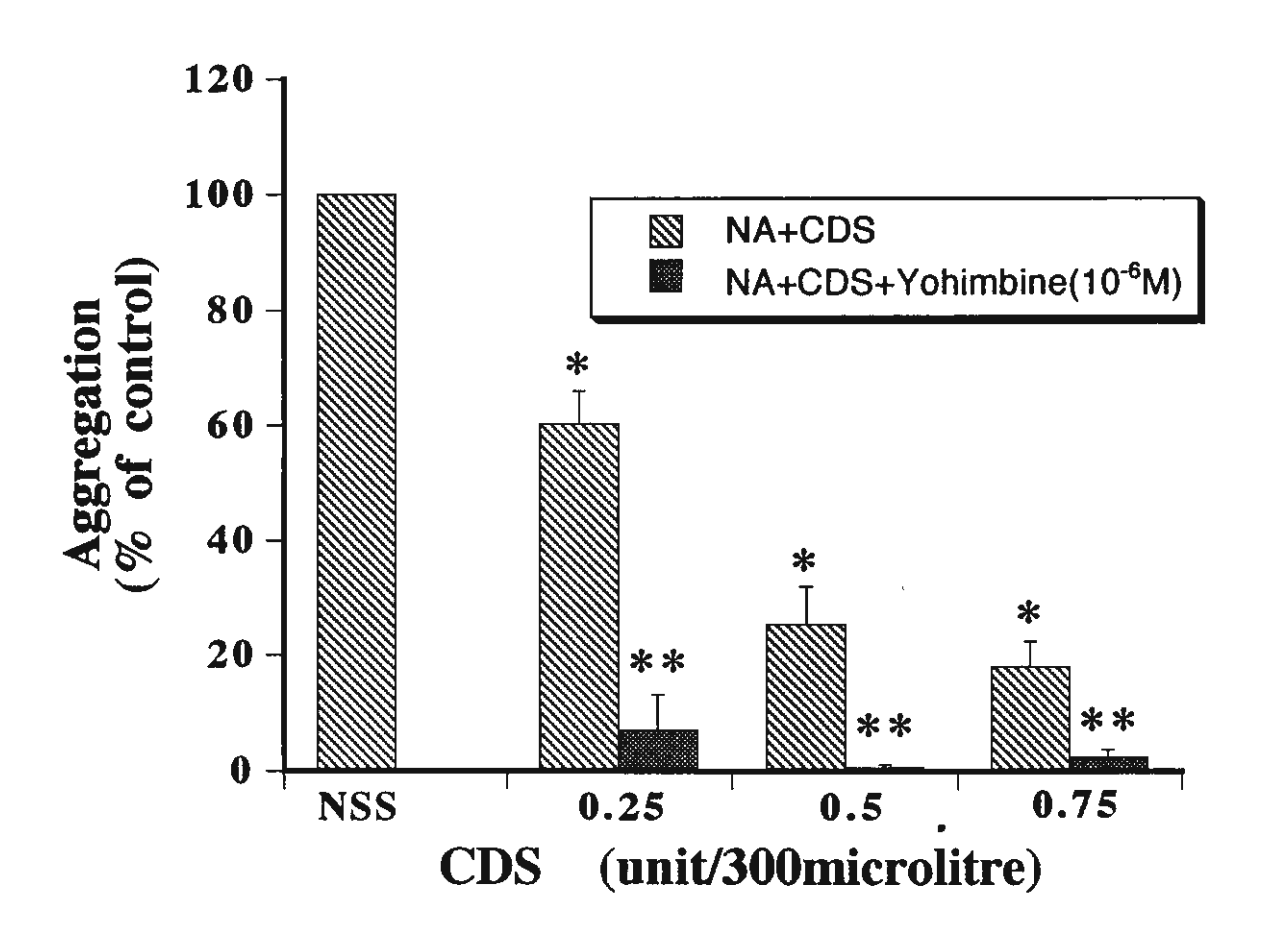
Figure 7 The effects of $(10^{-8}-10^{-6} \text{ M})$ yohimbine, a non-imidazoline α_2 -adrenoceptor antagonist, on clonidine potentiated ADP (4 μ M)-induced human platelet aggregation. Antagonist was added 2 minutes before addition of clonidine and 4 minutes before ADP. The effects shown were percents of control measured at 4 minutes after stimulation by ADP. Values shown are mean \pm SEM of 5 experiments.

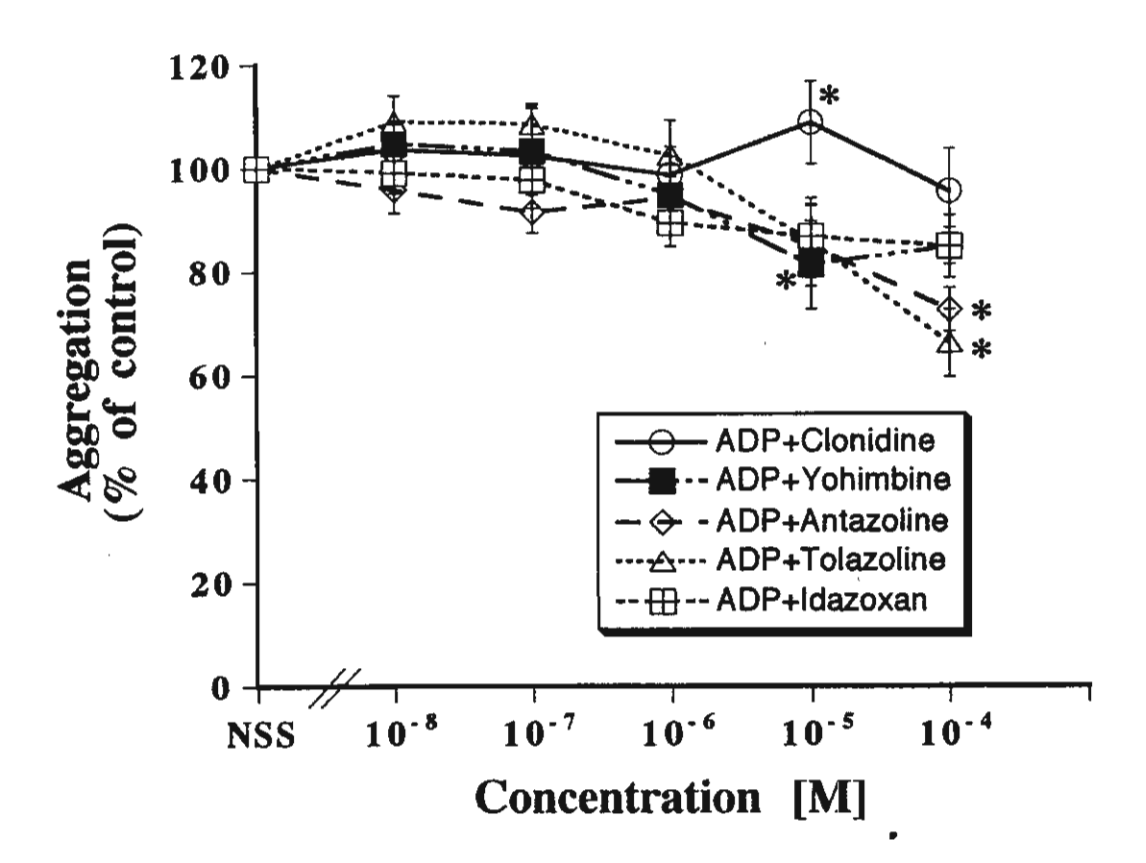
	Drug	IC ₅₀ [x10 ⁻⁷ M]
Imidazoline agents	Clonidine	4.56 (± 0.53)
	Idazoxan	0.42 (± 0.07)
	Antazoline	28.50 (± 5.59)
	Tolazoline	16.40 (± 2.83)
Non-imidazoline agent	Yohimbine	3.40 (± 0.48)

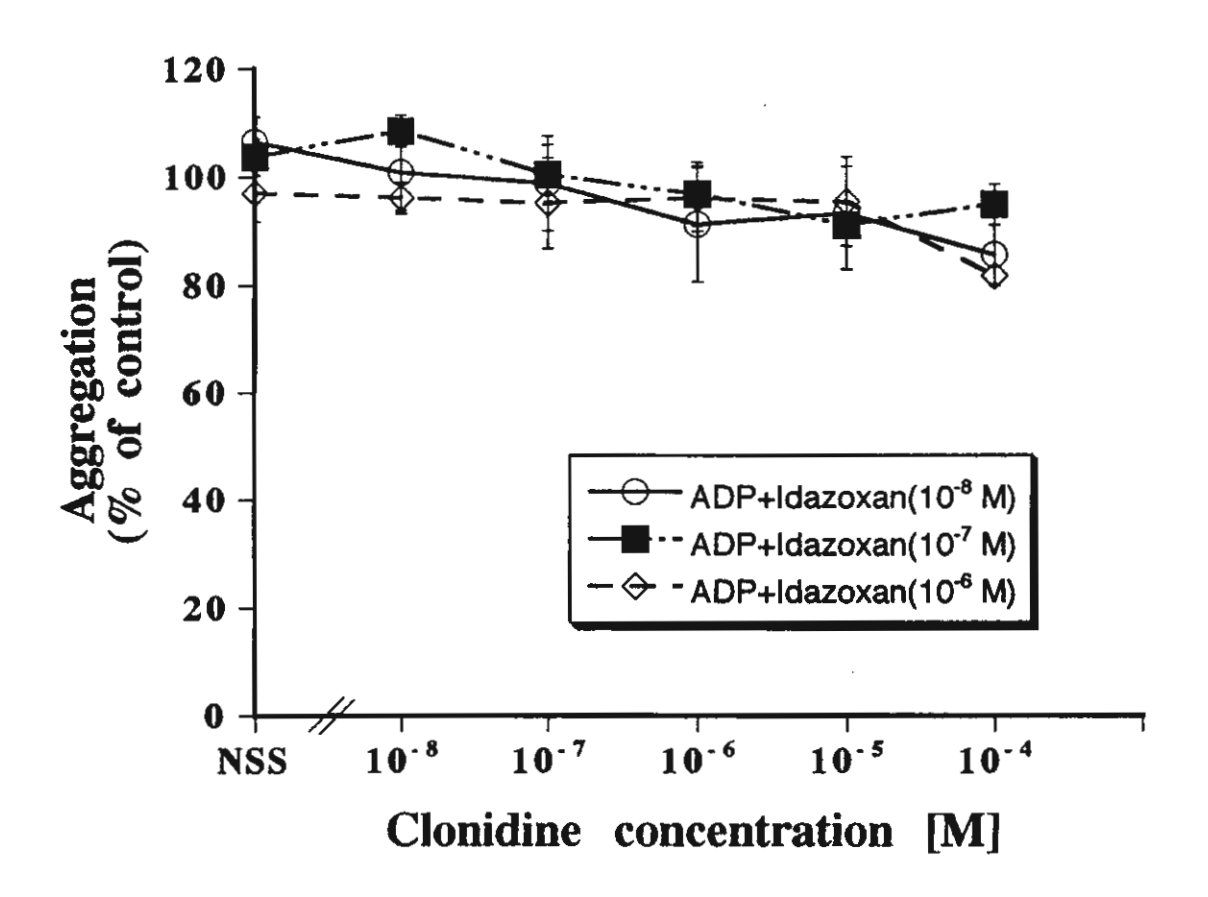


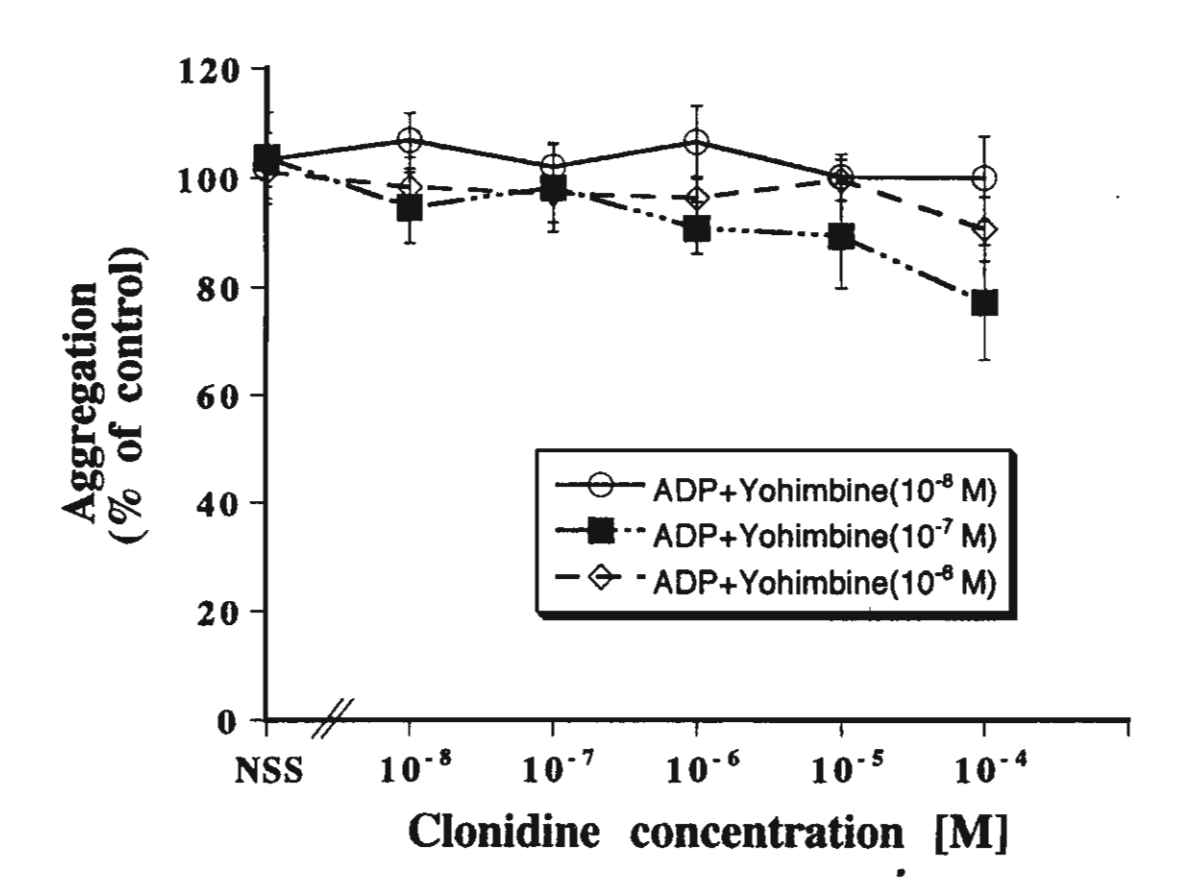














Thai Journal of Pharmacology

Official Publication of Pharmacological and Therapeutic Society of Thailand

Contents

RESEARCH ARTICLE

No evidence for the actions of 'clonidine-displacing substance' at alpha 2- adrenoceptors

D Pinthong

RESEARCH ARTICLES

NO EVIDENCE FOR THE ACTIONS OF 'CLONIDINE-DISPLACING SUBSTANCE' ON ALPHA2-ADRENOCEPTORS

Darawan Pinthong

Department of Pharmacology, Faculty of Science, Mahidol University, Bangkok 10400, Thailand.

ABSTRACT

It has been suggested that 'clonidine-displacing substance' (CDS) is a putative endogenous substance at imidazoline receptor. CDS was found to recognize not only the imidazoline binding sites but also α₂-adrenoceptors. However, the information of the functional activities of CDS at the α₂adrenoceptor is still limited. The aim of this study was to examine the properties and functions of CDS, in particular, the actions at α₂-adrenoceptors. In the present study, the methanolic CDS extracts were prepared from bovine brain. CDS activity was determined by the amount of the extract that displaced 50% of [3H]-clonidine binding to bovine cerebral cortex membranes. CDS activity from bovine brain methanolic extract was 4.8±0.5 units/g wet weight. Based on radioligand binding assays, this extract recognized both α_2 -adrenoceptors on bovine cerebral cortex membranes labeled by [3H]clonidine and non-adrenoceptor imidazoline binding sites on porcine renal cortex membranes labeled by [3 H]-idazoxan. The CDS extract was found to be slightly more potent (2 folds) at α_{2} -adrenoceptors than at non-adrenoceptor imidazoline binding sites. Functional studies of CDS were examined in the models of α2-adrenoceptor-mediated inhibition of forskolin-stimulated cAMP accumulation in guineapig cerebral cortex slices and in porcine isolated palmar lateral vein. The effects were compared to those of the known α2-adrenoceptor agonists, UK14304 and antagonized by the α2-adrenoceptor antagonist, idazoxan. The results from this study showed that bovine brain methanolic CDS extract did not display any activity involving α2-adrenoceptors as predicted from radioligand binding. In conclusion, CDS is able to displace clonidine from α_2 -adrenoceptors but no related biological activity was detected at this sites. Whether the possibility that CDS is an endogenous ligand at α_2 adrenoceptors and at non-adrenoceptor imidazoline binding sites and possesses any significant activities at these sites remain to be clarified.

Key words: clonidine-displacing substance (CDS), alpha2-adrenoceptor, imidazoline receptor

Clonidine-displacing substance ไม่มีผลต่อ alpha2- adrenoceptor

ดาราวรรณ ปิ่นทอง

ภาควิชาเภสัชวิทยา คณะวิทยาศาสตร์ มหาวิทยาลัยมหิดล

บทคัดย่อ

Clonidine-displacing substance (CDS) เป็นสารที่สังเคราะห์ขึ้นในร่างกายสามารถจับ กับตัวรับ imidazoline และ α_z -adrenoceptor เนื่องจากข้อมูลการศึกษาเกี่ยวกับผลของ CDS ต่อ ตัวรับ α₂ -adrenoceptor ยังมีจำกัด งานวิจัยครั้งนี้จึงมีวัตถุประสงค์เพื่อตรวจสอบคุณสมบัติและ หน้าที่ของ CDS ต่อตัวรับ $lpha_2$ -adrenoceptor ในการศึกษาครั้งนี้ใช้สารสกัด CDS จากสมองวัว ด้วย methanol ฤทธิ์ของ CDS วัดโดยปริมาณของสารสกัดที่แทนที่การจับของ [3H1-clonidine กับเนื้อเยื่อของสมองวัวส่วน cortex ได้ 50% มีค่าเท่ากับ 4.8±0.5 หน่วยต่อกรัม ผลจากการ ศึกษาการจับของสารสกัดกับตัวรับ α₂-adrenoceptor ของเนื้อเยื่อสมองวัวส่วน cortex ที่ถูกจับ ด้วย [³H]-clonidine และการจับของสารสกัดกับตัวรับ non-adrenoceptor imidazoline ของ เนื้อเยื่อ renal cortex ของหมูที่ถูกจับด้วย [³H]-idazoxan ด้วยวิธี radioligand binding assay พบว่าสารสกัด CDS สามารถจับกับตัวรับ α_2 -adrenoceptor ได้มากกว่าตัวรับ non-adrenoceptor imidazoline 2 เท่า ศึกษาการทำงานของสารสกัด CDS โดยรูปแบบของการยับยั้งการสะสมของ cAMP ที่ถูกกระตุ้นด้วย forskolin ใน cerebral cortex slices ของหนูตะเภาและ isolated palmar lateral vein ของหมูที่มีกลไกผ่าน $lpha_2$ -adrenoceptor เปรียบเทียบผลที่เกิดขึ้นกับ UK14304 ซึ่ง เป็น agonist ของตัวรับ α_2 -adrenoceptor และ idazoxan ซึ่งเป็น antagonist ของตัวรับ α_2 adrenoceptor, จากผลการทดลองแสดงให้เห็นว่าสารสกัด CDS จากสมองวัวด้วย methanol ไม่มี ฤทธิ์ผ่าน α_2 -adrenoceptor โดยสรุปแล้วพบว่า CDS สามารถแทนที่ clonidine จากตัวรับ α_2 adrenoceptor แต่ไม่แสดงฤทธิ์ทางชีววิทยาใด ๆ การศึกษาต่อไปจำเป็นต้องตรวจสอบความเป็นไป ได้ของการเป็น endogenous ligand ของ CDS ที่ตัวรับ α_2 -adrenoceptor และ non-adrenoceptor imidazoline ตลอดจนถทธิ์ของ CDS ต่อตัวรับดังกล่าว

คำสำคัญ: clonidine-displacing substance (CDS), alpha2-adrenoceptor, imidazoline receptor

INTRODUCTION

"Clonidine-displacing substance" (CDS) was first isolated from rat and calf brains by Atlas and Burstein^{1,2} and it was suggested to be a candidate for an endogenous ligand at non-adrenoceptor imidazoline binding site (imidazoline receptor). partially-purified extract of the brain was found to displace specifically bound [3H]clonidine from binding sites on rat brain or bovine cerebral cortex membranes, which were α_2 -adrenoceptor catecholamine-sensitive, binding sites, and hence the active agent was called clonidine-displacing substance¹. CDS has been shown to interact with nonadrenoceptor imidazoline binding sites in several tissues such as brain which are defined by [3H]-para-aminoclonidine3, and in rabbit kidney labelled by [3H]-idazoxan4. CDS has been detected in several tissues such as brain⁵, kidney⁶, adrenal chromaffin cells^{7,8}, liver⁹ and lung¹⁰. However, the chemical structure of the active substance remains to be elucidated.

Although CDS has been shown to have an affinity for both \alpha_2-adrenoceptors and imidazoline binding sites, its biological activities remain unclear. At adrenoceptors, CDS extract was reported to inhibit electrically-stimulated twitch responses in rat vas deferens and the inhibitory effect was partially reversed by the α_2 -adrenoceptor antagonist, yohimbine¹¹. Another evidence of CDS action at \alpha_2-adrenoceptors was inhibitory adrenaline-induced aggregation potentiating ADP-induced aggregation of human platelets, like clonidine¹². However, there has been no other evidence support the action of CDS at \alpha_2-adrenoceptors since then.

For CDS action at imidazoline binding sites, CDS was found to contract rat gastric fundus strips, the site that was noncatecholamine, since this effect of CDS was not blocked by α_2 -adrenoceptor antagonists¹³. Brain-derived CDS extract has been reported to modulate arterial blood pressure through the non-catecholamine site when injected directly into the ventrolateral medulla14,15. However, the results examined by these 2 groups showed opposite effects, the former lowered blood pressure whereas the latter caused elevated blood pressure. Another CDS action was the of substantial release induction catecholamines from cultured chromaffin cells⁷⁻⁸. Whether CDS can be a putative endogenous substance that acts at both sites, the exact biological action of CDS remains to be investigated.

The aims of this study are to examine whether the bovine brain extracts possess any agonist activities at functional adrenoceptors, corresponding to their binding In this study, the binding properties. crude methanolic CDS characteristics of extracts and functional activities at α_2 adrenoceptors were examined. Two α_2 adrenoceptors models were used, i.e. central \alpha 2-adrenoceptors on guinea-pig cortex slices which mediate inhibition of forskolinstimulated cyclic AMP¹⁶ and α₂-adrenoceptors on porcine palmar lateral veins, the activation of which results in inhibition of forskolinstimulated cyclic AMP¹⁷.

MATERIALS AND METHODS

Chemicals, drugs and solutions

(-)-Noradrenaline bitartrate, forskolin, Dowex-50, alumina, Tris-HCl, EDTA, idazoxan (2-(2(1,4-benzodioxanyl))2-imidazoline hydrochloride) and salts in Krebs-Henseleit buffer (NaCl, KCl, CaCl₂, NaHCO₃, MgSO₄, KH₂PO₄ and glucose) were purchased from Sigma Chemical Company. Other chemical used included cirazoline (S.M. Chemical Company), UK14304 (5-bromo-6-[2-imidazolin-2-ylamino]-quinoxaline bitartrate, Pfizer), rolipram (Schering) and HPLC grade methanol (Fisons).

[³H]-clonidine hydrochloride (specific activity of 30 Ci/mmol), [³H]-idazoxan ([³H]-RX781094, specific activity 43 Ci/mmol), [³H]-adenine (specific activity 851 GBq/mmol) and [¹⁴C]-cAMP (specific activity 1.6 GBq/mmol) were from Amersham. Scintillation cocktails (Emulsifier Scintillator 299, Packard) were also included.

All drugs were dissolved in distilled water and added in volumes less than 1% of the K-H solution for cAMP assays except forskolin and rolipram which were dissolved in absolute alcohol in volumes less than 3% of assay volume and then diluted with Krebs'solution.

Preparation of clonidine-displacing substance (CDS) from bovine brain

Bovine brain was obtained from a local abattoir immediately after slaugther of the animal. The brain was kept on ice during transportation. Half a bovine brain (110-160 g wet weight) was taken and the cerebellum and all pia mater removed prior to chopping into small pieces. Tissues were homogenized in an

OMNI-GEN sealed homogenizer (setting 4.5 for 3x3 min) with 5 volumes (w/v) of distilled The resulting homogenate was centrifuged at 65,000g for 30 min at 4°C (MSE Superspeed 65). The supernatant was then removed, boiled for approximately 40-60 min to precipitate soluble protein and to reduce the volume and then allowed to cool to room The resulting solution was temperature. recentrifuged at 65,000g at 4°C for 20 min. The supernatant was removed from pellets, frozen at -20°C and then freeze-dried. The freeze-dried material was used for further The lyophilysed material was extracted by sonication with 2x20 volume (w/v) of highly purified methanol (HPLC grade) at room temperature for 30 min. The methanolic extracts were combined and centrifuged at 3,000 rpm for 5 min (MSE Mistral 3000) to remove any particulate matter and evaporated to dryness in a rotary evaporator at low pressure. The residual material was dissolved in 10 volumes (w/v) of doubled distilled water, frozen and lyophilysed again to remove all trace of organic solvent. The final lyophilysates were redissolved in 10 volumes (w/v) doubled distilled water (3 ml) and kept at -20°C until required for use.

Membrane preparation

Bovine cerebral cortex membrane preparation¹⁸

Calf brains were obtained from local abattoir immediately after slaughter of the The cerebral cortices were homogenized in 20 volumes of ice-cold Tris buffer (50 mM Tris HCl; pH 7.7 at 25° C) using an OMNI-GEN sealed homogenizer (Model N017506, Camlab Ltd.) (setting 5;120 sec) to minimize potential risk associated with aerosol formation. The homogenate was then centrifuged at 20,000 rpm (40,000g) for 10 min at 4° C (MSE Europa 24M). The supernatant was discarded and the pellet was resuspended in 20 volumes (w/v) of ice-cold Tris buffer and recentrifuged for a further 15 min and the supernatant The remaining pellets were weighed and resuspended in 6 volumes of icecold 50 mM Tris buffer, pH 7.4, and then aliquoted for either direct use in binding assay or stored at -20° C.

Porcine kidney cortex membrane preparation

This membrane preparation for the non-adrenoceptor imidazoline binding sites was based on the method originally described by Vigne et al. 19 The porcine kidney was obtained from local abattoir soon after slaughter of the animal and kept on ice prior to the dissection of the cortex. Working on ice, the kidney was cut in half and the outer membranes surrounding the kidney was stripped off and the cortex separated from the medulla. The cortex was cut into small pieces and homogenized in 24 volumes of ice-cold Tris buffer (50 mM Tris HCL, 5.0 mM EDTA; pH 7.4) using a Polytron PT (setting 6; 3x30 The homogenate was then poured through a 25 µM nylon mesh to remove large particulate matter. The homogenate was centrifuged (MSE Europa 24 M) at 20,000 g for 15 min at 4°C. The supernatant was discarded and the pellet resuspended in icecold Tris buffer (50 mM Tris HCL, 0.5 mM EDTA; pH 7.4) and recentrifuged for further 3 min. The final pellets were resuspended in 10 volumes of Tris assay buffer (50 mM Tris HCl; pH 7.4) and stored at -20°C.

Activity of bovine brain CDS extracts

The CDS activity of the methanolic extracts from bovine brain was evaluated by the ability of the extracts to displace 1 nM [3H]-clonidine binding from α2-adrenoceptor sites on bovine cerebral cortex membranes. The assay volume of 0.5 ml, containing 100 µl bovine cerebral cortex membrane (200-300 µg protein) in 50 mM Tris-HCl buffer (pH 7.4), was incubated with 1 nM [3H]-clonidine in the presence of increasing concentrations of CDS extract. Non-specific binding was determined in the presence of 10⁴M noradrenaline. After an incubation period of 60 min at 25°C, bound radioactivity was separated from free by vacuum filtration over Whatman GF/B glass fiber filters using a Brandel cell harvester, followed by 2x3 ml washes with ice-cold assay buffer. The filters were then suspended in 4 ml of scintillation cocktail and bound ligands were determined by scintillation spectrometry.

One unit of CDS activity is defined as the amount of the extract that produced 50% inhibition of [³H]-clonidine (1 nM) binding to bovine cerebral cortex membranes in a total volume of 1 ml assay (assay volume was always 0.5 ml). CDS activity was calculated in unit/g wet weight of tissues. Number of units/g tissue wet weight was calculated from

2% Ficoll, and stored overnight at 4°C. Segments of palmar lateral vein were cut into 5 mm lengths and incubated in modified Krebs-Henseleit saline for 60 min at 37 °C in a shaking water bath. After this period of time segments of vessel were incubated with 0.8 µ M [3H]-adenine (75 KBq/ml) again for a period of 60 min at 37°C in a shaking water bath. After incubation the segments of vessel were washed 3 times by resuspension and then one segment was transferred into each flatbottom plastic incubation vial containing Krebs solution to a final assay volume of 300 ul. Segments were allowed to equilibrate for 20 min and all experiments were carried out in quadruplicate. The cyclic-AMP selective phosphodiesterase inhibitor, rolipram(10⁻⁵M) was added to all assay tubes to prevent degradation of cAMP¹⁷. The sequence of addition of antagonist, agonist or the extracts and forskolin were the same as in the experiment with guinea-pig cortex slice as mentioned above. The α_2 -antagonist, idazoxan (10⁻⁶ M), was added 10 min before the agonist, UK14304, or CDS extracts and incubated for 10 min. Finally, forskolin (30 µM) was added for 10 min. Incubation tubes were resealed under an O₂: CO₂ (95%:5%) atmosphere after each addition. Incubation was stopped by the addition of 200 µl 1M HCl, followed by 750 µl distilled water.

[³H]-cAMP was separated from [³H]-adenine and other [³H]-products using sequential Dowex/alumina chromatography in Dowex 50 columns (Bio-Rad), adjusting for variation in recovery by the addition of [¹⁴C]-cAMP (approximately 30 Bq per tube) as mentioned above. [³H]-cAMP and total tritium in the tissue was determined using scintillation spectrometry.

Data analysis

The inhibition of radioligand binding by CDS extracts was analysed using a nonlinear least square method using Kaleidagraph (Synergy software) on a Mac-Intosh computer. In functional assays, the level of forskolinstimulated [3 H]-cAMP accumulation produced by the effect of α_2 -adrenoceptor agonist or antagonist or the extracts were substracted with the basal level of cAMP production. The

results were presented as percentages of the control forskolin-stimulation above basal level.

The data shown were mean±standard error of mean (SEM) from at least 4 experiments. Statistical analysis used was the Student's t-test. The difference between mean values was considered statistically significant if p<0.05.

RESULTS

Binding properties of bovine brain methanolic CDS extracts

Following aqueous extraction, deproteinization, freeze drying and further extraction with methanol, 110-160 g wet weight of bovine brain produced a slightly vellow material which was dissolved in 12 volumes of double-distilled water to yield the 'methanolic CDS extract'. As shown in figure 1, the brain CDS extract could recognize both α₂-adrenoceptors and non-adrenoceptor imidazoline binding sites. The line with open circle showed that the extract caused a concentration-dependent displacement of 1 nM [3H]-clonidine binding to bovine cerebral cortex membranes which contained α_2 -adrenoceptor sites 20 . At the highest concentration examined, the brain extracts (100 µl/ml) caused 80.5±2.5 % inhibition (n=8) of [³H]-clonidine binding. The amount of CDS extract producing 50% inhibition of 1 nM [3H]-clonidine binding (which was equivalent to 1 unit/ml) was 18.6±1.7 µl/ml (n=8). The slope of the displacement curves was 1.09±0.08 (n=8). Based on the wet weight of the original starting material, the activity of CDS from bovine brain was 4.8± 0.5 units/g wet weight (n=8 batches).

The line with closed circle showed that the extract produced a concentration-dependent displacement of [³H]-idazoxan from porcine renal cortex membranes which contained the non-adrenoceptor imidazoline binding sites¹9. The amount of CDS extract producing 50% inhibition of 1.0 nM [³H]-idazoxan was 33.2±3.4 μl/ml (n=4). This result showed that the brain CDS extract was approximately 2 folds more potent at α₂-adrenoceptors than at non-adrenoceptor imidazoline binding sites.

centrifuged at 2000 g for 5-10 min. was added and then the slice suspension was 25-30 Bq [14C]-cAMP. Cold water (750 µl) by the addition of 200 µl IM HCl containing M). Incubations were terminated after 10 min 10 min before the addition of forskolin (30 µ UK14304, or CDS extracts and incubated for (10° M) was added 10 min before the agonist, effect of \alpha_2-adrenoceptor antagonist, idazoxan addition. In the experiment that examined the CO_2 (95% : 5%) atmosphere after each Incubation tubes were resealed under an O2: adding 30 µM forskolin for 10 min. was added and incubated for 10 min before agonist, UK14304. The extract or UK14304 were compared with that of \alpha_2-adrenoceptor HCl. The effects of the methanolic extracts M forskolin for 10 min before termination with saline for 10 min and then incubated with 10 µ accumulation when incubated the slices in K-H

adenine taken up into each individual tissue. chromatography and the amount of total $[{}^{3}H]$ recovery Dowex/alumina the mon program. ['H]-cAMP levels were corrected for counter, using a dual channel [H']/['"C] counting in a refrigerated liquid scintillation effluent and mixed to form a gel prior to Scintillation cocktail (10 ml) was added to the M imidazole directly into scintillation vials. eluted from the alumina columns with 5 ml 0.1 onto the alumina columns. [H2]-cAMP was ml water which was allowed to drip directly desorbed from the Dowex resin by applying 4 ATP and ['H]-ADP to waste, ['H]-cAMP was Distilled water (2 ml) was added to elute [H] columns (Bio-Rad, filled with I ml resin). supernatant (0.9 ml) were applied to Dowex50 incubation) were investigated. Aliquots of the methanolic CDS extract alone (10 min some experiments the effects of brain using [14C]-cAMP as a recovery marker. In sequential Dowex50/alumina chromatography isolated Mas 4MA2-[H^c]

The effect of clonidine-displacing substance on az-adrenoceptor mediated inhibition of forskolin-stimulated cyclic-AMP accumula-tion in porcine isolated palmar lateral vein

The presence of α_2 -adrenoceptormediated inhibition of $[^3H]$ -cAMP accumulation in the porcine isolated palmar lateral vein has previously been demonstrated by Wright et al, $(1995)^{17}$. Porcine fore-trotters were obtained from a local abattoir and transported on ice to the laboratory. The palmar lateral vein was dissected out, placed in oxygenated, ice-cold K-H saline containing

the final redissolved volume with double distilled water, the number of lyophilysed portions were equally divided and the original amount of tissue was used for the extraction.

CDS extract binding to non adrenoceptor binding sites on porcine kidney cortex membranes

scintillation counting. and the radioactivity was determined by liquid buffer and suspended in scintillation cocktail, filters were washed with 3x3 ml of ice-cold filters, using a Brandel cell harvester. The from free by vacuum filtration over GF/B incubation, bound radioactivity was separated After 1 hr of (<15% of total binding). determined in the presence of 107 M cirazoline Non-specific binding was 7.4 at 25°C). volume of 0.5 ml buffer (50 mM Tris-HCl; pH concentrations of CDS extract, in a final increasing Jo spseuce pue presence incubated with 1.0 nM [He]-idazoxan in the ul, approximately 200 µg protein) were Porcine kidney cortex membranes (50

alphaz-adrenocepiors

The effect of clonidine-displacing substance on forskolin-stimulated cyclic AMP accumulation in guinea-pig cerebral cortex slices

forskolin-stimulated effect was the ['H]-cAMP slices in the K-H saline for 10 min. The ["H]-cAMP accumulation when incubated the a final volume of 300 µl. Basal level was the bottom vials containing K-H saline to maintain cortex slices (25µl) were distributed into flatslices were allowed to settle. Aliquots of ['H]-adenine with 3 changes of K-H saline, the min. After washing away the unincorporated vith 0.4 µM [H2]-adenine (37 kBq/ml) for 45 washed with K-H buffer and then were labeled C. Affer I hr equilibation, the slices were Henseleit buffer in a shaking water bath at 37° incubated for 60 min in modified Krebs-The cortex slices were premedium). cortex per 100 ml flask containing 30-40 ml and re-addition of medium (1 guinea-pig conical flask with several cycles of aspiration Henseleit buffer (K-H buffer) in a stoppered were then dispersed into oxygenated Krebsinto miniprisms (350x350 µm). The slices cortices were dissected out on ice and chopped killed by cervical dislocation. The cerebral Male guinea-pigs (250-300 g) were

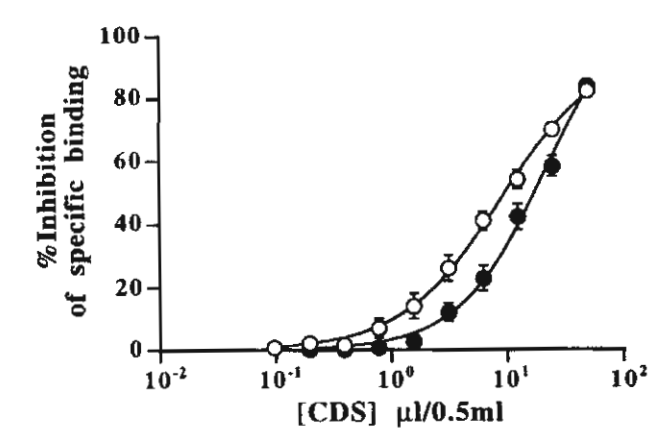


Figure 1 The effect of bovine brain methanolic CDS extracts against lnM [³H]-clonidine binding on bovine cerebral cortex membranes (O) and against lnM [³H]-idazoxan binding on porcine renal cortex membranes (●). Non-specific binding was determined in the presence of 10⁻⁴ M noradrenaline (10-15% of total binding) for the sites labeled by [³H]-clonidine and in the presence of 10⁻⁴ M cirazoline (<15% of the total binding) for the sites labeled by [³H]-idazoxan. The concentration of the extract is expressed in μl/0.5 ml assay volume. The figures shown are means ± SEM from 4-8 experiments. Mean IC₅₀ (n=8) of brain extract against the site labeled by [³H]-clonidine (n=8) is significantly difference at p<0.05 from that of the site labeled by [³H]-idazoxan (n=4) (see also the text).

Functional activities of CDS extracts at α_2 -adrenoceptors

The effects of α_2 -adrenoceptor agonist, UK14304, on forskolin-stimulated cyclic AMP accumulation

The basal level of [3H]-cAMP accumulation in guinea-pig cerebral cortex slices was 1,323 ±196 dpm (n=4). Forskolin (30 μM) caused a 3-4 folds increase in [³H]cAMP accumulation, while UK14304 (10⁻⁷ M) did not affect the basal levels (1,425±210 dpm, n=4). However, UK14304 caused concentration-dependent inhibition forskolin-stimulated cAMP accumulation, with a pD₂ value of 7.49 ± 0.21 (n=4) (Figure 2). UK14304 caused complete inhibition of forskolin-stimulated [3H]-cAMP accumulation levels. The α_2 -adrenoceptor idazoxan (10⁻⁶ M), had no basal to antagonist, significant effects on either basal or forskolinstimulated [3H]-cAMP level (Figure 2, left panel) but abolished the inhibitory effect of UK14304 on forskolin-stimulated [3H]-cAMP accumulation in guinea-pig cortex slices (Figure 2, right panel). These experiments showed the presence of α_2 -adrenoceptors on guinea-pig cerebral cortex membranes, which were negatively linked to cAMP formation.

The effects of brain methanolic CDS extracts on forskolin-stimulated cyclic AMP accumulation in guinea-pig cortex slices.

Brain methanolic CDS extract (0.9 unit/ml) had no significant effect on basal [3H]-cAMP accumulation (1,485±220 dpm for basal and 1,375±385 dpm for the extract). All the concentrations of brain methanolic extracts examined (0.009-5.3 units/ml) produced no significant change (at p<0.05, n=4) in forskolin-stimulated [3H]-cAMP accumulation. (Figure 3, right panel). The figure appeared to show a biphasic effect but these changes were not significantly different from the control forskolin response. Idazoxan (10⁻⁶ M) had no significant effects on either basal (1,442±320 dpm) or forskolin-stimulated [3H]-cAMP levels (99±4% of control response). In the presence of 10⁻⁶ M idazoxan, brain methanolic CDS extract had no significant effect on forskolin-stimulated [3H]-cAMP accumulation. Surprisingly, at a higher concentration (5.3) units/ml), in the presence of idazoxan, the extract significantly inhibited forskolinstimulated [3H]-cAMP accumulation to 30% of forskolin-stimulation.

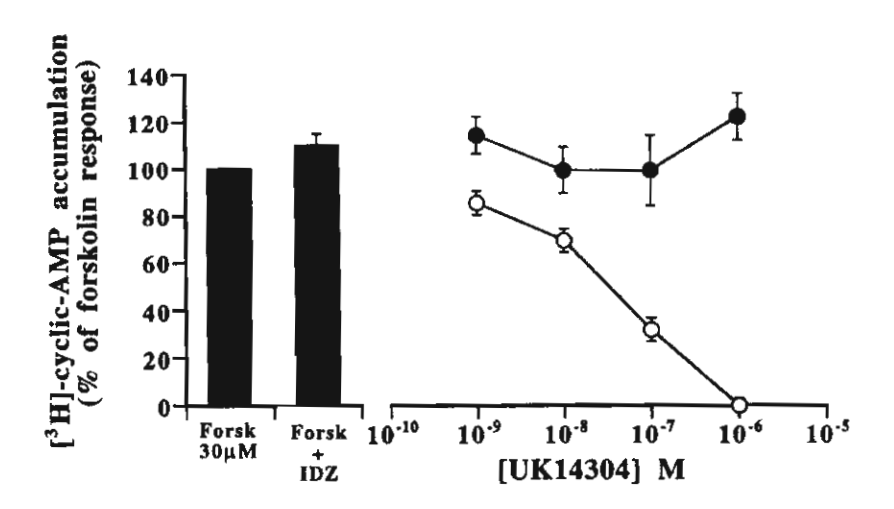


Figure 2. The effect of UK14304 on forskolin-stimulated [³H]-cAMP accumulation in guinea-pig cerebral cortex slices. The left panel (bar) shows the effect of 30 μM forskolin (Forsk) and the effect of 10⁻⁶ M idazoxan (IDZ) on forskoin-stimulated [³H]-cAMP accumulation above basal level. The right panel represents the effect of UK14304 (O) and UK14304 in the presence of 10⁻⁶ M idazoxan (●) on 30 μM forskolin-stimulated [³H]-cAMP accumulation in guinea-pig cerebral cortex slices. The level of [³H]-cAMP is shown as percentage of the 30 μM forskolin response (above basal level). Each experiment was carried out in quadruplicate. The values shown are means ± SEM from 4 experiments.

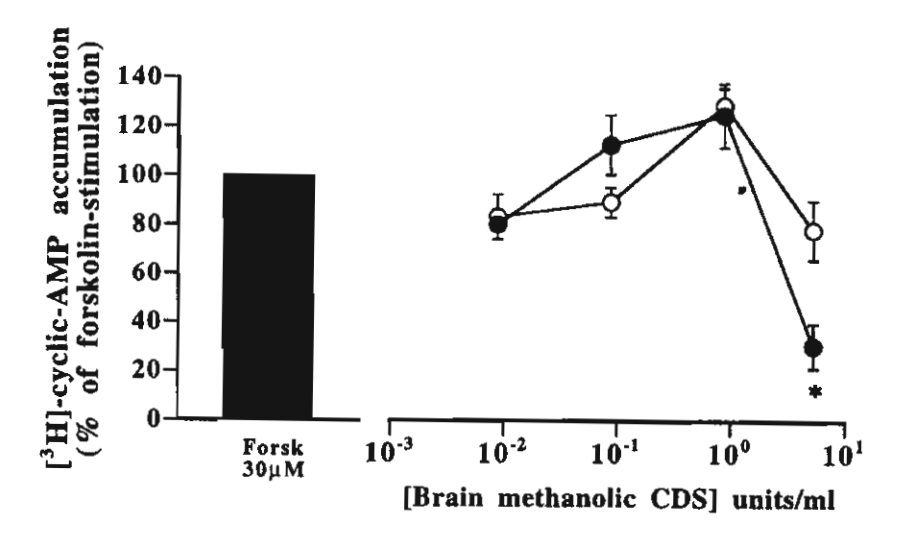


Figure 3. The effect of brain methanolic CDS extracts on forskolin-stimulated [³H]-cAMP accumulation in guinea-pig cerebral cortex slices. The left panel (bar) shows the effect of 30 μM forskolin-stimulated [³H]-cAMP accumulation above basal level which represents 100%. The right panel represents the effects of extract (O) and the extract in the presence of 10⁻⁶ M idazoxan (•) on 30 μM forskolin-stimulated [³H]-cAMP accumulation in guinea-pig cerebral cortex slices. The level of [³H]-cAMP is shown as percentage of the 30 μM forskolin response. Each experiment was carried out in quadruplicate. The values shown are means ± SEM from 4 observations.

^{*} represents statistical difference from the effect of forskolin- stimulation at p<0.05.

The effects of UK14304 and brain methanolic CDS extracts on forskolin-stimulated cyclic AMP accumulation in porcine palmar lateral veins.

UK14304 (10^{-7} M) had no effect on the basal [3 H]-cAMP level but inhibited forskolin-stimulated [3 H]-cAMP accumulation in porcine palmar lateral veins to 45±8 % (n=4) of the forskolin response (Figure 4). The inhibitory effect was reduced by 10^{-6} M idazoxan to 78 ± 9 % (n=4). of the forskolin response.

Brain methanolic CDS extract (0.9 unit/ml) had no effect on the basal [³H]-cAMP accumulation (1,008±336 dpm for basal and 840±168 dpm for the response of the extract, n=4). Forskolin (30 µM) produced an (19,280±2,400 dpm) approximate 20 folds increase in [³H]-cAMP accumulation. Figure 5 shows that the extract, over the concentration range of 0.009-5.3 units/ml, does not produce any effect on forskolin-stimulated [³H]-cAMP accumulation, either in the presence or absence of idazoxan (10⁻⁶ M).

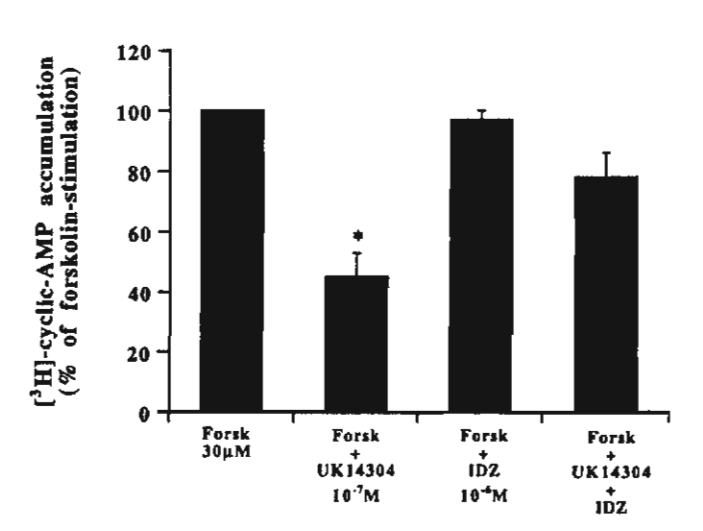


Figure 4. The effect of UK14304 (10⁻⁷ M) in the presence and absence of 10⁻⁶ M idazoxan (IDZ) on 30 μM forskolin (Forsk)-stimulated [³H]-cAMP accumulation in porcine palmar lateral vein. The level of [³H]-cAMP is shown as percentage of the 30 μM forskolin response. Each experiment was carried out in quadruplicate. The values shown are means±SEM from 4 experiments.

^{*} represents statistical difference from the effect of forskolin-stimulation at p<0.05.

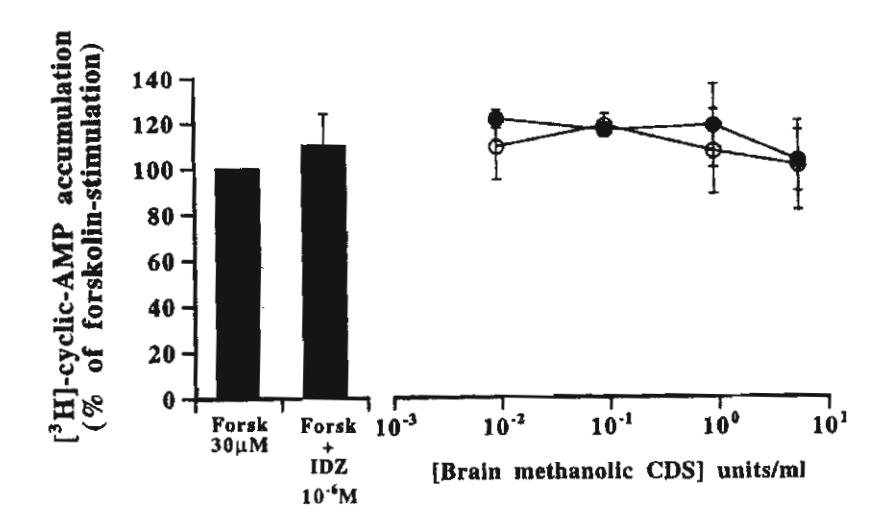


Figure 5. The effect of brain methanolic CDS extract on forskolin-stimulated [³H]-cAMP accumulation in porcine palmar lateral vein. The left panel (bar) shows the effect of 30 μ M forskolin-stimulated [³H]-cAMP accumulation above basal level which represents 100% and the effect of 10-6 M idazoxan on forskolin response. The right panel represents the effects of the extract in the absence (O) and in the presence of 10-6 M idazoxan (•) on 30 μM forskolin-stimulated [³H]-cAMP accumulation in porcine palmar lateral vein. The level of [³H]-cAMP is shown as percentage of the 30 μM forskolin response. Each experiment was carried out in quadruplicate. The values shown are means±SEM from 4 experiments. There is no significant difference (at p<0.05) between the effects of the extract on forskolin-stimulation and the effect of forskolin-stimulation per se.

DISCUSSION

The present study has confirmed that methanolic extract of bovine brain contains an agent that can displace [3H]-clonidine from bovine cerebral cortex membranes. provides the evidence for the presence of 'clonidine-displacing substance' as described by Atlas and Burstein¹. The CDS extracts are also capable of interacting with the nonadrenoceptor imidazoline binding sites on porcine renal cortex membranes labeled by [3H]-idazoxan as previously reported on the properties of this substance³. This raises the possibility that CDS might be an endogenous ligand for both α_2 -adrenoceptors imidazoline receptors.

The binding of the extracts exhibited some selectivity for these 2 sites as previously reported 10 . The brain methanolic extracts, which were prepared in the same way as in this study, were less active for opiate receptors labeled by $\left[^{3}H\right]$ -etorphine and inactive against α_{1} -adrenoceptors and muscarinic binding sites

[3H]-prazosin and [3H]quinuclidinyl benzilate, respectively. In this study, the extract was approximately 2 folds more potent at \alpha_2-adrenoceotors that at imidazoline receptors. However, this finding contrasts with that of Singh et al 10 which showed that the extract from bovine brain and lung were approximately 3-4 folds more active at the non-adrenoceptor imidazoline binding sites on rat kidney membranes labeled by [3H]idazoxan than at \alpha_2-adrenoceptors on bovine cerebral cortex membranes labeled by [3H]clonidine. This discrepancy may be due to the difference in their ligand recognition properties of porcine and rat imidazoline sites on kidneys.

In the guinea-pig cerebral cortex slice model, the imidazoline derivative α₂-adrenoceptor agonist, UK14304, was used since it produced greater effect than clonidine which showed partially agonist activity. UK14304 (10⁻⁶ M) completely inhibited forskolin-stimulated cAMP accumulation.

This effect was mediated by α2-adrenoceptors since it was prevented by the α2-adrenoceptor antagonist, idazoxan. The inhibitory response to α2-adrenoceptors activation in guinea-pig cortex slices was greater than that in the rat cerebral cortex slices. In the rat model, only 35% of the forskolin-stimulated cAMP accumulation was inhibited by UK14304 (10⁻⁶ $M)^{16}$. Because of the greater degree of inhibition seen in the guinea-pig cortex, this tissue was used to examine whether CDS extracts possessed agonist activity at central \alpha 2-adrenoceptors. This study found that methanolic CDS extract from bovine brain did not mimic the effects of α2-adrenoceptor agonist, UK14304. The unexpected significant inhibitory effect of idazoxan in combination with the higher concentration of the brain methanolic extract on forskolin response might be due to some contaminants in the methanolic extract or idazoxan that might affect adenyl cyclase directly.

In the porcine palmar lateral vein, the vascular α₂-adrenoceptors has demonstrated to be negatively coupled to cyclic AMP formation¹⁷. The degree of inhibition by α2-adrenoceptor agonist, 10-7 M UK14304, on forskolin-stimulated [3H]-cAMP accumulation in palmar lateral vein was found to be approximately 45% of the forskolininduced response, which was comparable to that reported by Wright et al¹⁷. The inhibitory effect of α₂-adrenoceptor agonist, UK14304, on forskolin-stimulated response in porcine palmar lateral vein was also mediated by α_2 adrenoceptors, since the effect was prevented by idazoxan. However, the bovine CDS extract failed to mimic the effect of UK14304 or produce any significant potentiation of forskolin-stimulated [3H]-cAMP accumulation. In addition, idazoxan did not alter the response of the brain extract on forskolin-stimulation.

The concentration of CDS extract used in functional assays was calculated to be in the range of that produced 50% inhibition of binding, however, much higher concentration might be needed since UK14304 also needed at least 10 folds of that concentration to produce functional effects.

In conclusion, no evidence was produced for the agonist activity of CDS extracts in both central and peripheral tissues in this study. No other evidence from any groups of investigators supports the CDS effects at α2-adrenoceptors apart from the effect at prejunctional α2-adrenoceptors of the rat vas deferens¹¹ and the proaggregatory action of the human platelets¹². Although CDS extracts recognize α2-adrenoceptors, the question arises whether the extracts possess The relation any biological significance. between binding characteristics and functional activities is still in doubt. In addition, different groups of investigators may determine different active compounds. Therefore, more highly purified extracts are essential in order to identify the active agents and to determine the biological activities of the same substance, and rule out the contaminants in the extract that may interfere with its functional activities.

ACKNOWLEDGEMENTS

My deep gratitude goes to Prof. D.A. Kendall and Dr. V.G. Wilson, School of Biomedical Science, Nottingham University, UK, for their valuable comments and suggestions. Special thanks to Miss Paveena Choochuen for her help in typing this manuscript. Part of this work and the preparation of this manuscript is granted by Thai Research Fund.

REFERENCES

- Atlas D, Burstein, Y. Isolation of an endogenous clonidine-displacing substance from rat brain. FEBS Lett 1984; 170: 387-91.
- Atlas D, Burstein Y. Isolation and partial purification of clonidine displacing endogenous brain substance. Eur J Biochem 1984; 144: 287-93.
- Ernsberger P, Meeley MP, Reis DJ. An endogenous substance with clonidine-like properties: selective binding to imidazole

- sites in the ventrolateral medulla. Brain Res 1988; 441: 309-18.
- Copry I, Atlas D, Podevin RA, et al. Imidazoline-guanidinium receptor sites in renal proximal tubule: asymmetric distribution, regulation by cations and interaction with an endogenous clonidine displacing substance. J Pharmacol Exp Ther 1989; 252: 293-9.
- 5. Bousquet P, Feldman J, Schwartz J. Central cardiovascular effect of α -adrenergic drugs: differences between

catecholamines and imidazolines. J. Pharmacol Exp. Ther 1984; 230: 232-6.

- Ernsberger P, Feinland G, Meelet .MP, et al. Characterization and visualization of clonidine-sensitive imidazole sites in rat kidney which recognize clonidinedisplacing substance. Am J Hypertension 1990; 3: 90-7.
- Reguanathan S, Evinger MJ, Meeley MP, et al. Effects of clonidine and other imidazole-receptors binding agents on second messenger systems and calcium influx in bovine adrenal chromaffin cells. Biochem Pharmacol 1991; 42: 2011-8.
- Reguanathan S, Meelen MP, Reis DJ. Clonidine-displacing substance from bovine brain binds to imidazoline receptors and releases catecholamines in adrenal chromaffin cells. J Pharmacol Exp Ther 1991; 40: 884-8.
- Zonneschein R, Diamant S, Atlas D. Imidazoline receptors in rat liver cells: A novel receptor of a subtype of αadrenergic receptors. Eur J Pharmacol 1990; 190: 203-15.
- Singh G, Hussain JF, MacKinnon A, et al. Further studies on crude, methanolic extracts of bovine brain and lung-evidence for the presence of a non-catecholamine, clonidine-displacing substance. Naunyn-Schmied Arch Pharmacol 1995; 351: 17-26.
- Diamant S, Atlas D. An endogenous brain substance, CDS (clonidine displacing substance), inhibits the twitch response of rat vas deferens. *Biochem Biophys Res* Commun 1986: 134: 184-90.
- Diamant S, Elder A, Atlas D. A low molecular weight brain substance interacts similarly to clonidine with α₂adrenoceptors of human platelets. Eur J Pharmacol 1987; 144: 247-55.
- Feldsen D, Ernsberger P, Meeley MP, et al. Clonidine displacing substance is

- biologically active on smooth muscle. Eur J Pharmacol 1987; 142: 453-5.
- Meeley MP, Ernsberger PR, Granata AR, et al. An endogenous clonidine displacing substance from bovine brain: Receptor binding and hypotensive actions in the ventrolateral medulla. *Life Sci* 1986; 38: 1119-26.
- Atlas D, Diamant S, Fales HM, et al. The brain's own clonidine: Purification and characterization of endogenous clonidine displacing substance from brain. *J Cardiovas Pharmacol* 1987; 10 (suppl.12): S122-S127.
- Duman RS, Enna SJ. A procedure for measuring α₂-adrenergic receptor mediated inhibition of cyclic AMP accumulation in rat brain slices. *Brain Res* 1986; 384: 391-4.
- Wright IK, Kendall DA, Wilson VG. α₂Adrenoceptor mediated inhibition of
 forskolin-stimulated cyclic AMP
 accumulation in the isolated porcine
 palmar lateral veins. Naunyn-Schmied
 Arch Pharmacol 1995; 352: 113-20.
- Pinthong D, Wright IK, Hanmer C, et al. Agmatine recognizes α₂-adrenoceptor binding sites but neither activates nor inhibits α₂-adrenoceptors. Naunyn-Schmied Arch Pharmacol 1995; 351: 10-16.
- Vigne P, Lazdunski M, Frelin C. Guanabenz, guanochlor, guanoxan and idazoxan bind with high affinity to nonadrenergic sites in pig kidney membranes. Eur J Pharmacol 1989; 160: 295-8.
- Pinthong D, Hussain JF, Kendall DA, et al. Comparison of the interaction of agmatine and crude methanolic extracts of bovine lung and brain with α₂-adrenoceptor binding sites. Br J Pharmacol 1995; 115: 689-95.